

# Etude tectonique de la zone des brêches de Tarentaise, dans la région de Bourg Saint Maurice , Savoie - Alpes françaises.

Jean Claude Lancelot

#### ▶ To cite this version:

Jean Claude Lancelot. Etude tectonique de la zone des brêches de Tarentaise, dans la région de Bourg Saint Maurice , Savoie - Alpes françaises.. Tectonique. Université Paris-Diderot - Paris VII, 1979. Français. NNT: . tel-00639032

# HAL Id: tel-00639032 https://theses.hal.science/tel-00639032

Submitted on 8 Nov 2011

**HAL** is a multi-disciplinary open access archive for the deposit and dissemination of scientific research documents, whether they are published or not. The documents may come from teaching and research institutions in France or abroad, or from public or private research centers.

L'archive ouverte pluridisciplinaire **HAL**, est destinée au dépôt et à la diffusion de documents scientifiques de niveau recherche, publiés ou non, émanant des établissements d'enseignement et de recherche français ou étrangers, des laboratoires publics ou privés.

# THÈSE

présentée

# A L'UNIVERSITÉ PARIS VII

pour l'obtention

## DU DOCTORAT DE TROISIÈME CYCLE

9 8 DEC. 1980

Spécialité : GÉOLOGIE STRUCTURALE



Sujet de la thèse:

ÉTUDE TECTONIQUE DE LA ZONE DES BRÊCHES DE TARENTAISE, DANS LA RÉGION DE BOURG-SAINT-MAURICE, SAVOIE.

Soutenue le 20 Novembre 1979, devant la Commission composée de :

M.M. G. GUITARD

Président

J. ANDRIEUX

Rapporteur

J. AUBOUIN P. ANTOINE

# **THÈSE**

présentée

# A L'UNIVERSITÉ PARIS VII

pour l'obtention

# DU DOCTORAT DE TROISIÈME CYCLE

Spécialité : GÉOLOGIE STRUCTURALE

Jean-Claude LANCELOT



Sujet de la thèse :

ÉTUDE TECTONIQUE DE LA ZONE DES BRÊCHES DE TARENTAISE, DANS LA RÉGION DE BOURG-SAINT-MAURICE, SAVOIE.

Soutenue le 20 Novembre 1979, devant la Commission composée de :

M.M. G. GUITARD

Président

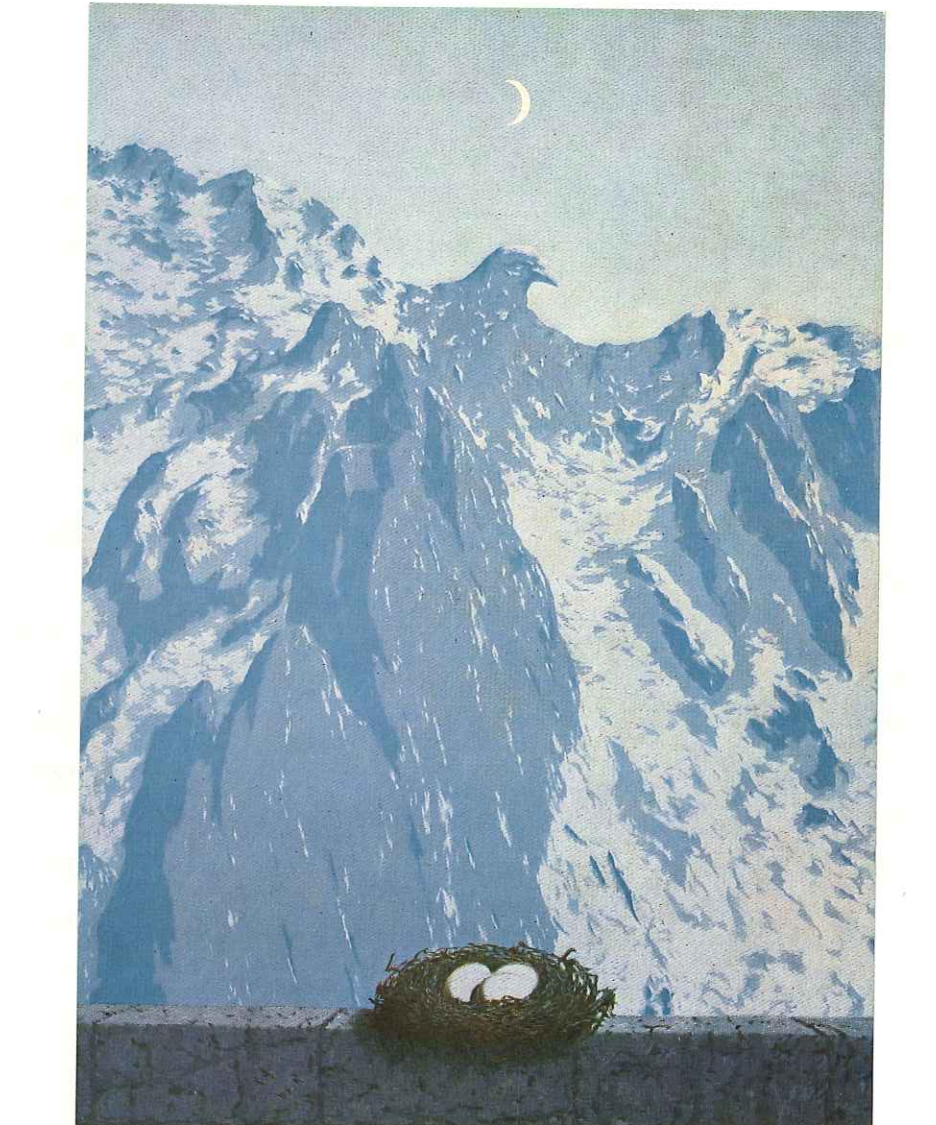
J. ANDRIEUX

Rapporteur

J. AUBOUIN P. Antoine

TIDAS PERMINANTE LA RELEGIO DE LA CACATA

THE PROPERTY OF STREET, THE PROPERTY OF THE PR



Je tiens tout d'abord à remercier Monsieur J.ANDRIEUX, qui en m'acceptant dans son laboratoire, m'a confié le sujet de cette thèse. Les discu sions avec lui ont toujours été intéressantes, propres à éveiller en moi de nombreux problèmes, et à en souligner bien d'autres.

Je dois aussi remercier Monsieur G.GUITARD qui a accepté de présider le jury de ma thèse, Monsieur J.AUBOUIN et Monsieur P.ANTOINE qui ont bien voulu en être les examinateurs.

Monsieur M.BRUNEL, avec qui les échanges d'idées m'ont toujours été profitables.

Mesdames S. BEUZIT et J.GAVARD, qui ont très obligeamment réalisé la frappe de cet ouvrage.

Mesdames N.SANTARELLI, F.ALCAIS, C.FAVOCCIA, et Monsieur J.DYON, qui sont pour beaucoup dans la bonne ambiance du laboratoire.

Je n'oublierai pas enfin B.LOGEREAU, P.DUTARTRE et M.FOURNIER qui préparent actuellement leur thèse de troisième cycle:plus que des collègues, ce sont pour moi des amis.

# -SOMMAIRE-



-Résumé.

-Liste des figures.

1-INIRODUCTIONp.	1	•
A-Situation géographique de la région étudiéep.	1	1.
B-Cadre géologiquep.	3	•
C-Historiquep.	3	
D-Le matériel stratigraphique des différentes unitésp.	4	•
1-La Zone des Brèches de Tarentaisep.	4	
la-Le substratump.	4	•
1b-La série détrique de Tarentaisep.	10	
2-L'Unité du Petit-St.Bernardp.	12	
3-L'Unité de Salinsp.	1 4	
II-LES PHASES DE DEFORMATION SUPERPOSEES		
ET LES MICROSTRUCTURES ASSOCIEESp.	16	
A-Les phases précocesp.		
/-L'affleurement de l'Orgièrep.		
B-La phase Ip.		
1-La schistosité S1p.	20	•
2-Les plis P1p.	20	
3-Les linéations L1p.		
4-Conclusionp.		
C-La phase IIp.		
1-La schistosité S2p.		
2-Les plis P2p.		
3-Les linéations L2p.		
3a-Les linéations de crénulation et d'intersection		
S0-S2p.	28	
3b-Les cristallisations de phyllitesp.	0	
3c-Les queues de pyritesp.		
3d-Les étirements de galets:	20	
3d1-dans 1'Unité de Moûtiersp.	28	
3d2-dans l'Unité du Roignais-Versoyenp.		
AND THE PROPERTY OF AN AND AND AND AND AND AND AND AND AND	33	

3e- Conclusion sur les allongements de phase IIp.	34	
4-Les grands contacts de phase IIp.	34	
5-Conclusionp.	35	
D-La phase IIIp.	36	
1-La schistosité S3p.	36	•
2-Les plis P3p.	36	
3-Les linéations L3p.	36	
3a-Les linéations de crénulation et d'intersection	8	
S2-S3p.	36	
3b-Les cristallisations de phyllitesp.	40	•
3c-Les allongementsp.	40	
4-Conclusionp.	40	
E-Les phases tardivesp.	42	
D-Le métamorphismep.	43	
III-ANALYSE STRUCTUROLOGIQUE ET CINEMATIQUEp.	49	•
/-Notationsp.	49	•
A-L'Unité de Moûtiersp.	49	•
1-Méthode d'étude de l'unitép.	49	
2-Le domaine des plis externesp.	51	
3-L'anticlinal du Grand-Fondp.	53	
4-La marge interne de l'Unité de Moûtiersp.	54	
5-Le Massif de la Pointe de Myap.	57	
5a-La zone des plis externesp.	57	
5b-L'écaille de la Pointe de Myap.	60	
6-Conclusion à l'étude de l'Unité de Moûtiersp.	60	
B-L'Unité du Roignais-Versoyenp.	63	
l-La série en position normalep.	63	
la-Les anticlinaux de Crêt Bettex et du		
Pont-St.Antoinep.	63	•
lal-L'anticlinal de Crêt Bettexp.	63	•
1a2-L'anticlinal du Pont-St-Antoinep.	66	
1b-La haute vallée du Charbonnetp.	69	
1c-La crête Pointe Noire - Pointe de la Terrassep.	69	
1d-Le Massif du Roignaisp.	7 1	
le-La rive gauche du Torrent des Glaciersp.	71	
1f-Conclusionp.	73	
2-La série en position inverse :		
2a-La synforme du Passage de la Brebis	73	

m

2a1-Descriptionp.	73	
2a2-Coupe relevée sur la Crête Pointe de la		
Terrasse - Aiguille de Prainanp.	73	
2a3-Interprétation de la synformep.	76	
2a4-Données nouvellesp.	76	
2a5-Coupe rive droite du Torrent du Char-		
bonnetp.	78	
2b-Etude microtectonique de la synforme du		
Passage de la Brebisp.	78	
2b1-Données d'ensemblep.	78	
2b2-Les plis P2 du type "Les Tigny", ou		
"plis en aile d'oiseau"p.	78	
2b3-L'ensellement de flysch du PC 2539p.	81	
2b4-Les schistes du Chalet de Prainanp.	83	
2b5-La vallée du Versoyenp.	83	
2c-Conclusion à l'étude de la série en position		
inversep.	84	
3-Interprétation des grandes structures de l'Unité		
du Roignais-Versoyenp.	84	:: i
4-Conclusion à l'étude du Roignais-Versoyenp.	88	9
C-I 'Unité du D-tit q t . n	90	= 3
1=Etudo miorat	90	
1g=To Vorgont G 1 1 1 7	90	
lb=I afflowment to attack to a	90	
1c-Le massif de Lancebranlettep.	93	
1d-1'affleurement du PC 1330p.	93	
le-l'affleurement des Combettes d'en Hautp.		
2-Conclusion à l'étude de l'Unité du Petit-Saint-		
Bernardp.	93	
D-I 'Unité de Coli	97	
1-Etude des microstructuresp.	97	
2-Conclusionp.	98	
P-Tog veits 1 - 1'>	99	
1-L'Unité delphino-helvétiquep.	99	•
la-Les terrains proches du Chevauchement Pennique		
Frontalp.	99	•
lal-Le ruisseau de la Rajap.		•
1a2-Le chemin menant du Cormet de Roselend		
aux Chalets du Trucp. 9	99	

rab-Le Cormet de Roserend		•
1a4-Conclusion		
1b-Le Roc Biolley		
lc-Conclusion à l'étude de l'Unité delph	nino-	
hévétique	p. 104	
2-Le Houiller "briançonnais"		; .
2a-Etude l'Unité au Nord de l'Isère · · ·	·····p· 105	
2b-Entre Séez et le Col du Petit-St-Berr	nardp. 105	5 .
2c-La crête du Col des Embrasures au Col	de la	
Traversette		
2d-Conclusion	3.7	
	100	,
IV -CONCLUSION GENERALE		
A-Traits principaux des différentes phases de		, .
tion		
1-Les phases "antéschisteuses"	p. 110	
2-Les phases synschisteuses		
3-Les phases tardives		
B-Les secteurs voisins de la région étudiée	p. 115	· ·
C-Chronologie des phases tectoniques		} •
D-Essai de modélisation de l'évolution tectoni	ique	
de la Zone des Brèches de Tarentaise	p. 119	
E-Conclusion		
[40 N - HOLD NO. 1] 이 아님에는 아님이 있어? 이 보면 이 보면 보고 보고 되었다. 이 경기 이 경기 있는 것이 되었다. 그는 사고 사이트를 다는 사람이 되었다.		- 2

#### Hors texte:

Bibliographie Photographies

Univ. J. FOUT OF CLENCES

Univ. J. FOUT OF CLENCES

Univ. MAISON DOCUMENTATION

E.P. 53

E.P. 53

E. 38041 GREN OBLE CEDEX

F. 38041 GREN OBLE Fax DA 7651 AD 58

F. 38041 GREN OBLE Fax DA 7651 AD 58

Mail: ptalour@uit grenoble.fr

Mail: ptalour@uit grenoble.fr

8 ADUT 2003

#### RESUME.

"flysch":

Une étude tectonique a été entreprise dans la Zone des Brèches de Tarentaise, dans la région de Bourg-Saint-Maurice.

Plusieurs phases de déformation y ont été reconnues:

-une phase (au moins) anté"flysch", mal définie;

-trois phases synschisteuses postérieures au

.Phase I:associée à une foliation.

.Phase II:associée à une schistosité de crénulation fine et des plis de direction NO40 et N170, synchrone de la mise en place des grandes unités.

.Phase III:associée à une schistosité de pli-fracture fruste et des plis de direction N010.

-plusieurs phases tardives:

une phase principale donnant des grands plis de direction NO50, avec rejeu des contacts majeurs.

une phase donnant des ondulations de direction N150.

.une phase en distension.

des diaclasages et autres fracturations sans grands rejets.

Il ressort essentiellement de cette étude que:
-le métamorphisme de faciès "Schistes Verts" est
antérieur aux grandes structures.

-un contact tectonique dans le flysch sépare l'Unité du Roignais-Versoyen en deux sous-unités.

-les phases tardives jouent un très grand rôle dans la structure actuelle de la zone étudiée.

## -LISTE DES FIGURES-

	FIG. 1: Schéma orohydrographiquep.	Ž.
	FIG. 2: Cadre géologiquep.	5.
	FIG. 3: Carte géologiquep.	6.
	FIG. 4: Coupes stratigraphiques synthétiques de la Zone	
	des Brèches de Tarentaisep.	7.
	FIG. 5: Coupe stratigraphique synthétique de l'Unité du	
	Petit-St.BernardP.	13.
	FIG. 6: A: Niveau de décollement; B: Coupe stratigraphique	8 12.
	synthétique de l'Unité de Salinsp.	4.
	FIG. 7: Carte géologique de la partie Nord de l'anticlinal	15.
	de Crêt Bettexp.	1.0
	FIG. 8: Panorama de l'affleurement de l'Orgière,	18.
	vu de l'Orgièrep.	1.0
	FIG. 9: Schistosité S1p.	19.
	FIG. 10: Pli Plp.	21.
	FIG. 11: Carte de répartition de la schistosité S2p.	21.
	FIG. 12: Schistosité S2 et cristallisation de"mica II"p.	23.
	FIG. 13: Exemples de plis P2p.	24.
	FIG. 14: Carte de répartition des plis P2 et des	24.
	linéations L2p.	
	FIG. 15: Evolution du sens de cisaillement sur S2p.	26.
	 FIG. 16: Carte des linéations d'allongement de phase IIp.	27.
	FIG. 17: A et B: Conglomérat de base du "flysch"p.	29.
48 13 <sub>0</sub>	FIG. 18: Diagramme de Flinnp.	3 1.
	FIG. 19: Schéma interprétatif des allongements	3 1.
	de phase IIp.	
	FIG. 20: Carte de répartition de la schistosité S3p.	3 1.
	FIG. 21: Exemple de schistosité S3p.	3 7•
	FIG. 22: Carte de répartition des plis P3 et des	38
	linéations L3p.  FIG. 23: Exemples de plis P3p.	38.
	FIG. 24: Linéations L3 sur pli N170	39.
	- Sur pil NI/U	1. 1

FIG. 25: Fentes d'extension sur pli P2 N170p.	41.
FIG. 26: Chronologie des cristallisationsp.	44.
FIG. 27: Amande de quartz du Permo-Trias affectée	
par la phase IIp.	46.
FIG. 28: Albite et amphibole dans les roches du Versoyenp.	46.
FIG. 29: Schéma structuralp.	48.
FIG. 30: Coupe de l'Unité de Moûtiersp.	50.
FIG. 31: Microstructures du "domaine des plis externes"p.	52.
FIG. 32: Microstructures de 1' anticlinal du	
Grand-Fond	52.
FIG. 33: Panorama de "l'écaille de la Fauge"p.	55.
FIG. 34: Microstructures de"l'écaille de la Fauge"p.	56.
FIG. 35: Coupe du massif de Myap.	58.
FIG. 36 et 37: Microstructures du massif de Mya	59.
FIG. 38: Schéma structural raccordant le massif de Mya	
au reste de l'Unité de Moûtiersp.	61 .
FIG. 39: Carte géologique du Pont-St.Antoine et	
de Crêt Bettexp.	64.
FIG. 40: Microstructures de l'anticlinal de Crêt Bettexp.	65 .
FIG. 41: Microstructures du Pont-St. Antoinep.	67 .
FIG. 42: Panoramas de l'anticlinal du Pont-St.Antoine:	
rive droite et rive gauche du Torrent	
des Glaciersp.	67 .
FIG. 43: Schéma interprétatif de l'anticlinal	
du Pont-St. Antoinep.	68 .
FIG. 44: Microstructures de la Haute Vallée du Charbonnet.p.	70 .
FIG. 45: Microstructures du Massif de la Terrassep.	70 .
FIG. 46: Schéma interprétatif du Massif de la Terrassep.	72 .
FIG. 47: Microstructures de Haute Vallée des Glaciersp.	72 .
FIG. 48: Carte de la synforme du Passage de la Brebisp.	
FIG. 49: Coupe de la crête"Terrasse-Prainan"	75 .
FIG. 50: Coupe rive droite du Torrent du Charbonnetp.	77 .
FIG. 51: Microstructures de la synforme du Passage	
de la Brebisp.	79 •
FIG. 52 et 53: Plis P'2 des Tigny (structures"en	
ailes d'oiseau")p.	
FIG. 54: Microstructures du Chalet de Prainan	
FIG. 55: Microstructures du PC 2539p.	79 •
FIG. 56: $A,B,C,D,E$ : Modèles d'évolution de l'Unité du	
Roignais-Versoyen pendant la phase II	85 .

Ш

Ш

#### I - INTRODUCTION:

A - <u>Situation géographique de la zone étudiée</u>:

<u>Définition géographique et schéma orohydrogra-</u>

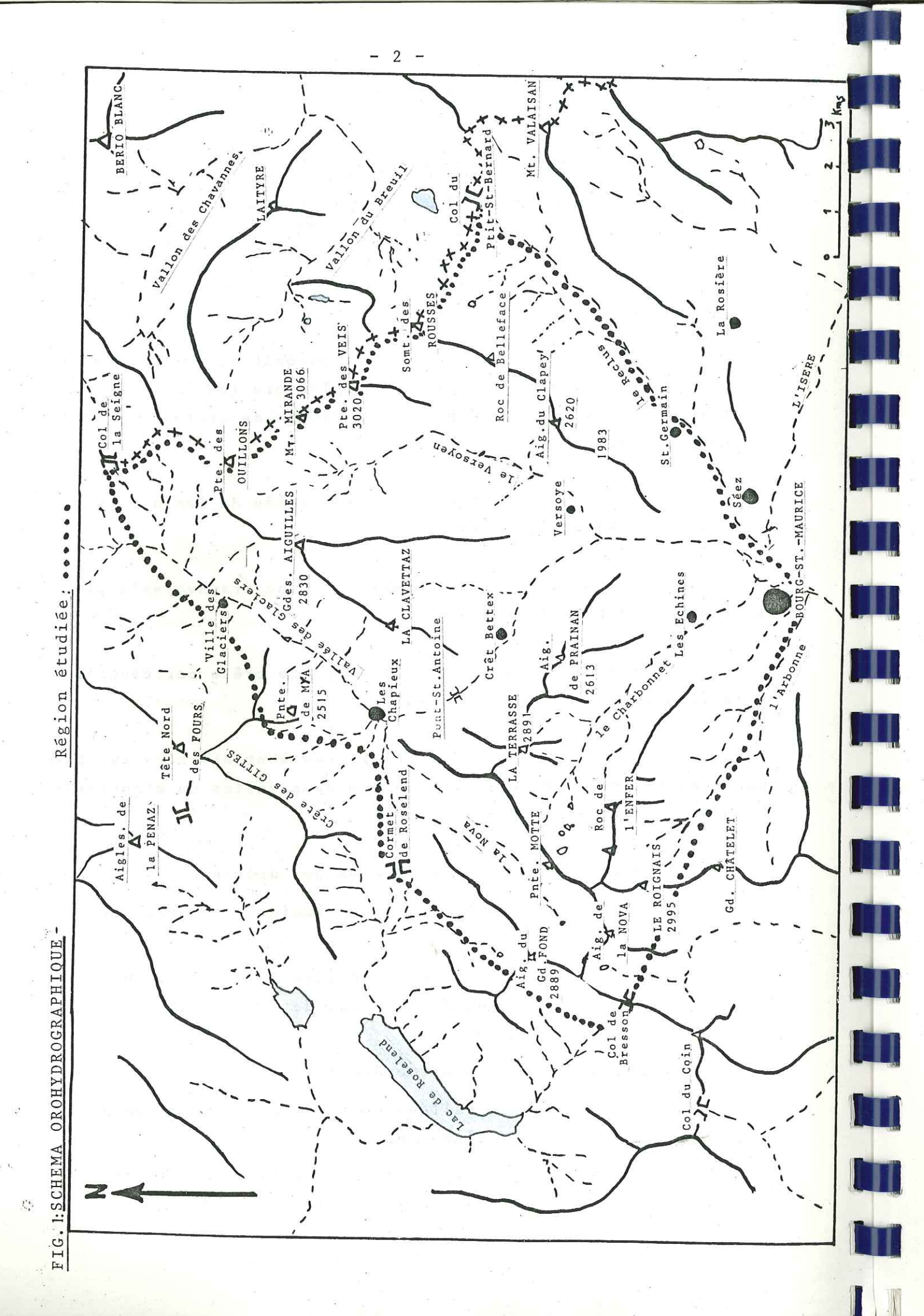
<u>phique de la région étudiée</u>: fig. 1.

Le terrain étudié se trouve assez bien délimité dans la topographie :

- la limite externe, correspondant au Chevauchement Pennique Frontal, suit la vallée des glaciers (au Sud-Est du Mont Blanc), puis passe au Nord de la ligne de crête du Massif du Grand Fond.
- la limite interne suit la vallée du Reclus, puis de l'Isère, à Bourg St-Maurice.
- au Sud-Ouest, la limite est une transversale passant par la Vallée de l'Arbonne.
- au Nord-Est, c'est la ligne de crête correspondant à la frontière franco-italienne.

Les grandes unités géologiques sont alignées du Sud-Ouest au Nord-Est. On distingue alors deux séries de structures formant l'ossature de la région :

- les structures parallèles aux unités géologiques :
  - . les Vallées des Glaciers, du Versoyen, du Reclus.
  - . les lignes de crêtes des Gittes, du Grand-Fond, de la Nova, de la Clavettaz, du Clapey.
- les structures perpendiculaires :
  - les Vallées des Chapieux, du Charbonnet, de l'Arbonne.
  - . les lignes de crêtes du Roc de l'Enfer, de la Terrasse, du Mont de Mirande.



L'altitude des montagnes incluses dans ce périmètre d'étude oscille entre 2500m et 3000m. Les conditions d'affleurement deviennent bonnes à partir d'une certaine altitude, lorsque les alpages laissent place aux escarpements de crêtes; les versants des vallées (souvent profondes) sont en général encombrés d'éboulis, de formations glaciaires, ou de glissements de pentes.

Les fonds topographiques couvrant la région sont ceux de l'I.G.N. au 1/25.000:

- feuilles de Bourg-St-Maurice n° 1-2, 3-4, 5-6; 7-8;
- feuille de St-Gervais-les-Bains n° 7-8;
- feuille de Ste-Foy-Tarentaise n° 1-2;

# B - Cadre géologique de la région étudiée : fig. 2.

Définie au Sud de Moûtiers par R. BARBIER, la Zone des Brèches de Tarentaise est un domaine paléogéographique intermédiaire entre la Zone delphino-helvétique et la Zone subbriançonnaise s.s. (P. ANTOINE), continuation au Sud-Ouest de la Zone valaisane suisse.

Les séries représentées sont mal datées, la plus récente étant rapportée au Crétacé supérieur-Eocène.

Le but de la présente étude est de définir les différentes phases de déformation de cette région, la tectonique ayant jusqu'à présent été définie peu clairement.

# C - <u>Historique</u>

De nombreux auteurs depuis le XVIIIème siècle se sont penchés sur les problèmes particuliers, tant stratigraphiques que structuraux, de la zone étudiée. L'historique des recherches très documenté des ouvrages de H. SCHOELLER (historique du XVIIIe siècle à 1928) et de P. ANTOINE (historique de 1929 à 1971) ne sera pas repris ici.

Retenons le mémoire de H. SCHOELLER (1929), qui a ouvert l'époque des recherches modernes du secteur étudié en établissant la première stratigraphie synthétique et le premier schéma structural de la Zone de l'Embrunais, et le mémoire de P. ANTOINE (1971) qui individualise plusieurs unités structurales, dont l'Unité de Moutiers et l'Unité du Roignais-Versoyen.

Je citerai pour finir les ouvrages très récents traitant surtout la stratigraphie de certains secteurs particuliers, S. FUDRAL et J. COLLART (1973) pour l'étude de l'Unité de Moutiers, J.L. LASSERRE et C. LAVERNE (1976) pour l'étude du volcanisme de la Zone du Versoyen.

# D - <u>Le matériel stratigraphique des différentes</u> unités : fig. 3

- 1 <u>La Zone des Brèches de Tarentaise</u> : <u>fig. 4</u>

  Deux ensembles superposés sont distingués :
- le substratum du flysch s.l., ou "substratum", qui englobe tous les terrains allant du cristallin au Dogger inclus, et qui présente un caractère de cordillère, avec des faciès peu profonds et de nombreuses lacunes (P. ANTOINE).
- Le flysch s.1., mis en place après une phase tectonique paraissant importante compte tenu des discordances cartographiques, est une série beaucoup plus épaisse, dont certains termes seulement présentent le faciès flysch.

## la- Le "substratum":

<u>Le cristallin</u> : il n'affleure qu'au Sud de la région étudiée, dans la région de Moûtiers.

<u>Le carbonifère</u>: les faciès schisteux sont les plus courants, avec des schistes gris-fer à noirs, à surface lisse et parsemée de paillettes de micas blancs détritiques. On trouve aussi des grès fins, schisteux, à paillettes de micas détritiques, et un quartzite micacé feuilleté. Existent aussi des lits plus ou moins anthraciteux (Combe de la Nova) de grès FIG. 2: DRE GEOLOGIQUE: Delphino-helvétique

Ultrahelvétique

H Massifs cristallins externes

"Zone valaisane"

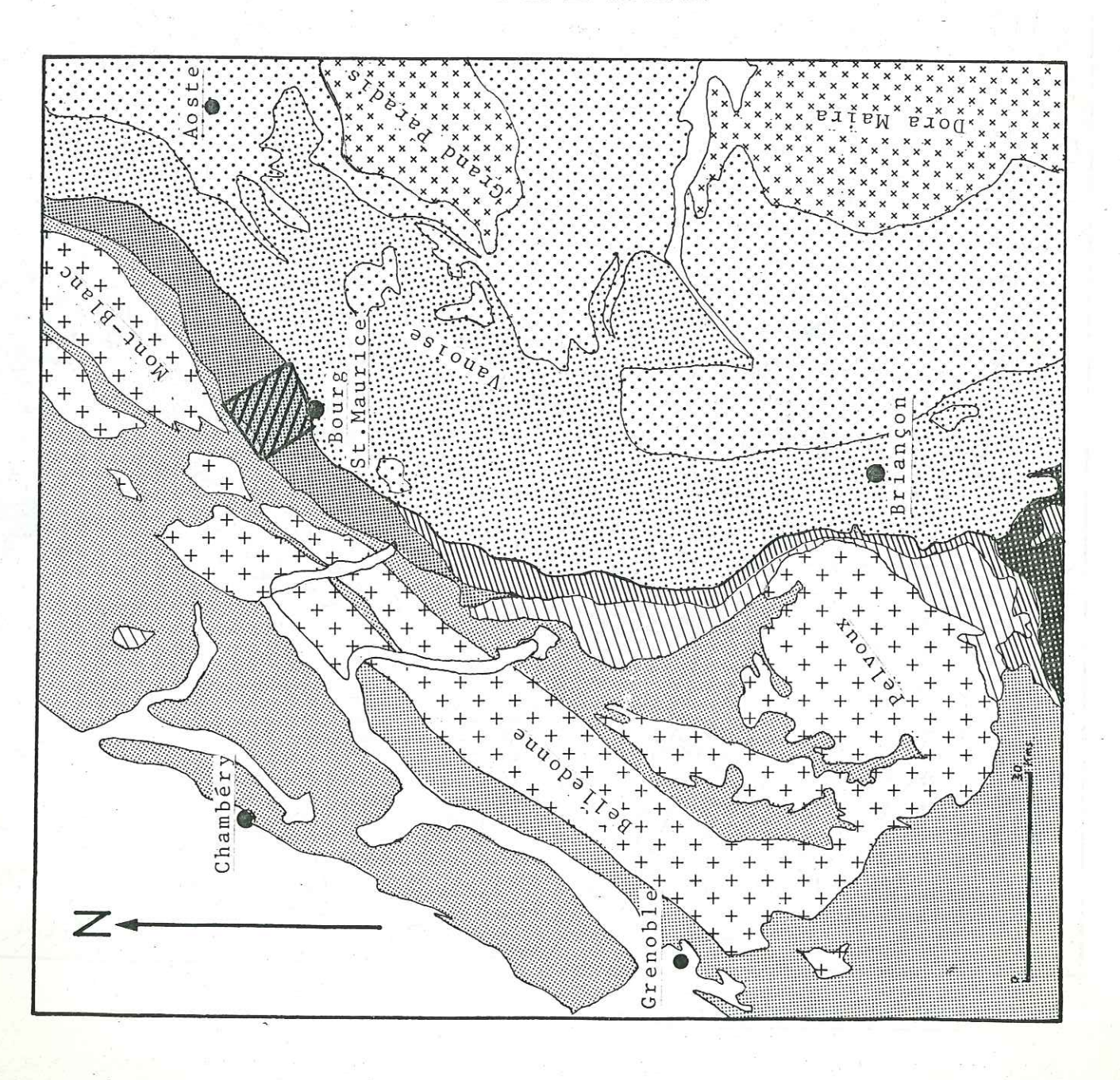
Zone subbriançonnaise

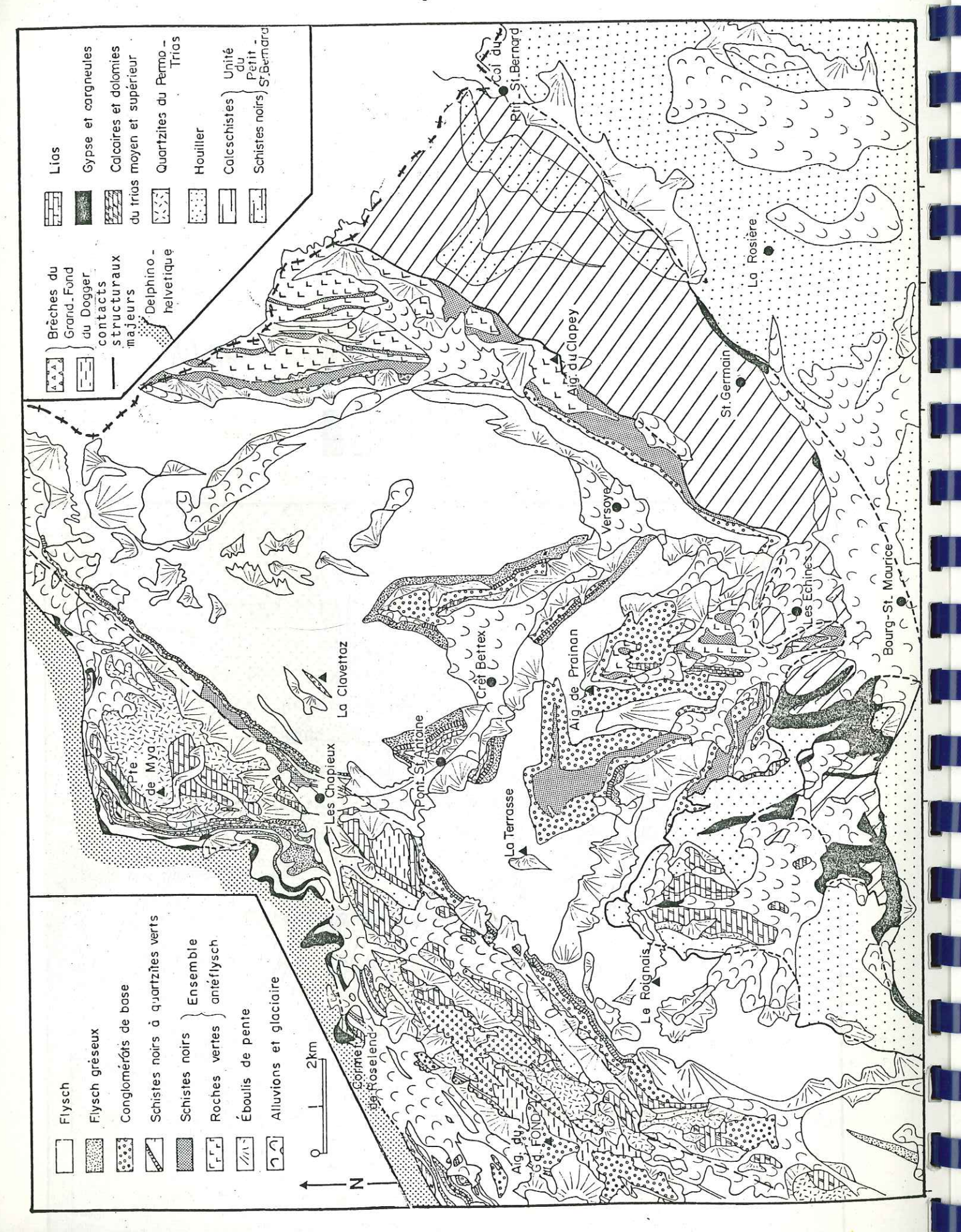
Zone briançonnaise

Schistes lustrés piémontais

Litt Massifs cristallins internes







du Grand-Fond antéflysch -Unité du Roignais-Versoyen--Unité de Moûtiers-

FIG. 4:
-Coupes stratigraphiques synthétiques de la Zone des Brêches de Tarentaise(d'après P.ANTOINE)

et de microconglomérats.

<u>Le Permien</u>: on rapporte au Permien les conglomérats fins ou grossiers à galets de quartz roses ou blancs,
les grès fins et quelques assises de pélites grèseuses dont la
teinte générale est verte. Tous ces matériaux sont riches en
phyllites néoformées. L'épaisseur est variable, jamais inférieure à une centaine de mètres. Ces terrains semblent passer
en continuité au Werfénien, aussi parlerons-nous plutôt de
"Néo-Permien" ou de "Permo-Trias".

<u>Le\_Trias</u> : la stratigraphie du Trias n'est pas très différente de celle établie en "Zone Briançonnaise", aux épaisseurs près ; on y reconnait :

- <u>Les quartzites de base</u> : d'une cinquantaine de mètres d'épaisseur, ce sont des quartzites blancs, passant vers le bas en continuité aux quartzites verts à quartz roses du Néo-Permien. Ils sont attribués au Werfénien comme en "Pays Briançonnais".
- <u>les schistes "supra-Werféniens" ou schistes</u>
  intermédiaires: les quartzites Werféniens sont limités vers
  le haut par des quartzites noirs et des schistes noirs à intercalations dolomitiques, bien représentés près de l'Orgière,
  dans l'anticlinal de Crêt Bettex. Ces niveaux seraient l'équivalent du "Niveau gypsifère inférieur" briançonnais, et marqueraient donc le sommet du Werfénien (P. ANTOINE).
- <u>le Trias moyen</u> : il se subdivise en deux grands ensembles (P. ANTOINE, 1971) :
- . 1e "Trias jaune" dolomitique à couches vermiculées d'épaisseur environ 40 m, rapporté à l'Anisien.
- . le "Trias gris" calcaire à passées de dolomies cendrées et à brèches dolomitiques intraformationnelles, en bancs épais. Cet ensemble forme des falaises d'une trentaine de mètres et correspondrait au Ladinien.
- <u>le Trias supérieur</u> : c'est classiquement un niveau de disharmonie ou de décollement :
  - . les gypses et les cargneules : les cargneules

de teinte jaune ou crème, offrent souvent un aspect terreux et sont parfois conglomératiques; le gypse n'est pas présent partout, et forme des amas importants (Combe de la Nova).

. les brèches : certains niveaux de brèches et de dolomies jaunes semblent attribuables au Trias supérieur.

. les schistes lie de vin, violacés ou verdâtres, jalonnant le Chevauchement Pennique Frontal (Cormet de Roselend) sont aussi attribués au Trias supérieur.

Aucun reste paléontologique n'a permis de déterminer les âges, les attributions chronologiques proposées à la suite des auteurs antérieurs restent donc hypothétiques bien que probables.

Le\_Lias : on attribue au lias dans la Zone des Brèches de Tarentaise les calcaires de même faciès que ceux des Etroits de Siaix ou de Villette (Nord-Est de Moûtiers) qui sont datés par des lamellibranches, belemnites et polypiers (R. BARBIER). Ce sont, pour la région étudiée, des calcaires très recristallisés, noirs, gris ou blancs, massifs, et plus ou moins dolomitiques. P. ANTOINE décrit une série plus complète sur la marge interne de l'Unité du Roignais-Versoyen :

- calcaires marmoréens

- calcaires à silex noirs
- calcaires noirs spathiques bioclastiques
- calcschistes et schistes noirs (Lias inférieur).

Lias Moyen et Supérieur

#### Le Dogger : Les Brèches du Grand-Fond

L'attribution au Dogger de ces brèches est faite par analogie de faciès et de microfaune qu'elles présentent avec les séries du Dogger subbriançonnais ou briançonnais.

L'érosion anté-Dogger a été générale, faisant ainsi disparaître une grande partie des séries liasiques.

- l'ensemble conglomératique inférieur est représenté à la base par un conglomérat grossier plus ou moins compact, pauvre en ciment, et au sommet par une alternance de calcaires gris-noirs, de schistes et de bancs conglomératiques à petits éléments et à ciment calcaire.

Cet ensemble fait 40 à 50m d'épaisseur.

- l'ensemble conglomératique supérieur (de 100 m d'épaisseur et plus) se présente sous forme de brèches à blocs gigantesques avec ou sans matrice (quand elle existe, la matrice est calcaire, calcschisteuse ou schisteuse).

 $\underline{\text{Le}\_{\text{Malm}}} \; : \; \text{I1 est totalement absent à 1'affleu-rement.}$ 

1b - Le "Flysch s.l." ou série détritique de Tarentaise: Dans tout le secteur étudié le "flysch s.l." couronne la série stratigraphique de la Zone des Brèches de Tarentaise. Cette formation à caractère transgressif repose en discordance sur des termes variés, plissés et érodés allant du Permien au Dogger.

On décrira quatre ensembles sédimentaires (d'après P. ANTOINE), les attribution chronologiques restant incertaines :

- l'ensemble antéflysch (Turonien Sénonien).
- la formation détritique basale
- les couches des Marmontains ou schistes noirs à quartzites verts.
- les couches de St-Christophe ou flysch p.p.d. (fin du Crétacé - début Paléocène).

Cependant, ces quatre termes ne sont pas nettement individualisés, les différentes formations passant progressivement de l'une à l'autre. Les divers termes de la série sont caractérisés par une grande pauvreté en vestiges organiques sans valeur chronologique et présentent des variations lorsqu'on va du domaine le plus externe au domaine le plus interne de la Zone des Brèches de Tarentaise.

#### L'ensemble antéflysch

- Le domaine externe : Sur la bordure externe de l'Unité du Roignais-Versoyen l'ensemble antéflysch se présente sous la forme d'une étroite bande de terrains reposant tectoniquement sur des termes appartenant à l'Unité de Moûtiers : ce sont des alternances de schistes noirs, de calcschistes, de niveaux grèseux, de bancs de brèche polygénique, le faciès shisteux étant prédominant.

- <u>le domaine médian</u>: au niveau des anticlinaux du Pont-St-Antoine et de Crêt Bettex, l'ensemble antéflysch manque probablement par lacune de sédimentation.
- <u>le domaine interne</u> : la série du Versoyen : cette série est caractérisée (J.L. LASSERRE et C. LAVERNE, 1976) par l'alternance de faciès volcaniques en sills, différenciés à partir d'un magma tholéitique à caractère océanique, avec quelques tendances continentales, et de faciès sédimentaires (schistes gris ou noirs); son âge serait Néocomien Crétacé supérieur.

<u>La formation détritique basale</u>: la sédimentation de cette formation est de type molassique. On y observe des faciès calcaires et microbréchiques, avec une variation lorsqu'on passe du domaine externe au domaine interne:

- domaine externe : il y a diminution de la taille des éléments du Sud-Ouest au Nord-Est, ainsi qu'une absence de bancs schisteux. Le granoclassement est peu fréquent. Dans la "zone des écailles externes" de l'Unité de Moutiers, la formation est fortement réduite (elle peut être inférieure à lm), et on note une prédominance du faciès fin gréso-conglométratique.
- domaine médian : la proportion de calcaire devient assez forte (50%); les strates deviennent très épaisses, tandis que la stratifications est mal marquée. La densité des éléments est supérieure à 50%. Ces éléments sont très polygéniques, à granulométrie irrégulière.
- <u>domaine interne</u>: la série devient alors calcaire, avec un faible rapport d'éléments détritiques. Ce calcaire est cristallin gris-bleu, à zones siliceuses.

On retrouve dans les conglomérats tous les éléments des séries sous-jacentes à l'ensemble antéflysch", mais ceux empruntés à la série antétriasique sont rares; leur taille va de millimétrique à métrique.

Le ciment est un calcaire cristallin gris-bleu. L'épaisseur normale de la série est d'une centaine de mètres. On notera cependant que l'épaisseur de la série augmente à l'inverse de la taille des éléments.

Les schistes noirs à quartzites verts (couche des Marmontains): Cette série épaisse d'environ 10 m est une alternance de schistes noirs à grains de quartz, et de quartzites brun-vert. Les quartzites ont tendance dans l'Unité de Moûtiers à être remplacés par des plaquettes gréseuses ou des niveaux conglomératiques ou bréchiques.

La série terminale, ou couches de St-Christophe:

- Les grès calcarifères microbréchiformes : ce sont des bancs grèso-conglomératiques à éléments millimétriques à décimétriques allant du cristallin au Lias. Ce niveau tend à se confondre avec le flysch p.p.d. vers le Nord.
- <u>Le flysch p.p.d.</u>: il s'agit d'une alternance monotone de calcaire gréseux, de calcschistes, de schistes noirbleuté, de microbrèches, que l'on peut rencontrer soit en strates épaisses, soit en strates minces (surtout dans le domaine externe).

L'épaisseur du flysch varie à l'affleurement de 300 m à 800 m.

2 - <u>L'Unité du Petit-Saint-Bernard</u> : <u>fig. 5</u> :

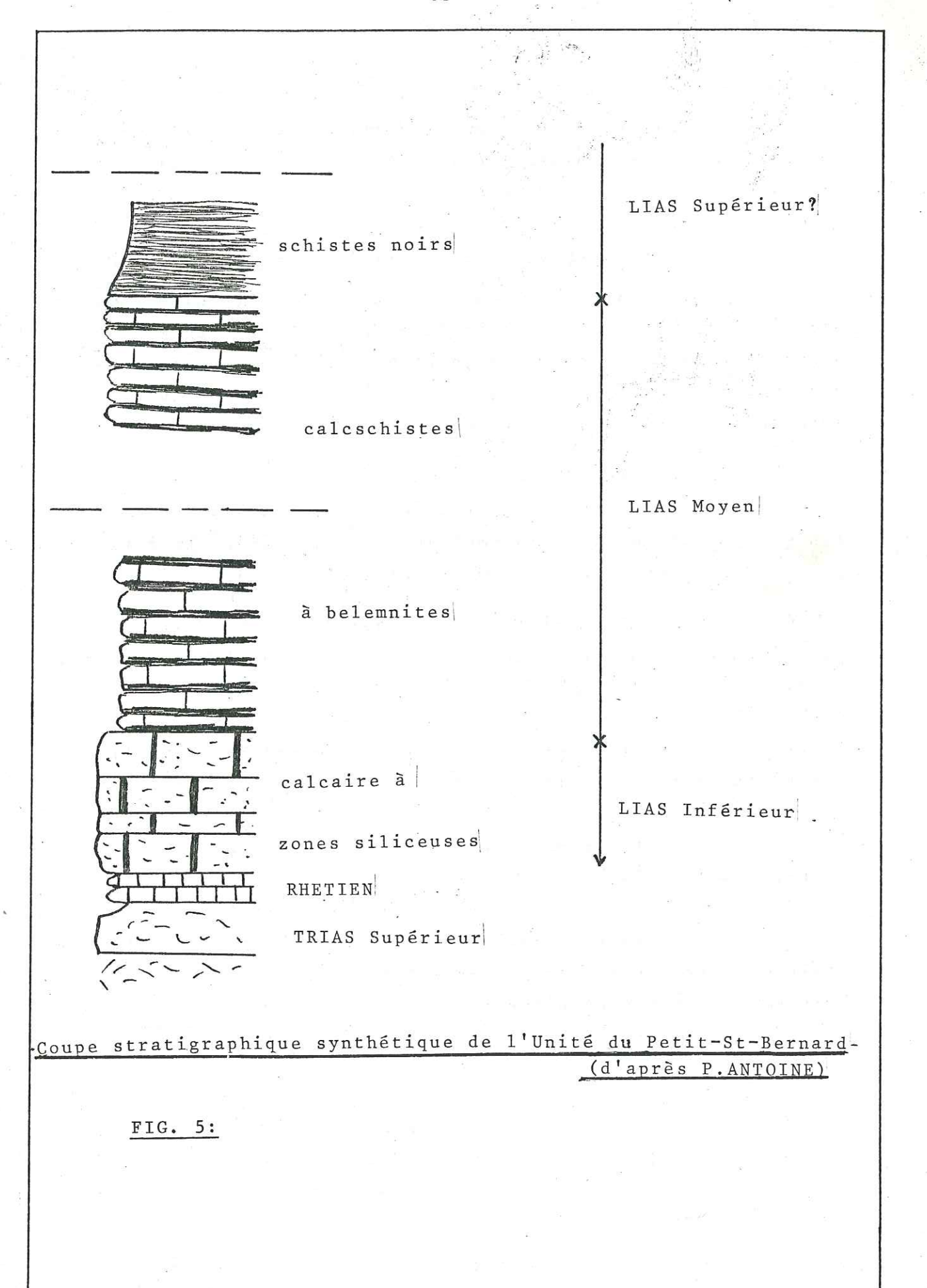
Cette unité qui prend naissance au niveau de BourgSaint-Maurice, se termine de façon brusque en Italie dans la
vallée de la Doire de Verney.

La lithologie de cet ensemble est caractérisée par la prédominance de calcschistes datés du Lias (Franchi, 1900) et de schistes sombres à faciès "schistes lustrés".

Un important niveau de décollement existe à la base dans le Trias supérieur (dolomies jaunes), et le contact anormal est souligné par de rares affleurements de cargneules.

On distingue deux grands ensembles lithologiques :

- la série basale renfermant des dolomies et des cal-



caires, d'épaisseur réduite, et allant jusqu'au Lias inférieur.

- la série des calcschistes, d'épaisseur considérable, surmontée de schistes noirs (Lias moyen et supérieur?)

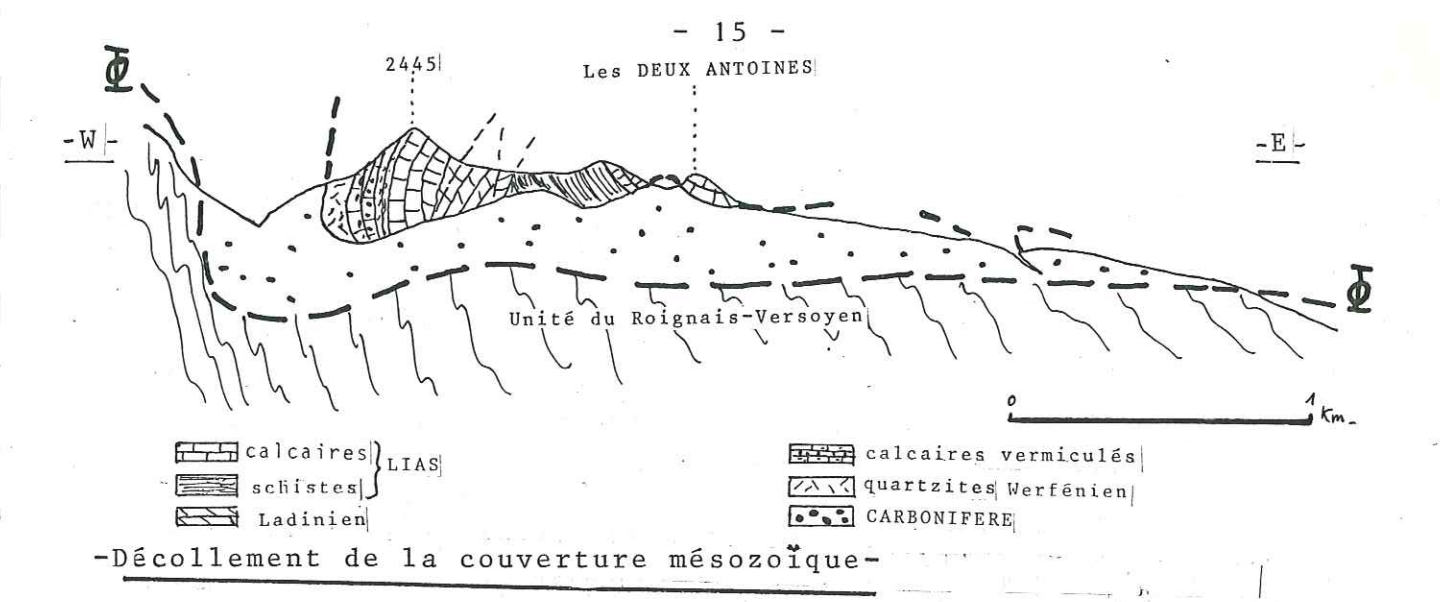
#### 3 - L'Unité de Salins : fig. 6 :

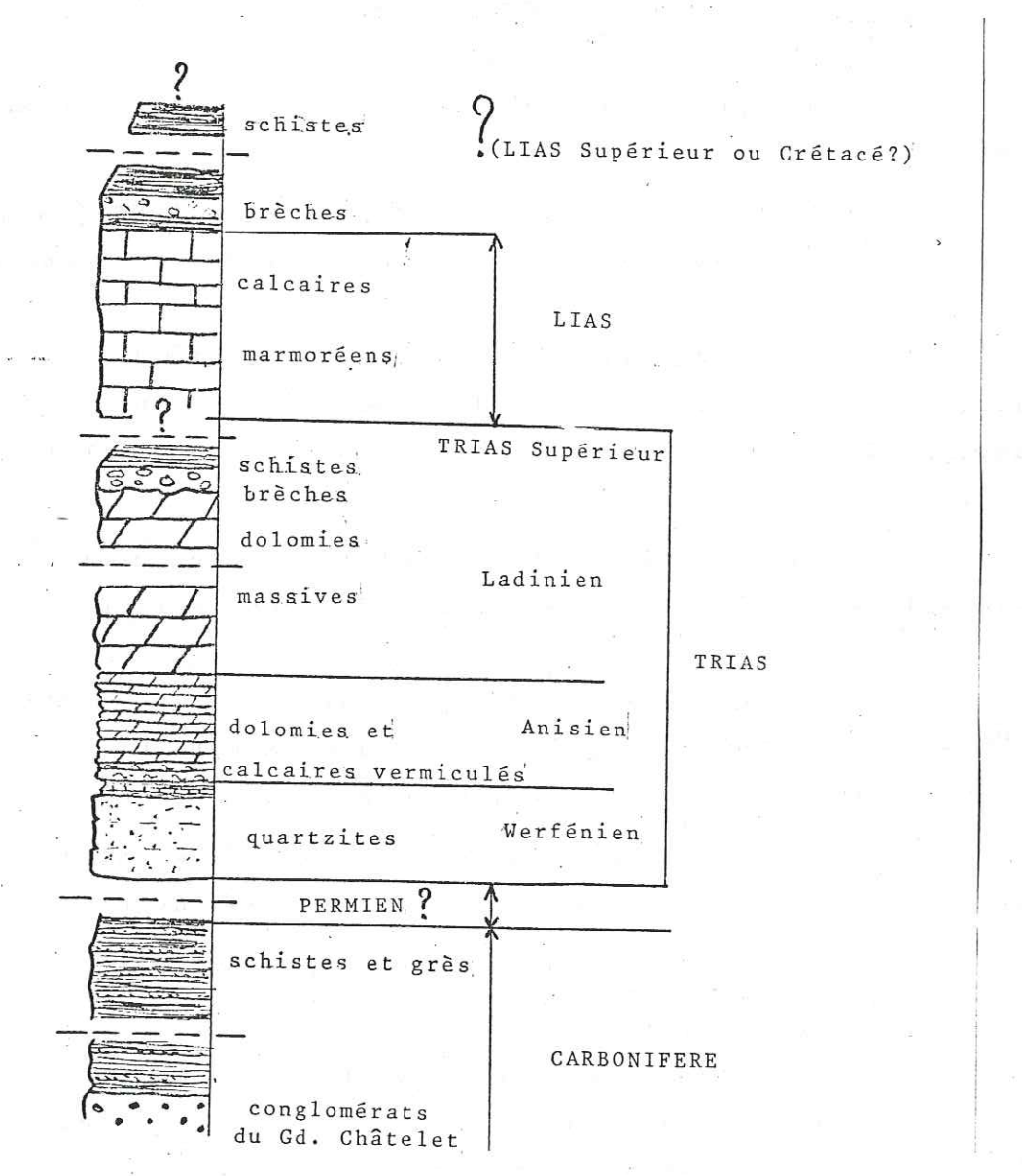
Il s'agit d'une bande de terrains carbonifères pour l'essentiel, qui domine les vallées de l'Arbonne et du Nant-Blanc au Nord-Ouest de Bourg-Saint-Maurice, sur laquelle quelques vestiges de la couverture mésozoique sont conservés (Roc de l'Enfer et les Deux Antoines).

#### Description stratigraphique sommaire:

les recouvrements glaciaires et les glissements de terrain sont abondants, rendant la stratigraphie malaisée à établir. On distingue cependant :

- <u>Le\_Houiller</u>: schisto-gréseux, à schistes ardoisiers noirs et à micas détritiques, interstratifiés de niveaux gréseux fins.
- <u>Le Permien</u> : Ce sont des quartzites phylliteux gris clairs très feuilletés, épais de quelques mètres.
- <u>Le\_Trias</u> : les faciès sont semblables à ceux de l'Unité de Moûtiers.
- <u>Le\_Lias</u>: c'est un calcaire très cristallin de teinte claire. Les contacts avec les terrains encaissants sont presque partout tectoniques.





-Coupe stratigraphique synthétique de l'Unité de Salins -

(d'après P.ANTOINE)

FIG. 6:

# II - LES PHASES DE DEFORMATION SUPERPOSEES ET LES MICROSTRUCTURES ASSOCIEES:

Plusieurs phases tectoniques durant l'orogénèse alpine sont responsables de l'agencement des différents types de séries impliquant à l'affleurement plusieurs générations de structures qui interfèrent entre elles.

L'individualisation de chaque phase n'est pas évidente, dans de nombreux cas ce sont des structures anciennes qui rejouent, ou bien deux phases pourront s'exprimer de façon assez semblable.

Trois phases de déformation associées à une schistosité ont été reconnues :

- une première phase tectonique à plis P1, pendant laquelle se développe la foliation régionale S1 synmétamorphique.
- une deuxième phase tectonique à plis P2 synschisteux (S2) couchés, la mise en place des grandes unités structurales, pour l'essentiel, doit être associée à cette deuxième phase.
- une troisième phase à plis P3 très ouverts et à plans axiaux verticaux accompagnés d'une schistosité S3.

Plusieurs autres phases tardives ont pour effet de réorienter ou de disperser les structures antérieures; elles sont en général liées à des rejeux cassants.

Les déformations "antéschisteuses" ne paraissent pas avoir laissé d'empreinte au niveau des microstructures.

Les objets tectoniques mesurés sont :

- les schistosités
- les axes de plis et les linéations d'intersection
- les allongements des minéraux et de galets
- les plans de fractures.

### A - Les phases précoces ou phases "antéschisteuses":

Les microstructures imputables aux phases tectoniques "antéschisteuses" sont pratiquement inexistantes : les phases synschisteuses très intenses les ont très certainement effacées ou transposées.

C'est à l'échelle cartographique, et par une approche stratigraphique qu'on peut avoir une idée de leur importance : la Zone des Brèches de Tarentaise montre en effet des séries de "substratum" typiques de cordillère très instable et très active tectoniquement. Des mouvements verticaux de socle sont en général admis pour expliquer cette tectonique vigoureuse.

D'autre part, le volcanisme donnant notemment les roches vertes de la série du Versoyen, est associé à une phase de distension relative d'une "bordure continentale fragile" par J.L. LASSERRE et C. LAVERNE (1976).

On peut cependant, par une étude axée particulièrement sur le "substratum", et en éliminant les effets des phases "synschisteuses" affectant la Série Détritique de Tarentaise, espérer mettre en évidence une tectonique souple, précoce, en partie tangentielle.

> Exemple de l'affleurement de l'Orgière dans le flanc Est de l'Anticlinal de Crêt Bettex : fig. 7

L'affleurement au-dessus du regard E.D.F. de l'Orgière présente la succession stratigraphique suivante :

- des quartzites triasiques à gros grains à la base devenant noirs, puis alternant avec des schistes noirs sur 1 m environ.
- un calcaire cristallin ressemblant assez au calcaire liasique, mais accompagné de dolomies grises triasiques: c'est donc un calcaire triasique.
- le conglomérat de base du "flysch" qui ravine le calcaire triasique, marquant le début de la série détritique de Tarentaise.

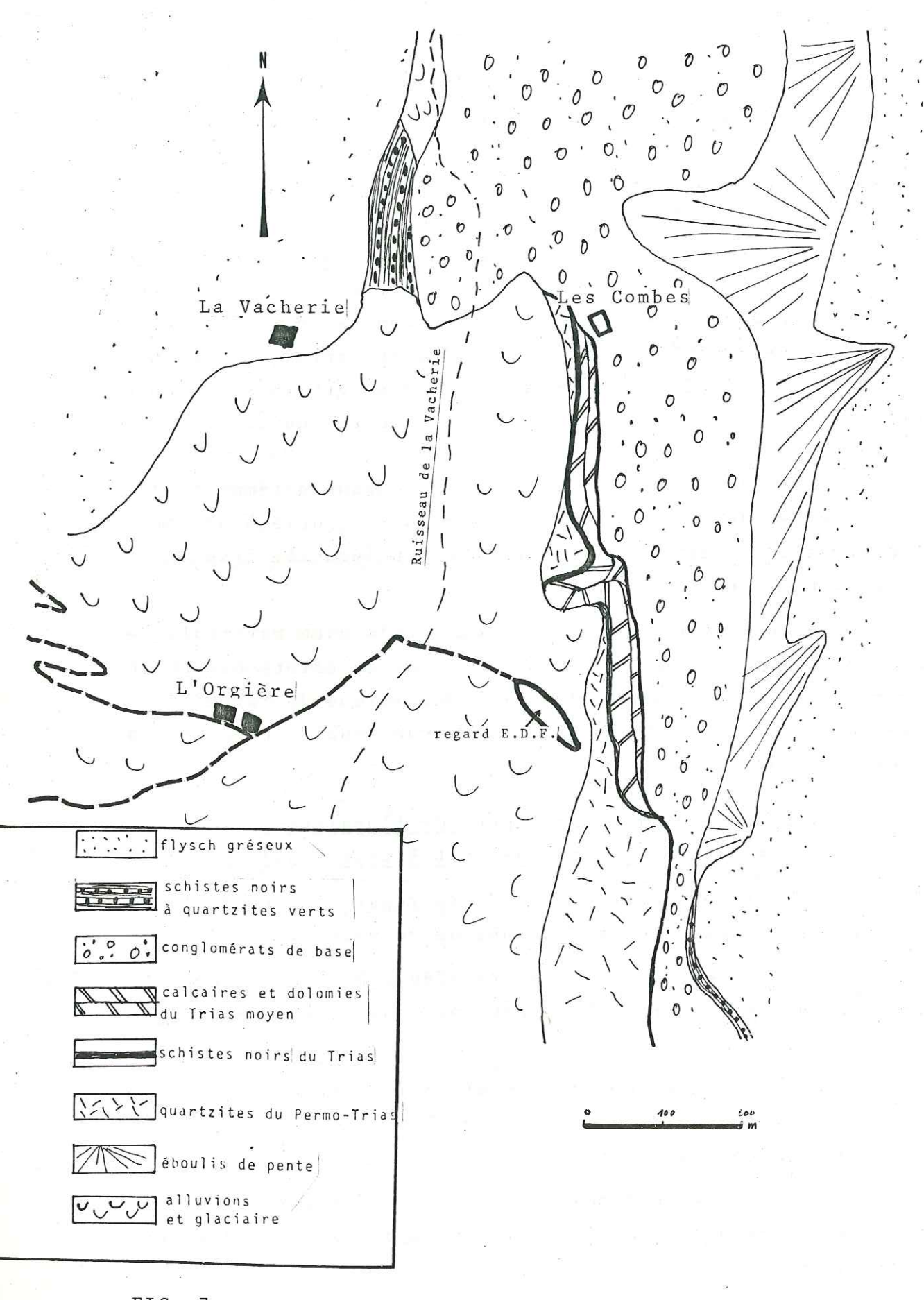
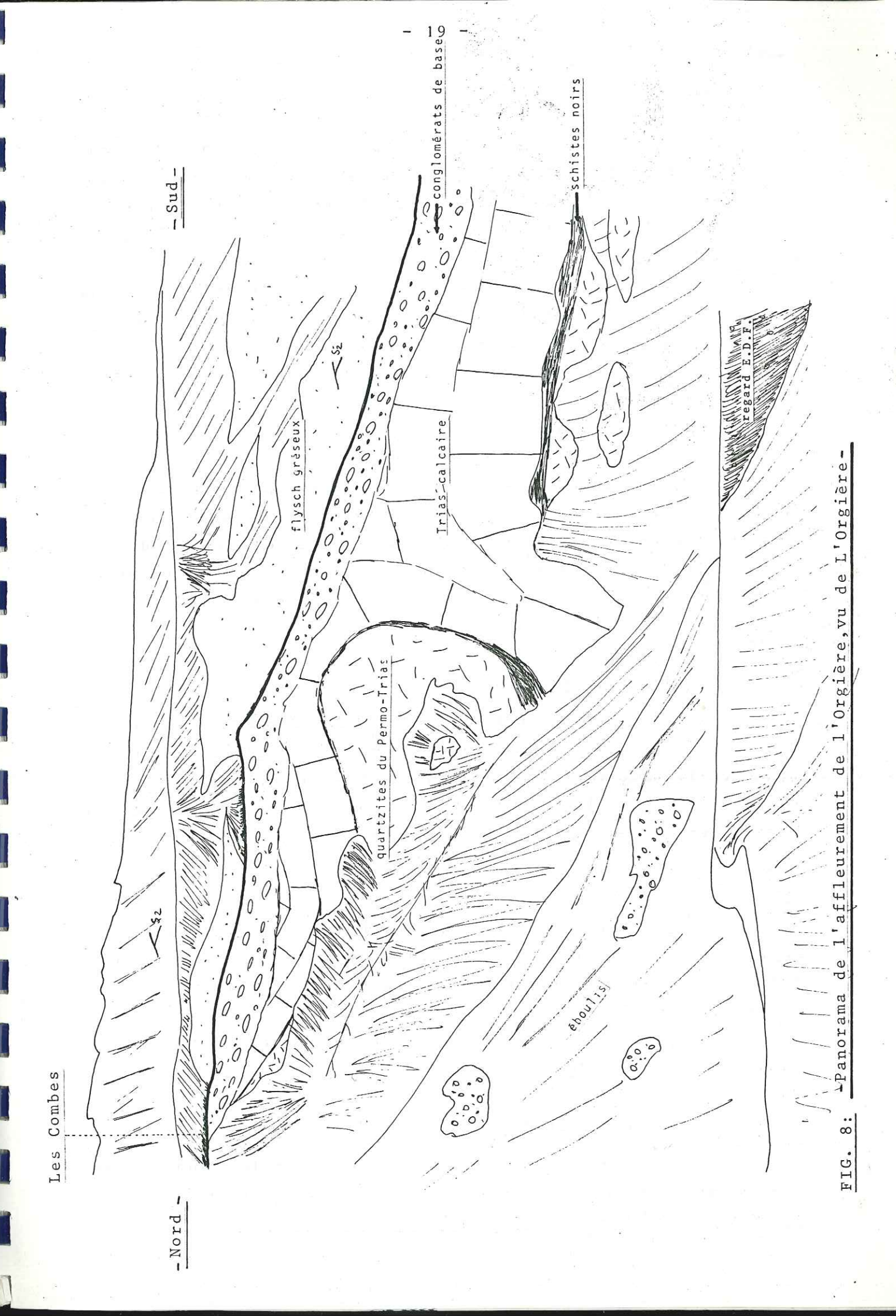


FIG. 7:

-Carte géologique du Nord de l'anticlinal de Crêt Bettex.-



La formation détritique basale, plonge doucement au Sud-Est, et tronque sans y être impliquée, une structure en S, déversée vers le Sud-Est, très bien marquée par les schistes noirs de passage des quartzites aux calcaires du Trias (fig. 8, photo 16).

On peut voir ici l'expression d'une phase tectonique précoce, à déversement au Sud-Est inverse du déversement au Nord-Ouest des phases synschisteuses.

### B - La phase I:

La mise en évidence des microstructures associées à la phase I est difficile car la schistosité S1 est souvent confondue avec la schistosité S2. La distinction de ces deux schistosités n'est possible qu'au niveau de certaines charnières de plis P2; ceci explique que la phase I n'aie jamais été décrite jusque là.

### 1 - La schistosité S1:

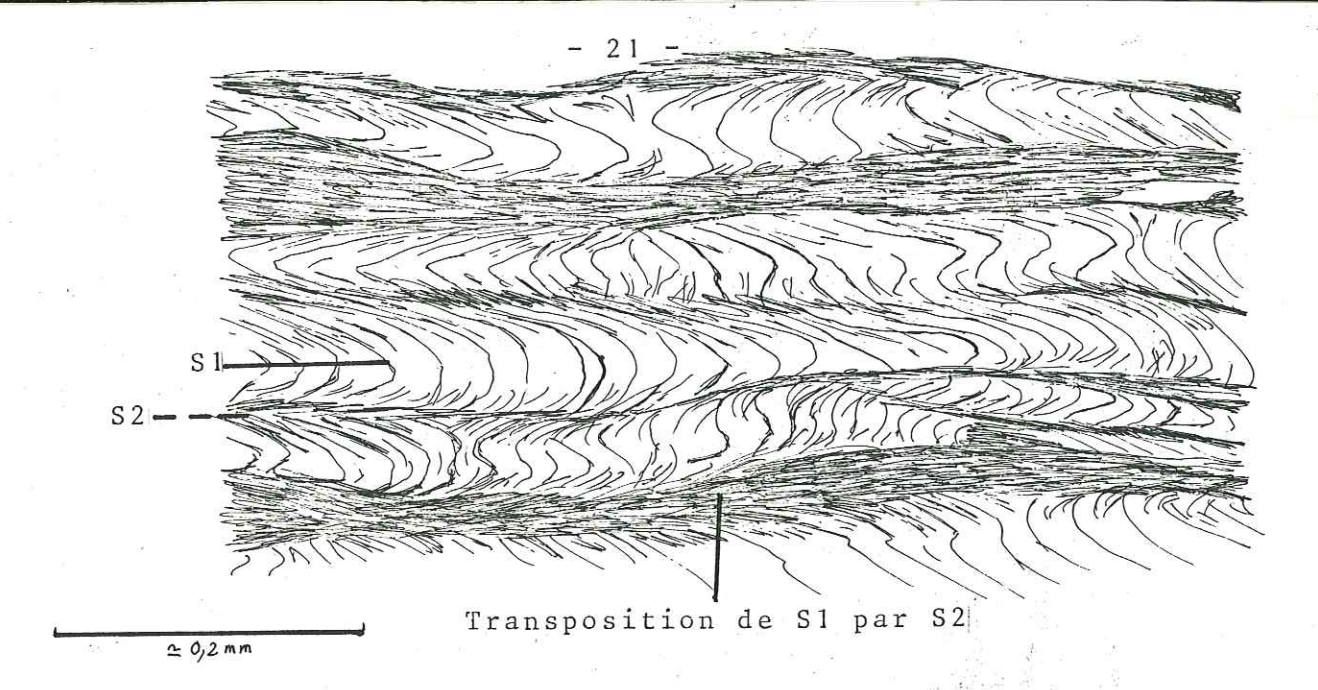
La schistosité S1 est soulignée de manière assez fruste par des aiguilles de minéraux opaques. Elle est constituée d'un feuilletage fin de micas blancs (fig. 9, photo 5). Elle est en général subparallèle à la stratification et est présente dans toutes les unités étudiées, avec les mêmes caractères.

#### 2 - Les\_plis\_P1 :

Les plis Pl liés à Sl sont très rares. Sur la barre de flysch au Sud du Planey, dans la vallée du Charbonnet, on distingue cependant des objets qui pourraient être assimilés à des restes de charnières de plis Pl dont les flancs auraient été totalement laminés. On retrouve parfois de telles figures en lame mince (fig. 10).

### 3 - Les linéations L1:

Les linéations d'intersection ou d'allongement correspondant à la phase I, ne sont pas observables en raison de l'in-



-Schistosité S1: Transposition de S1 par S2-

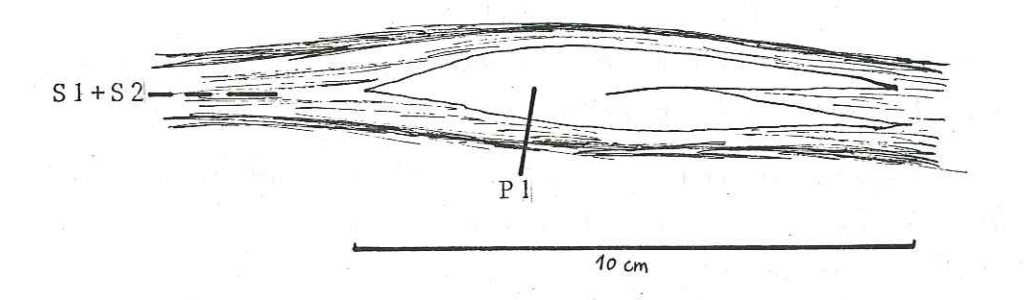


FIG. 10: -Pli Pl-

Univ. J. Fourier O.S.U.G.
Univ. J. Fourier CEOSCIENCES

Univ. MAISON DES CEOSCIENCES

B.P. 53

GRENOBLE CEDEX

GRENOBLE CEDEX

Fax 114 76 51 141 58

F. 3804 1 GRENOBLE Fax 114 76 51 141 58

Mail: ptalour@ujf-grenoble.fr

Mail: ptalour@ujf-grenoble.fr

1 8 ADUT 2003

tensité des phases suivantes.

4 - <u>Conclusion</u>: cette phase est bien distinguable de la mise en place des grandes structures actuelles de la région étudiée, (associée ici à la phase II) son existence n'est évidente qu'en lame mince.

#### C - La phase II:

La phase II s'exprime sur toute la région étudiée sous la même forme :

## 1 - La schistosité S2 : fig. 11

Plan axiale de plis P2, la schistosité S2 est très pénétrative et transpose dans la plupart des cas la foliation S1 (<u>fig.9</u>, photos 5 et 6).

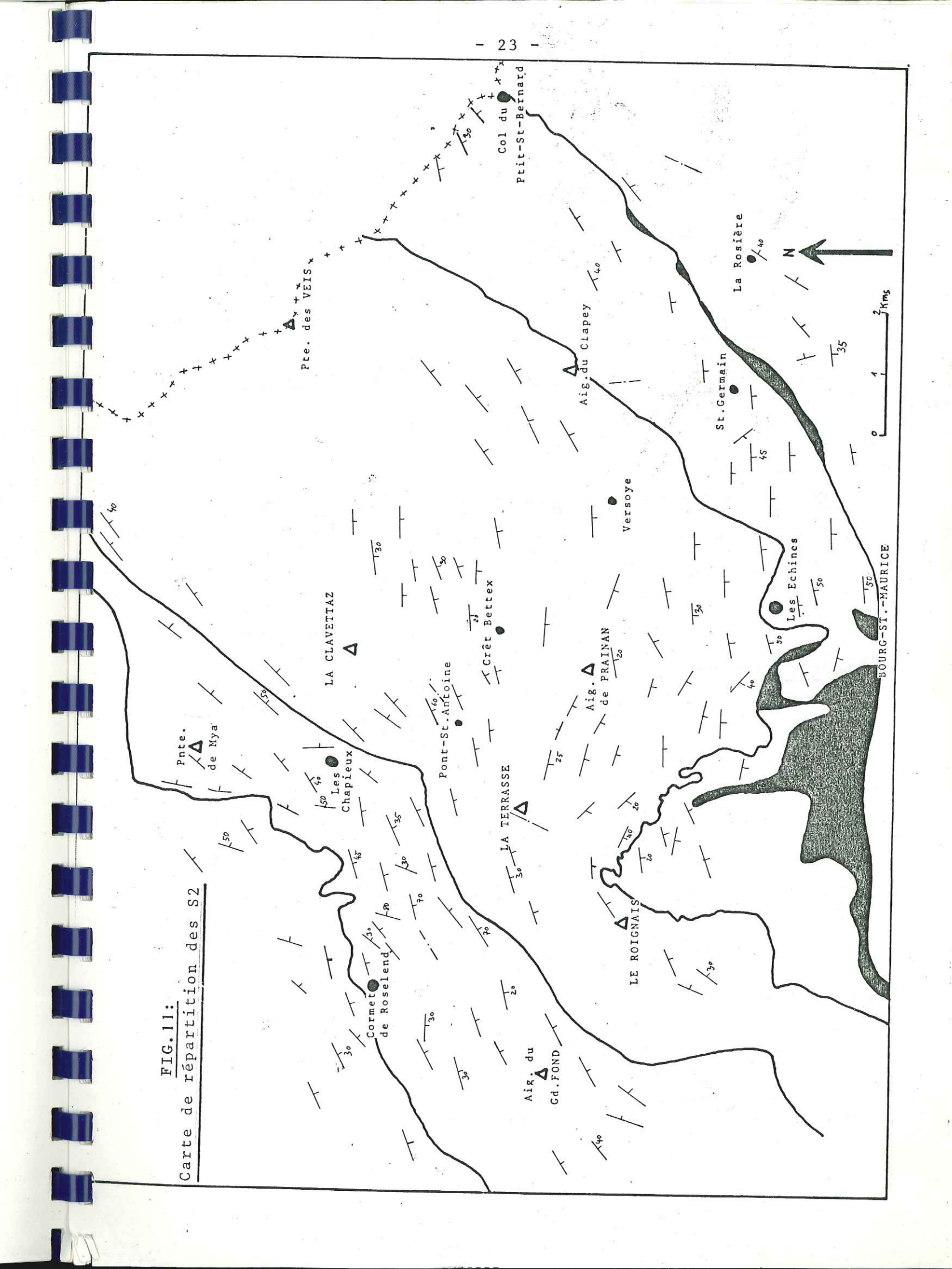
C'est une schistosité de crénulation, fine, serrée, et marquée dans les faciès pauvres en phyllites par l'aplatissement des grains de quartz ou de calcite. Elle est de direction NO40 à N110, plongeant 20 à 30° au Sud. Ce plongement est sans doûte du au basculement tardif vers le Sud-Ouest de la région.

Elle est parfois associée à la faveur de décollements à des néoformations de micas blancs de taille un peu supérieure à ceux de la foliation S1, (fig. 12).

On retiendra qu'en lame mince la S2 est en général exprimée de façon un peu plus nette et plus intense dans les séries en position inverse de la partie interne de l'Unité du Roignais-Versoyen.

#### $2 - Les_plis_P2$ :

Ce sont des plis centimétriques à kilométriques en grande partie responsables des structures de la région. Les plis P2 sont de type subisoclinal à charnière arrondie, très fortement déversés (pratiquement couchés) vers le Nord-Ouest. Ils sont très bien exprimés dans la série détritique de Tarentaise



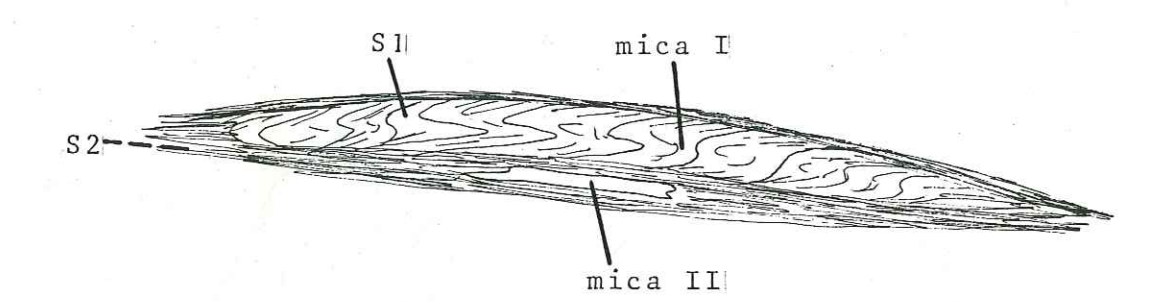
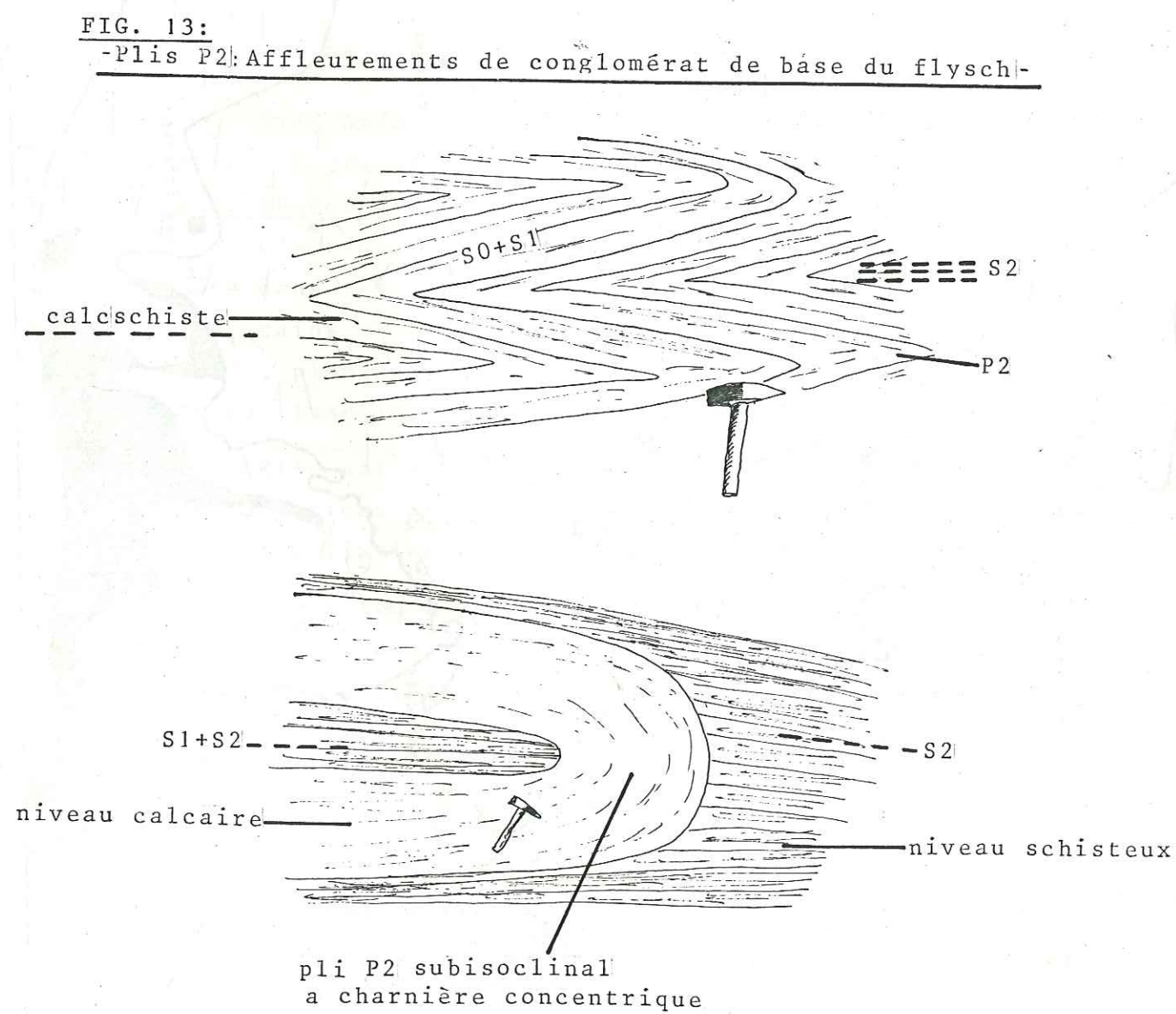
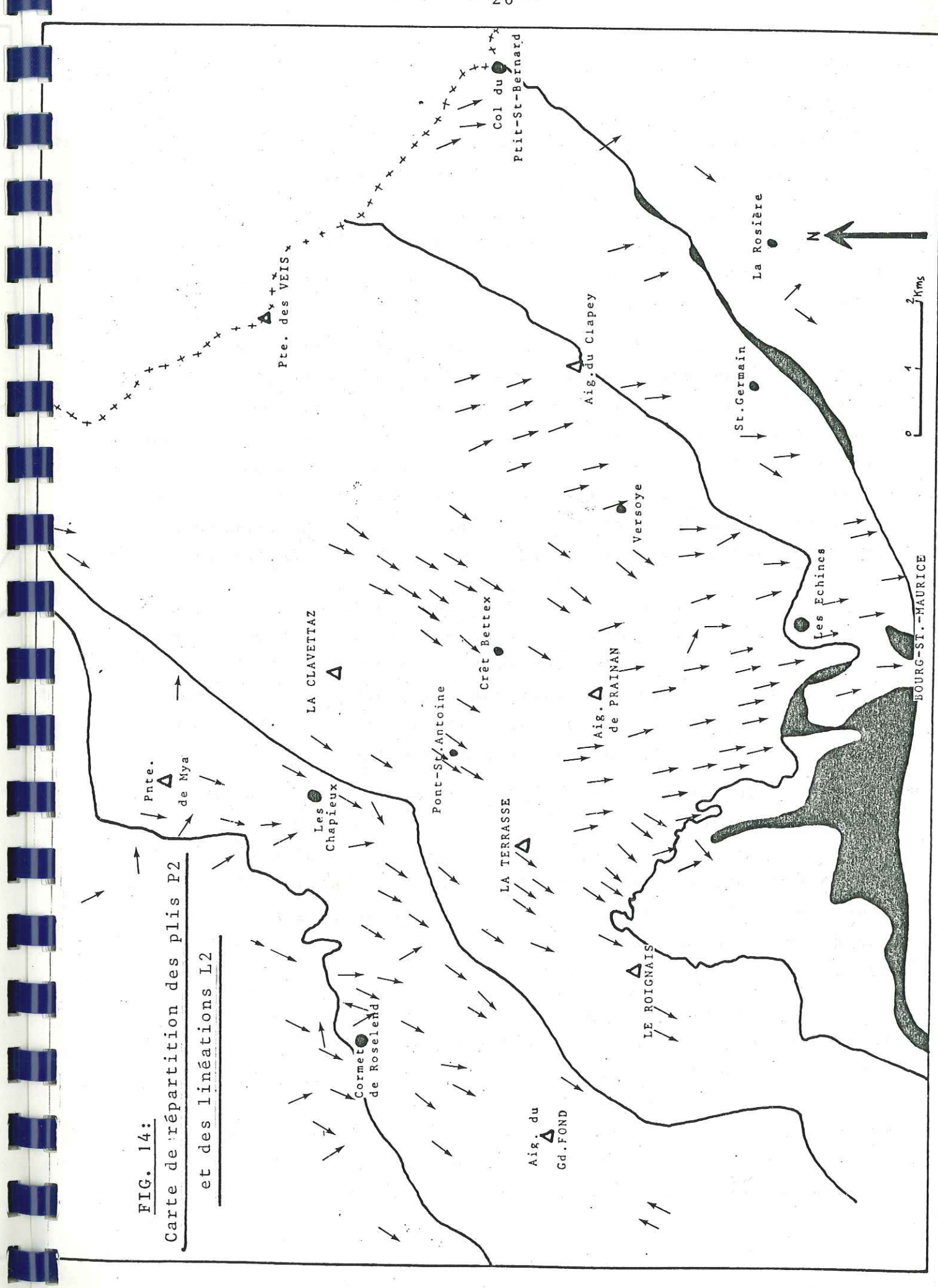


FIG. 12: -Schistosité S2: recristallisation de micas II-







(flysch s.1.), les strates calcaires épaisses dessinant des plis à charnièrestrès arrondies, les niveaux plus schisteux donnant des charnières très effilées (fig. 13, photo 4).

Ainsi, dans les niveaux à lithologie contrastée (comme dans le "flysch" par exemple) les charnières de plis P2 seront arrondies à l'extrados des niveaux calcaires, pincées et plus aigües à l'intrados.

Les plis P2 sont de direction N040, plongeant de 20 à 30° au Sud-Ouest, et prennent une direction N150 à 170 dans le secteur Sud-Est de la région étudiée (fig. 14). Les directions N040 et N170 s'excluent sans qu'il y ait de passage progressif de l'une à l'autre direction (on n'observe pas de plis courbes); ce problème sera discuté lors de l'étude de la synforme du Passage de la Brebis; l'attribution à une même phase de ces plis N040 et N170 repose sur certains caractères communs :

- postériorité à la schistosité S1
- antériorité à la schistosité S3 et aux plis P3
- même schistosité S2 plan axiale
- mêmes cristallisations synchrones
- allongements de minéraux et de galets parallèlement aux axes de plis.

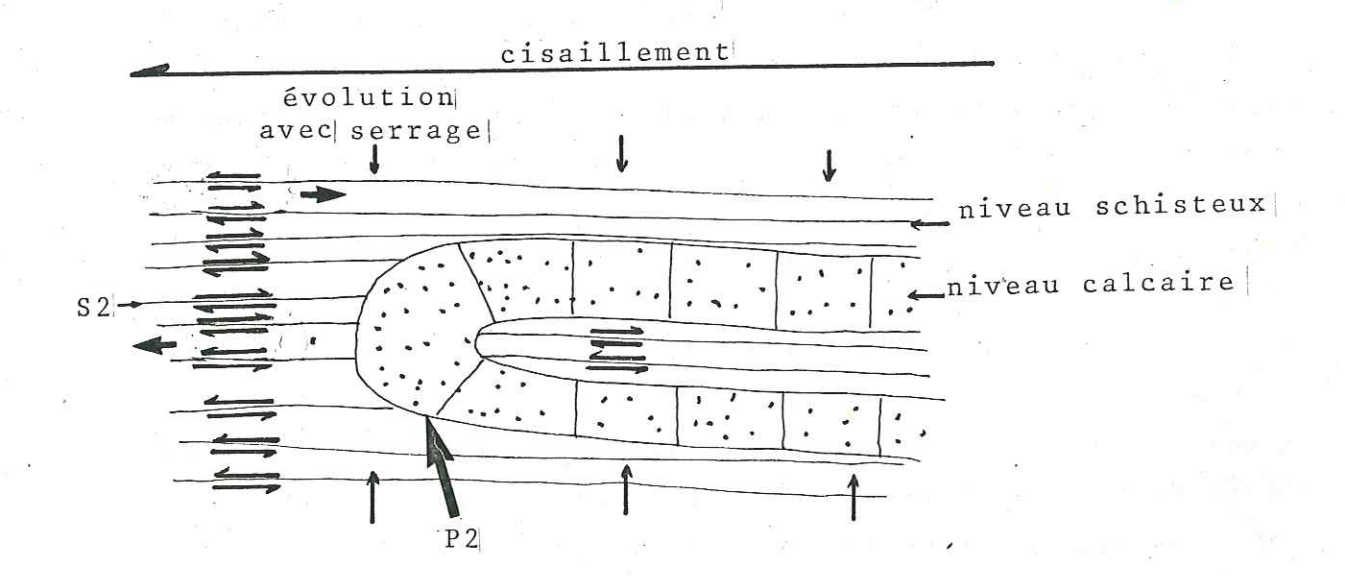
On notera aussi la présence assez fréquente de plis P2 côniques (surtout semble-t-il les plis N150 à N170).

La recristallisation généralisée des niveaux calcaires lors du plissement est évidente, tant à l'affleurement qu'en lame mince : la schistosité S2 s'y exprime très mal (voire pas du tout) en raison du recuit, et on observe en lame mince de la calcite tout à fait bien recristallisée.

Les niveaux schisteux par contre expriment très bien la schistosité S2, avec des décollements et des glissements apparents feuillets sur feuillets.

Les sens de cisaillement décrits par S2 ne sont pas évidents, et en tous cas à examiner avec précaution, car souvent ils changent d'un flanc à l'autre d'un même pli P2 (fig. 15), marquant ainsi l'indice d'un écrasement du pli.

# -Schéma | interprétatif | de l'Evolution des plis P2-FIG. 15:



## 3 - Les linéations associées à la phase II:

3a - Les linéations de crénulation et d'intersection SO-S2 : ce sont des cannelures assez frustes marquées sur S2, parallèles aux plis P2, espacées de quelques millimètres.

3b - Les cristallisations de phyllites II : elles marquent l'allongement de la phase II, sont subparallèles aux linéations d'intersection SO-S2 (fig. 16).

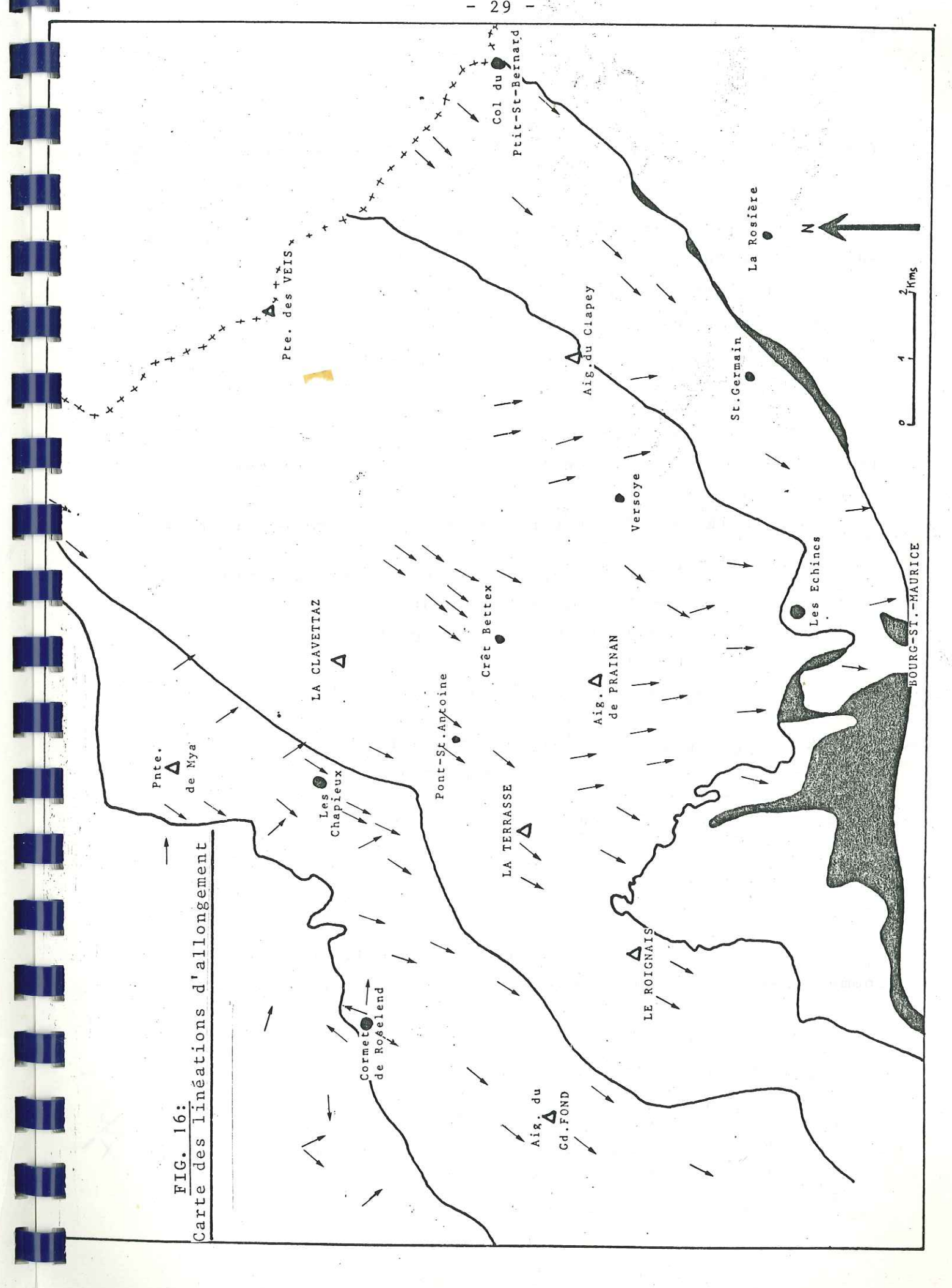
3c - Les queues de pyrites ou zones d'ombre de pression : Des fibres de quartz cristallisent au contact de cubes de pyrite à la faveur des décollements de feuillets de la phase II. Ces marqueurs d'allongement sont en général parallèles aux axes de plis P2, mais peuvent prendre des directions aléatoires. Ils sont oblitérés par la schistosité S3, et sont donc syn à post schistosité S2.

3d - Les galets allongés : Les galets étirés sont affectés par la schistosité S3. Leur étirement est donc de phase II. Une étude statistique des éléments des conglomérats de la formation détritique basale a été faite dans l'Unité de Moûtiers et dans l'Unité du Roignais-Versoyen:

#### 3d1 - Les conglomérats de l'Unité de Moûtiers :

Les conglomérats inférieurs : Les mesures ont été effectuées pour la plupart dans les éboulis du Plan de la Laie (à l'Ouest du Cormet de Roselend) pour une raison évidente d'accessibilité aux différentes sections des galets. Le conglomérat en place a été trouvé dans le Massif du Grand Fond au contact avec la Brèche de Parozan; l'axe d'allongement des galets y est de direction NO40 subhorizontale.

Les élements mesurés sont de taille centimétrique à métrique et il n'a pas été fait de distinction entre les différents faciès (les galets schisteux, donc planaires à l'origine, ont cependant été évités). La matrice calcaire est très réduite



(<30%) (<u>fig. 17</u>) et présente une schistosité mal exprimée S2.

Les dimensions mesurées statistiquement sur environ 250 galets dans un référentiel lié à la schistosité S2 (XY), et à la linéation d'allongement (X), sont dans le rapport :

$$(X)$$
 L = 2,7

$$(Y)$$
 1 = 1,4

$$(Z) \quad h = 1$$

Nous utiliserons la méthode de Flinn pour l'étude des déformations de ces conglomérats, nous reconnaitrons ainsi le type de déformation qu'ils ont subi :

Flinn en décrit cinq types à partir du paramètre k :

- k = 0 : aplatissement à symétrie axiale

- 1>k>0 : aplatissement

-k=1: déformation plane

- ∞>k>1 : allongement associé à une constriction

-  $k = \infty$ : allongement uniaxial

Avec k = 
$$\frac{(1+ e3) (e1-e3)}{(1+ e2) (e2-e3)}$$

el, e2, e3 étant les extensions principales :

$$e1 = \frac{L-Lo}{Lo}$$
,  $e2 = \frac{1-1o}{1o}$ ,  $e3 = \frac{h-ho}{ho}$ 

Si on considère le corps initial avant déformation comme sphérique, ce qui n'est pas forcément vrai, alors :

$$Lo = 1o = ho$$

on obtient : 
$$k = \frac{\frac{L}{1} - 1}{\frac{1}{h} - 1}$$

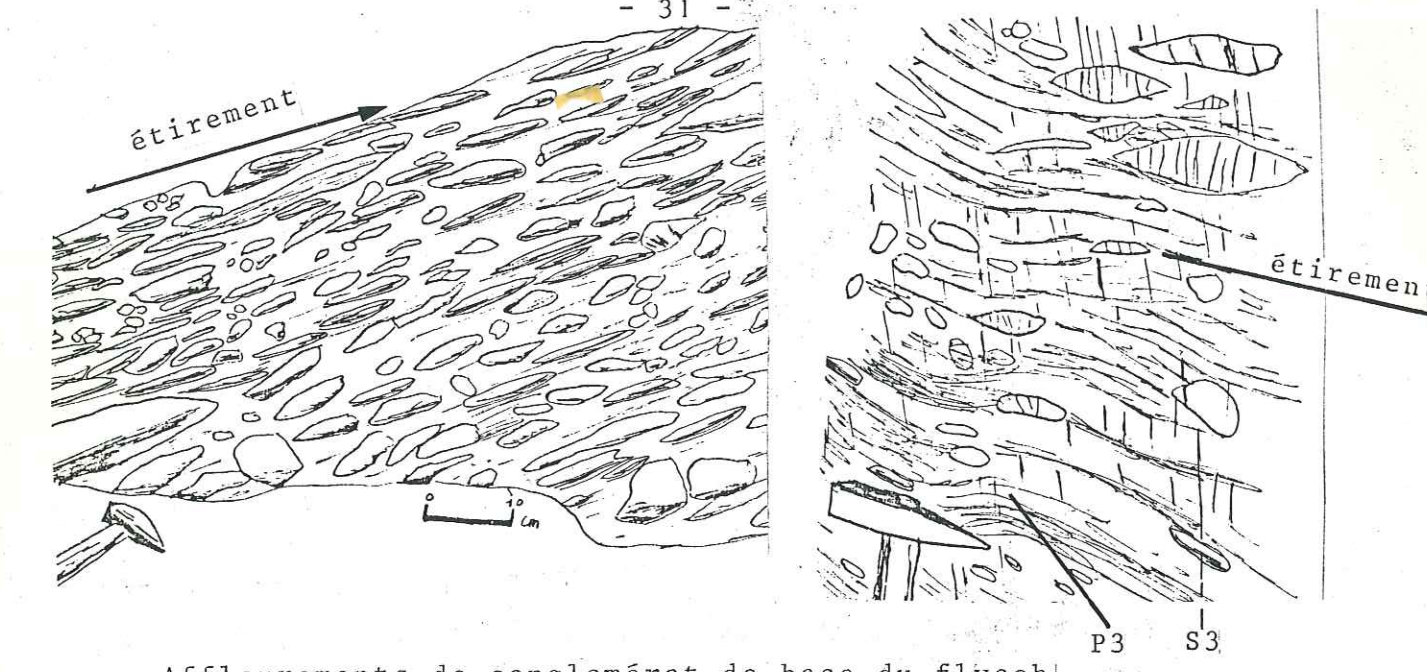


FIG. 17:- Affleurements de conglomérat de base du flysch de type Grand-Fond-

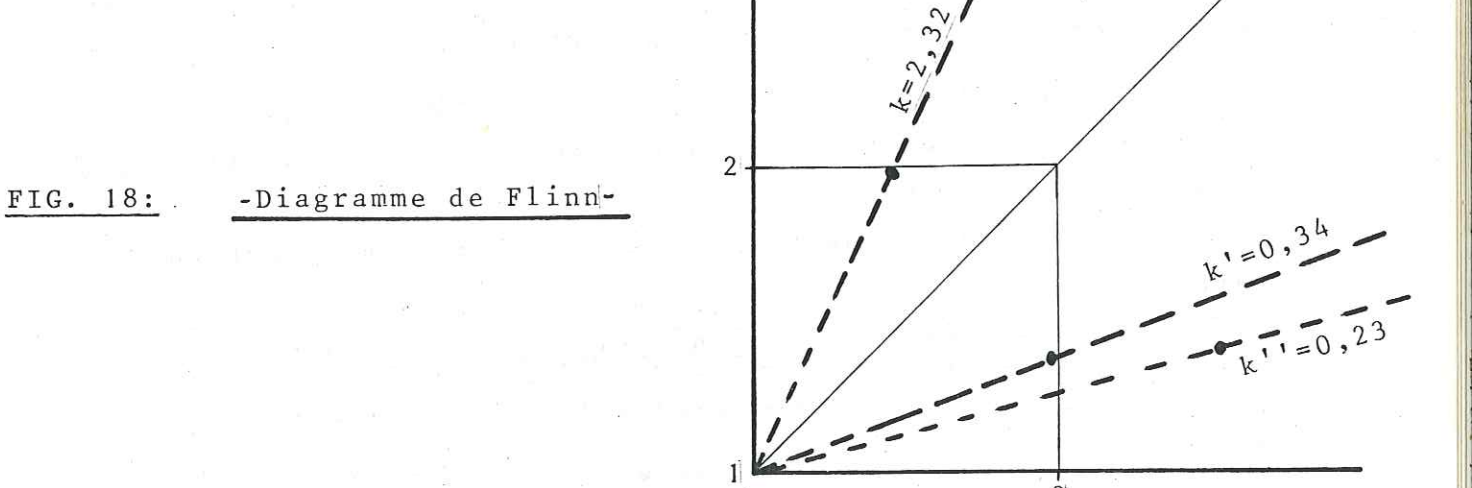
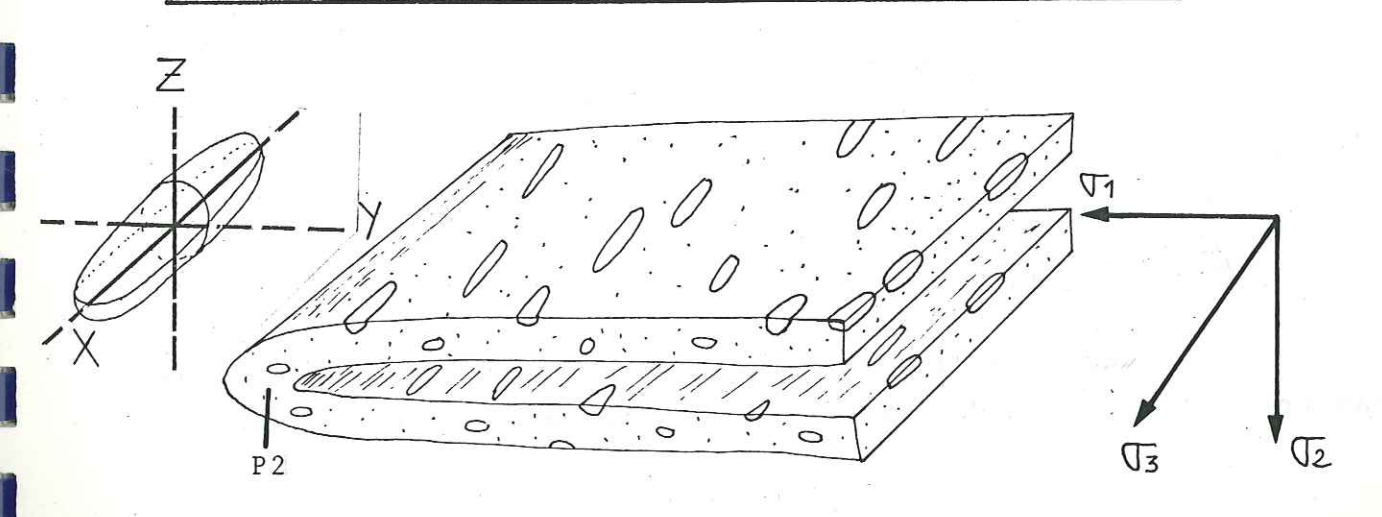


FIG. 19:
-Schéma interprétatif des allongements de phase II-



Nous avons ainsi la valeur de k pour les conglomérats "inférieurs" :

$$\frac{L}{1} = \frac{2.7}{1.4} \simeq 1.93$$
,  $\frac{1}{h} = \frac{1.4}{1} = 1.4$ 

$$k = \frac{1,9-1}{1,4-1} = 2,32$$

Replacé dans le diagramme de Flinn (<u>fig. 18</u>), nous pouvons donc caractériser cet étirement des galets du conglomérat de base comme étant du à un allongement associé de la constriction.

Les conglomérats moyens : une étude a été faite sur les conglomérats d'un niveau un peu supérieur, dans le vallon d'Arpire, au Nord du Massif du Grand-Fond.

Les éléments sont de taille centimétrique à décimétrique, et la matrice calcaire est prédominante, (<u>fig. 17B</u>), l'allongement est NO40 :

L'échantillon moyen présente les caractéristiques suivantes :

- section perpendiculaire à l'allongement :
  - . largeur parallèle à  $S_2 = 2,03 = 1$
  - . hauteur perpendiculaire à S2 = 1 = h

à S2:

- section parallèle à l'allongement et perpendiculaire à S2 :
  - . longueur = 2,74 = L
  - hauteur = 1 = h

d'où: 
$$\frac{L}{1} = 1,35$$
,  $\frac{1}{h} = 2,03$   
 $k' = \frac{1,35-1}{2-1} = 0,34$ 

Placé dans le diagramme de Flinn, cette valeur du paramètre indique une déformation en aplatissement (fig. 18).

Nous remarquerons cependant que les conglomérats de cet exemple sont situés au même endroit stratigraphiquement que les conglomérats de l'exemple précédent, et sont en quelques sortes une variation "verticale" de lithologie.

On peut donc penser que ces deux conglomérats ont subi les mêmes contraintes, et qu'ils devraient montrer un mê-me type de déformation.

Il faut sans doute voir là l'expression du caractère même du conglomérat : dans le premier exemple la matrice était très réduite, dans le cas présent c'est le contraire. On peut supposer ici que c'est la matrice qui absorbe la plus grande partie de la déformation. On voit en effet en lame mince que le ciment a totalement recristallisé, les galets étant peu fracturés ou peu recristallisés. On aurait là un "effet de matrice", avec déformation principale du conglomérat par dissolution - recristallisation du ciment; l'aplatissement des galets peut alors être imputé à leur forme originelle, lors de leur mise en place dans le conglomérat; la valeur de l'étirement ainsi calculée est donc faussée, tout au plus pourra-t-on en garder la direction.

3d2 - Les conglomérats de l'Unité du Roignais-Versoyen : les mesures ont été effectuées dans le conglomérat qui affleure au niveau des Combes, dans l'anticlinal de Crêt Bettex (fig. 7). Les éléments sont de taille centimétrique à décimétrique, et la matrice calcaire y est prédominante; l'étirement apparent est toujours NO40.

L'élément moyen calculé à partir des mesures, présente les caractéristiques suivantes :

- section perpendiculaire à l'allongement :
  - . largeur parallèlement à  $S_2 = 2.55 = 1$
  - . largeur perpendiculairement à So = 1 = h
- section parallèle à l'allongement et perpendiculaire
  - . longueur = 3,44 = L
  - . hauteur = 1 = h

$$d^{t}$$
 où :  $\frac{L}{1} = 1,35$  ,  $\frac{1}{h} = 2,55$ 

 $k^{tt} = 0,23$ 

On a là aussi un indice de déformation apparente en aplatissement (fig. 18).

Il est tout à fait marquant pour ce conglomérat de l'Unité du Roignais - Versoyen qu'on ait sensiblement la même valeur de déformation que pour le conglomérat du deuxième exemple de l'Unité de Moûtiers. On gardera donc les mêmes remarques quant à "l'effet de matrice"; peut-être peut on tout de même reconnaître une légère évolution du type de déformation : de l'allongement en constriction pour l'Unité de Moûtiers, à de l'aplatissement dans l'Unité du Roignais-Versoyen (fig. 18), avec comme meilleure définition du style de déformation le conglomérat à matrice réduite.

### 3e - Conclusion sur les allongements de phase II :

On a vu, tant avec les minéraux qu'avec les galets de conglomérats, que l'allongement de phase II est parallèle aux axes de plis P2. On peut donc admettre en toute hypothèse une déformation en "rouleaux" dans une zone de cisaillement horizontal pour l'explication de ces plis (fig. 19).

Un tel modèle ne va pas sans difficulté, en raison notemment du très fort étirement parallèlement aux axes de plis N040 (k  $\simeq$  2,5). On ne peut en effet admettre un allongement aussi grand des unités parallèlement à la chaîne, et on doit alors faire réagir d'autant la matrice des conglomérats pour compenser l'étirement des galets.

## 4 - Les grands contacts de phase II:

Il est d'usage d'attribuer à la phase synschisteuse donnant les plis couchés au Nord-Ouest (phase II) la mise en place des grandes unités structurales. Nous verrons dans la description de différentes structures qu'il ne faut cependant pas négliger la part des rejeux tardifs sur l'agencement actuel de

ces unités.

Nous retiendrons cependant le découpage des grandes unités comme s'étant fait lors de la phase II :

. les contacts majeurs (entre Delphino-Helvétique et Unité de Moûtiers, Unité du Roignais-Versoyen et Zone briançonnaise) sont des plans pentés de 30 à 40° au SE empruntant la schistosité S2.

. Les contacts à l'intérieur de l'Unité de Moûtiers, et entre les Unités de Moûtiers et du Roignais-Versoyen tendent à être un peu plus pentés, et recoupent la S2.

On aura noté aussi la séparation en deux zones de l'Unité du Roignais-Versoyen :

- la zone à plis P2 NO40
- la zone à plis P2 N150 à N170 (<u>fig. 14</u>), un contact secondaire, mais de phase II, y sera associé (description plus loin).

#### 5 - Conclusion

La phase II est caractérisée par des déformations souples, postérieures à la foliation régionale. La schistosité S2 est une crénulation plan axiale des plis subisoclinaux qui déterminent la structure générale de la région.

Les allongements parallèles aux axes de plis permettent d'avancer l'hypothèse que la déformation s'est faite "en rouleaux", avec constriction perpendiculaire aux axes de plis.

Les grands contacts structuraux sont dans doute essentiellement de phase II.

#### D - La phase III:

La phase III est caractérisée par des structures très constantes d'une unité à l'autre :

## 1 - La schistosité S3 : fig. 20 :

La schistosité S3 est de même type que la schistosité S2 : c'est une schistosité de crénulation ("strain slip cleavage"), cependant un peu plus fruste, plus espacée (0,1 à 2mm), (fig. 21, photos 7 et 8).

A l'affleurement on la distingue de la schistosité S2 par son pendage : toujours très fort (voisin de la verticale); sa direction est très constante sur toute la région : elle reste voisine de NO2O.

La schistosité S3 est souvent mal exprimée (voire pas du tout) dans les niveaux calcaires. On voit là aussi un effet de recristallisation de la calcite.

#### 2 - Les plis P3: fig. 22:

La schistosité S3 est plan plan axial de plis P3, qui sont en général des ondulations, plus rarement des plis concentriques très ouverts, ou des plis en chevrons (<u>fig. 23</u>, photo 2).

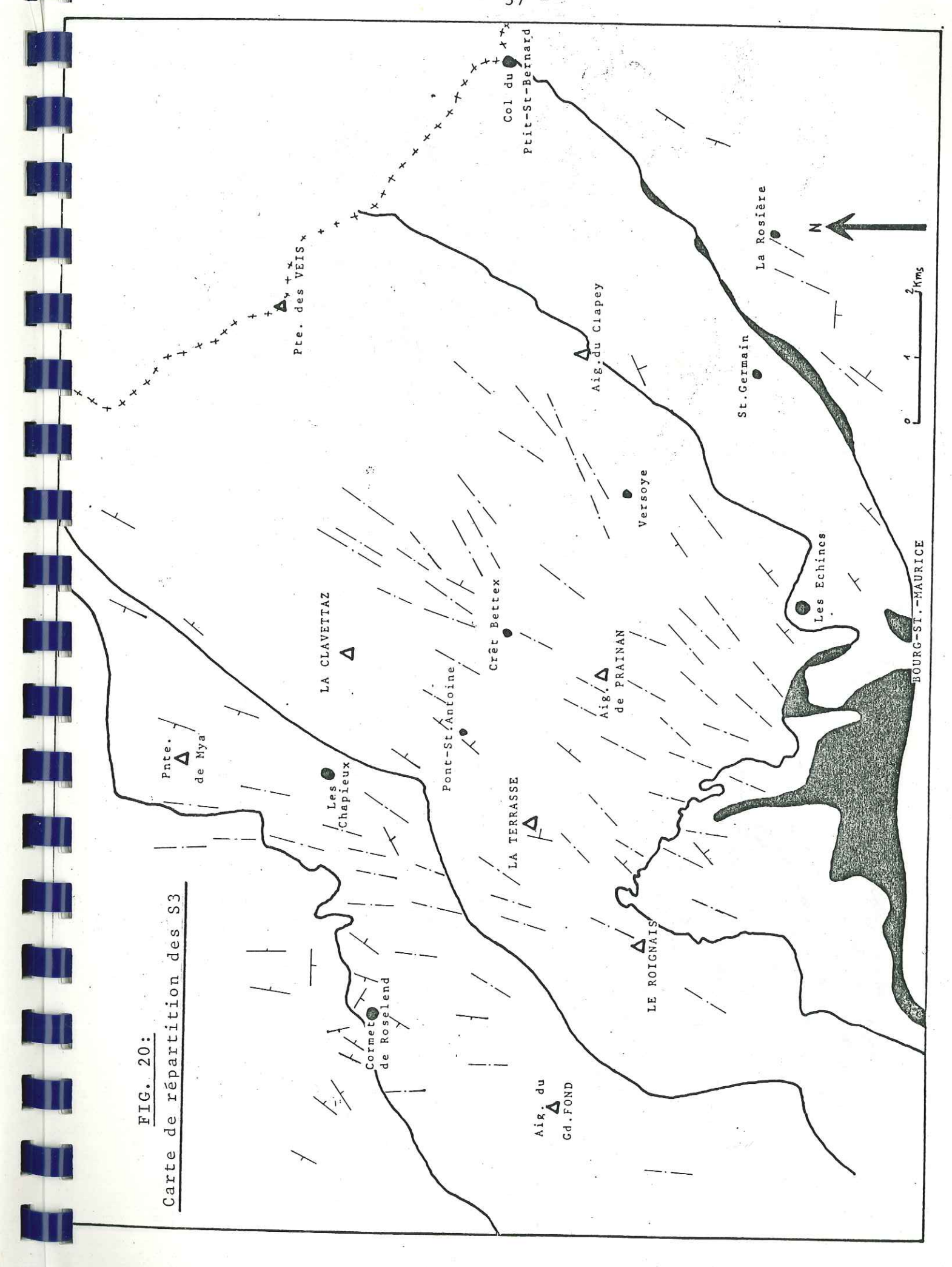
Ils sont d'échelle millimétriques (bandes de pliage) à hectométriques. On peut considérer en effet les anticlinaux de Pont-St-Antoine et de Crêt Bettex comme des plis P3 repris tardivement (cf. exposé plus loin.)

La direction des plis P3 est N010 à N030, et provoque souvent la confusion avec les plis P2 N040.

#### 3 - Les linéations L3:

3a - <u>Les linéations de crénulation et d'intersection des deux</u> schistosités de crénulation S2 et S3 est bien marquée par de très fines cannelures sur S2, parallèles aux axes de plis P3 (qui eux ne sont pas toujours bien visibles).

Lorsque les plis P2 et P3 sont coaxiaux, la distinc-



tion entre les linéations d'intersection L2 et L3 devient impossible. Elle est par contre tout à fait évidente dans les cas où les plis P2 sont de direction N170. L'angle entre les deux linéations est alors suffisant pour observer très nettement la postériorité de linéation L3 N020, de direction constante sur les deux flancs des plis P2 : (fig. 24; photo 1).

3b - <u>Les cristallisations de phyllites</u>: les cristallisations de phyllites liées à la phase III ne sont pas évidentes. On observe une fréquente réorientation des phyllites de la phase II.

3c - <u>Les allongements</u>: aucun allongement n'est attribuable à cette phase.

#### 4 - Conclusion

La phase III est bien individualisée, avec une schistosité de crénulation S3 subverticale associée à des ondulations. Aucun allongement n'y est associé.

Cette phase marque ainsi un net changement du style de déformation de la région : la schistosité passe de subhorizontale à verticale, le plissement souple disparait.

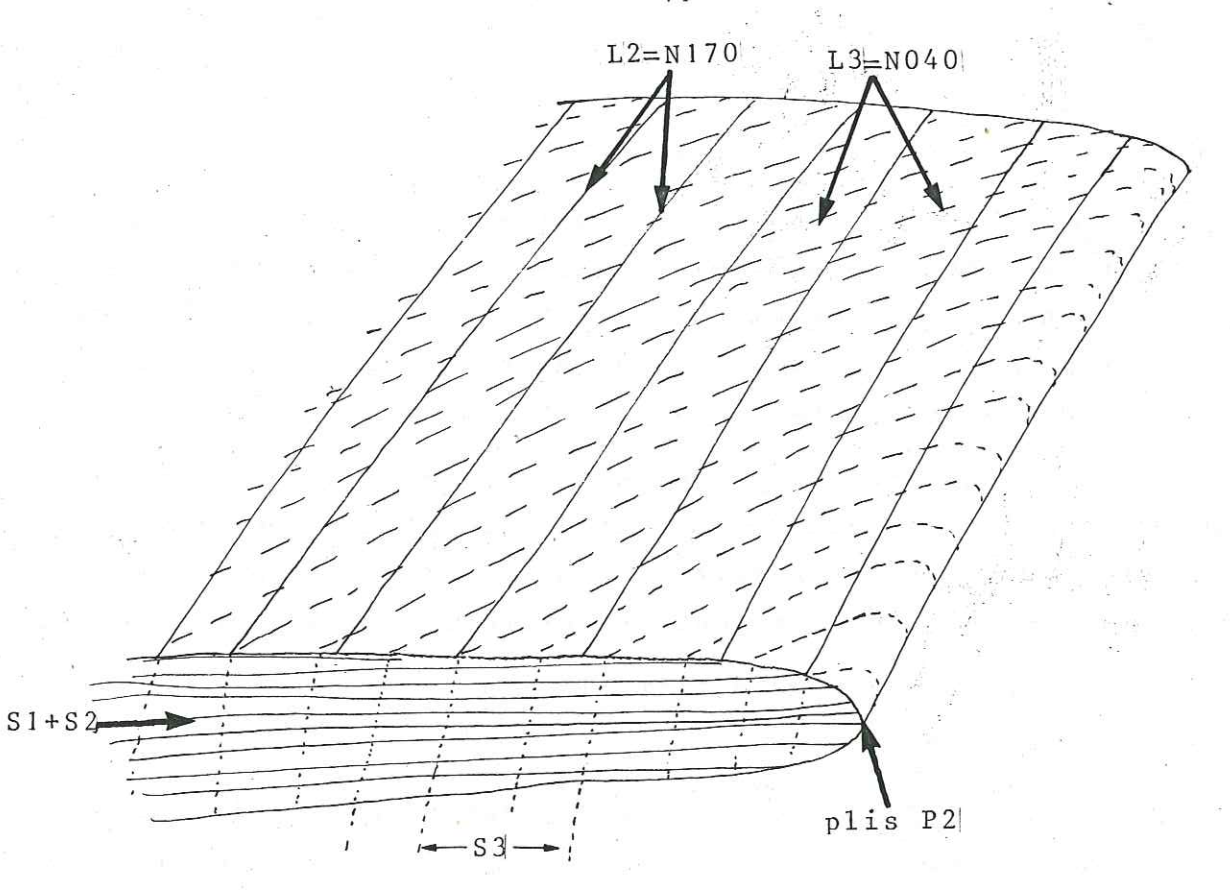
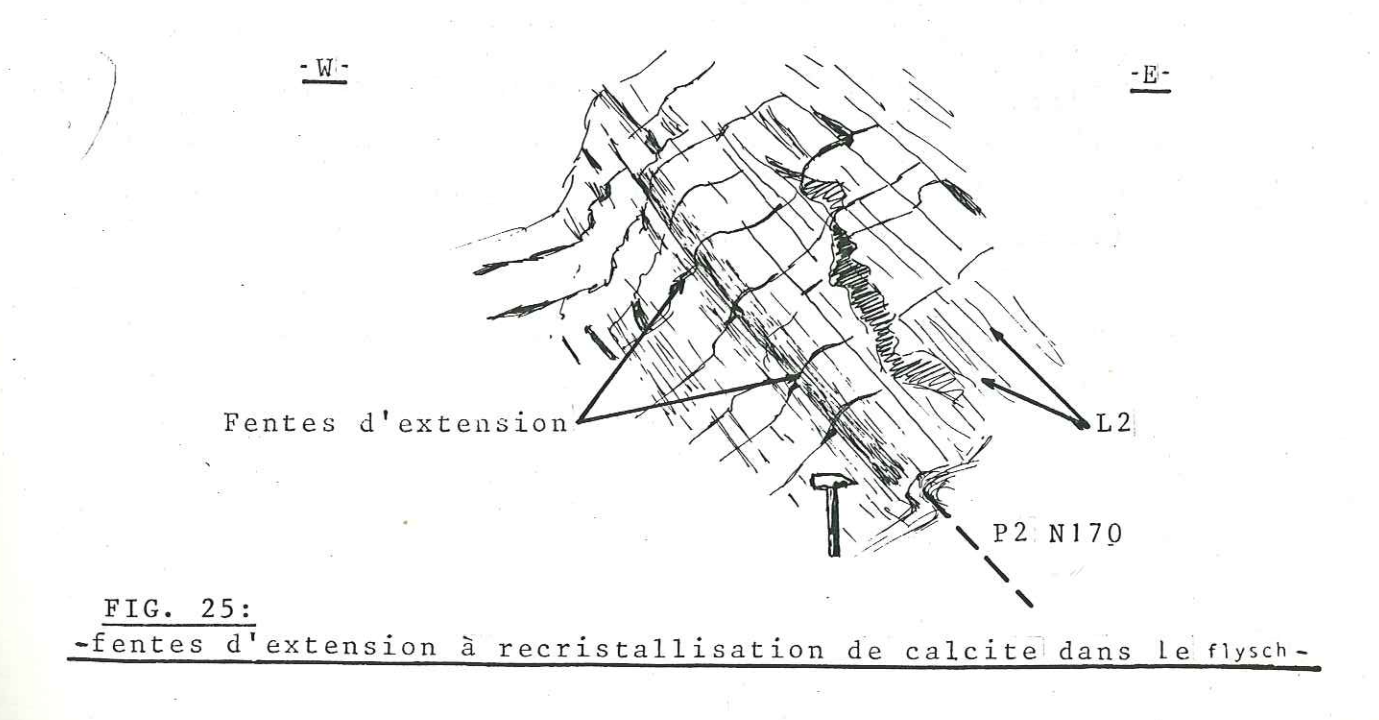


FIG. 24: -Linéations L3 sur pli N170-

Ш



#### E - Les phases tardives :

Nous regrouperons dans les phases tardives toutes les expressions tectoniques postérieures à la phase III; ce sont des phases non associées à une schistosité; on peut cependant avoir des ondulations qui localement s'accompagnent d'une fracturation fruste de plan axial.

Ces différentes phases caractérisent des déformations de style superficiel, essentiellement rupturelles. Leur chrono-logie relative n'est pas facile à établir, et il ne faut pas exclure la possibilité de structures différentes mais synchrones.

Nous retiendrons à titre indicatif :

Phase IV A: la plus importante des phases tardives :

- Ce sont de grandes ondulations et même de grands plis concentriques ≃ NO40 de taille déca à kilométrique, qui évoluent en plis-fracture.
- Ce sont aussi des rejeux sur la schistosité S2 en faille inverse.

Phase IV B: surtout bien exprimée dans l'Unité du Petit-St-Bernard par des ondulations  $\simeq$  N150 décamétriques, on y associera les plis en chevrons et kinks de direction N100 à N150, de taille centimétrique à décamétrique.

<u>Phase IV C</u>: c'est la phase "d'extension relative", à laquelle j'associe des fentes d'extension NO50 à E-W (<u>fig. 25</u>, <u>photo 3</u>), des boudinages, et certains rejeux en faille normale (cristallisations associées).

 $\underline{\text{Phase IV D}}$  : c'est le réseau de fractures N110 à N130 qui hache la région.

D — Le métamorphisme : un métamorphisme de type "schistes verts" est présent sur toute la région étudiée, oblitérant les faciès pétrographiques primaires par des recristallisations de calcite et de quartz, des néoformations d'albite, de séricite, de chlorites. Les éventuels vestiges organiques sont effacés ou rendus méconnaissables.

La paragenèse commune des calcschistes est :

- calcite
- quartz
- chlorite
- micas blancs
- albite

La "pauvreté" en minéraux propres à une étude détaillée du métamorphisme nous limite à la description suivante : fig. 26.

- 1 <u>La calcite</u> présente dans la plupart des séries du Trias moyen au flysch p.p.d.; elle recristallise à chaque épisode tectonique synschisteux.
- 2 Le quartz : le quartz détritique est présent des séries houillères aux séries flysch p.p.d. Il est sous forme de grains fins dispersés dans une matrice calcaire ou schisteuse, en grosses amandes dans les quartzites du Permo-Trias, ou formant les quartzites massifs du Werfénien. Son comportement sera bien sûr différent face aux contraintes tectoniques en fonction de la matrice et de la taille des grains :
- grains ≤ 1mm : les petits grains dispersés dans une matrice sont peu touchés par les déformations (effet de matrice); il est donc difficile de dire s'ils ont ou non recristallisé. Dans les quartzites Werféniens, les grains semblent avoir recristallisé lors de la phase I, voire de la phase II, avec un léger aplatissement marquant la schistosité S2. La schistosité S3 s'exprime de manière fruste par des fractures, donc sans recristallisation de guartz.

# Chronologie des cristallisations: FIG. 26:

			22 40		7	
	· ·	ф0	ф 1	ф2	ф3	ф4
	calcite	er f	?			
	quartz micas blancs	?5	2			
	chlorite		?		-	
	albite	e r <sup>e</sup>	2			
	amphibole chloritoïde	?	? ?	?	?	
	épidote	- ,			25-	,
	tourmaline		*	E	-	
٠	grenat			an âr		

- grains moyens : lmm > taille > lcm : ces grains ont tendance à se briser lors de la phase II, avec un faible arrangement marquant la schistosité S2. La schistosité S3 s'exprime toujours par des fractures.
- <u>Gros grains</u>: <u>taille > 1cm</u>: les amandes de quartz du Permo-Trias montrent des cristallisations orientées ("fabriques de quartz") malheureusement inexploitables car elles sont anté-alpines; le métamorphisme alpin dans notre région n'est pas assez fort pour effacer ces orientations à l'intérieur des amandes.

La phase II s'y exprime cependant fort bien, et forme des bandes de cisaillement créant des sous-grains qui marquent la schistosité S2, souvent associées à des bandes de pliage (fig. 27, photo 13).

#### 3 - Les micas blancs:

<u>Phase I</u>: ce sont les minéraux soulignant le mieux la schistosité SI; ils sont presque partout parallèles au microlitage stratigraphique.

<u>Phase II</u>: des micas de phase II plus gros apparaissent parfois dans les décollements créés par la schistosité S2, notamment lorsque la S2 transpose la S1, ainsi que dans les fentes de tronçonnement syn à post phase II. Ils ont en général une orientation préférentielle marquée.

 $\underline{Phase}\ \underline{III}\ :\ de\ rares\ petits\ micas\ blancs\ peuvent$  se former le long des surfaces S3.

- 4 <u>La chlorite</u>: elle est présente partout et étroitement associée aux micas blancs.
- 5 <u>L'albite</u>: très présente dans les roches vertes du Versoyen, on la trouve dans presque tous les faciès considérés :

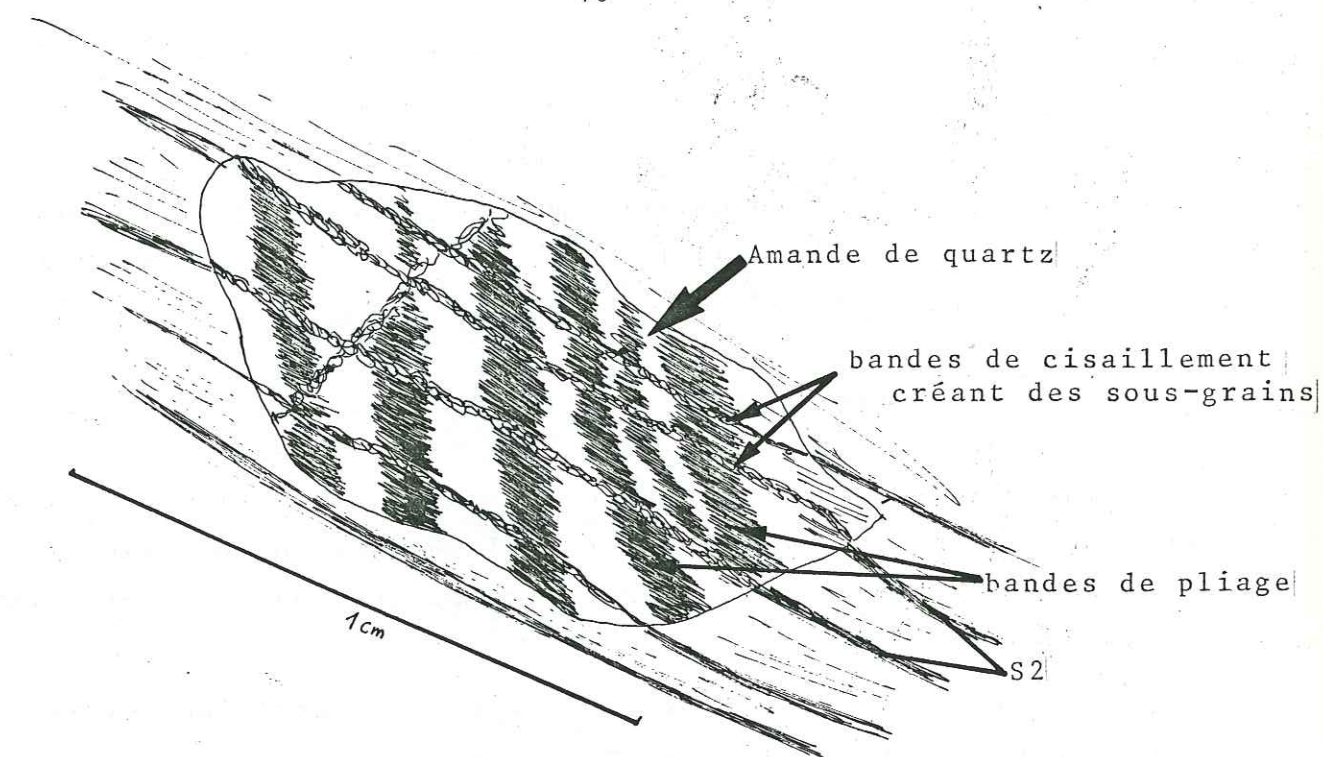


FIG. 27:
-Amande de quartz du Permo-Trias affectée par la phase II(1umiére pôlarisée)

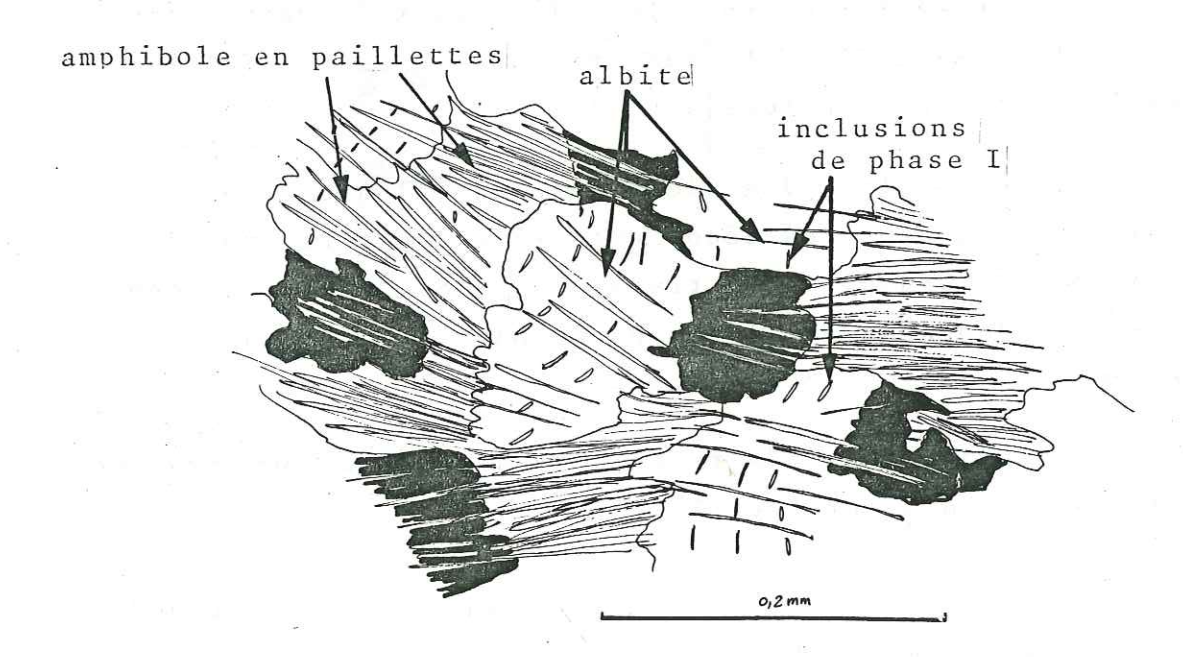
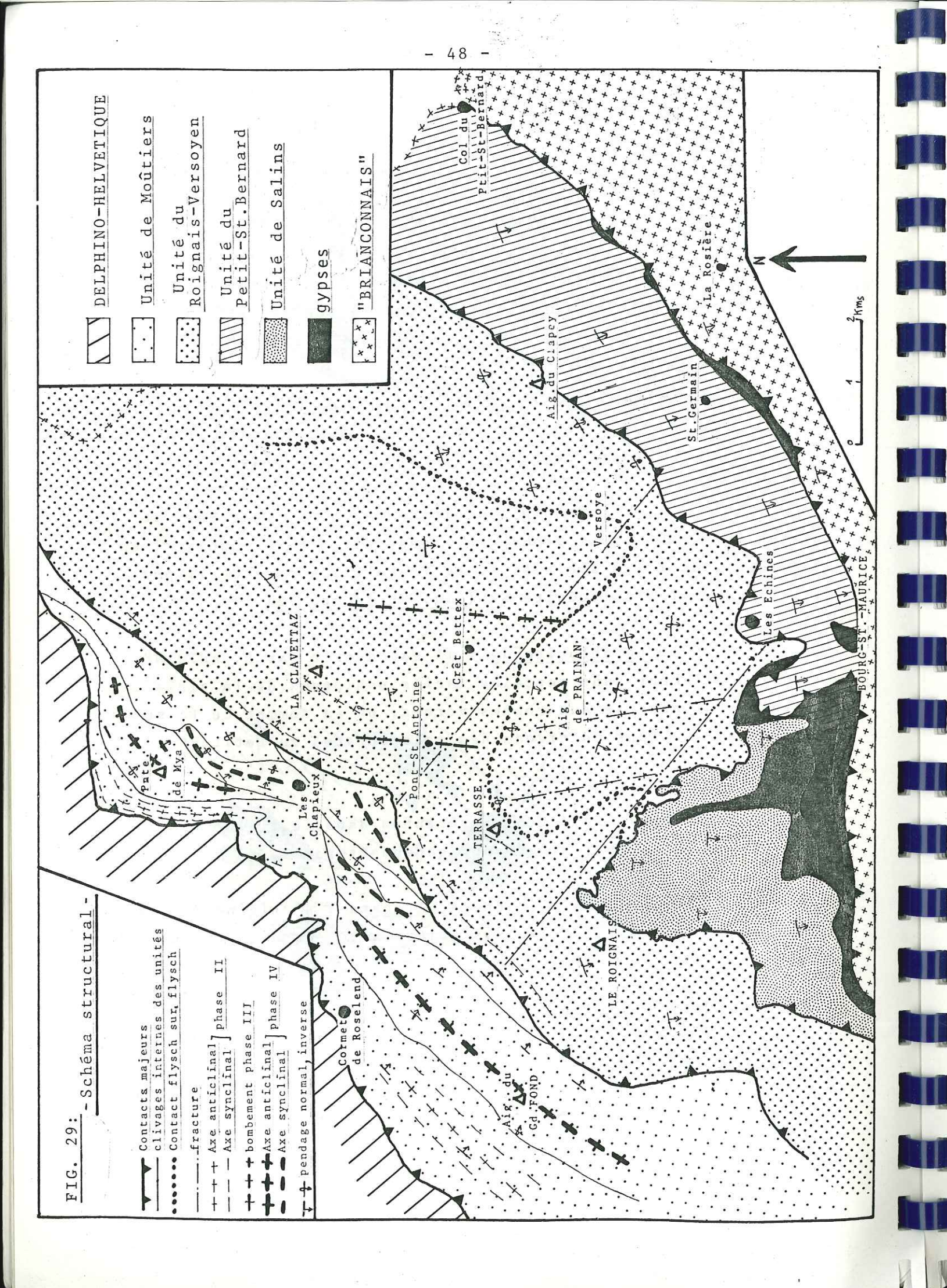


FIG. 28:
-Cristaux d'albite dans les roches du Versoyen(1umiére pôlarisée)

- en gros cristaux xénomorphes dans les roches

  vertes du Versoyen : à inclusions hélicitiques (actinote,épidote: J.L.LASSERRE-C.LAVERNE, 1976)
- pouvant être attribuées à phase I. Ces gros cristaux sont traversés de néoformations de phyllites et pail-lettes d'amphibole de Phase II marquant la schistosité S2: on peut donc les admettre comme post phase I, anté phase II, fig. 28, photo 12.
- en petits cristaux dans les autres séries : montrant aussi parfois des inclusions de phase I, mais semblant pour la plupart recristallîser lors de la phase II.
- 6 <u>L'amphibole</u>: omniprésente dans les roches vertes du Versoyen, on la trouve en fines paillettes de phase I en inclusions dans les albites, et recristallisée lors de la phase II, marquant la schistosité S2 (fig. 28, photo 12).
- 7 <u>Le chloritoïde</u>: il est décrit par P. ANTOINE occasionnellement dans certains faciès schisteux de la série du Versoyen associé aux roches vertes, ou au sommet de la série, ainsi que dans un niveau des calcschistes du Petit-St-Bernard.
- 8 <u>Les Epidotes</u>: présentes dans le flysch s.s., sous forme xénomorphe; elles sont cependant rares.
- 9 Tourmaline, sphène, grenats: d'origine détritique, ils se comportent comme des objets antétectoniques, et sont fracturés et tronçonnés, photo 9.



# III - ANALYSE STRUCTUROLOGIQUE ET CINEMATIQUE : Fig. 29 : schéma structural.:

<u>Notations</u>: Les projections stréréographiques sont efefectuées sur canevas de Wulff, dans l'hémisphère inférieur. Chaque point correspond en général à une station.

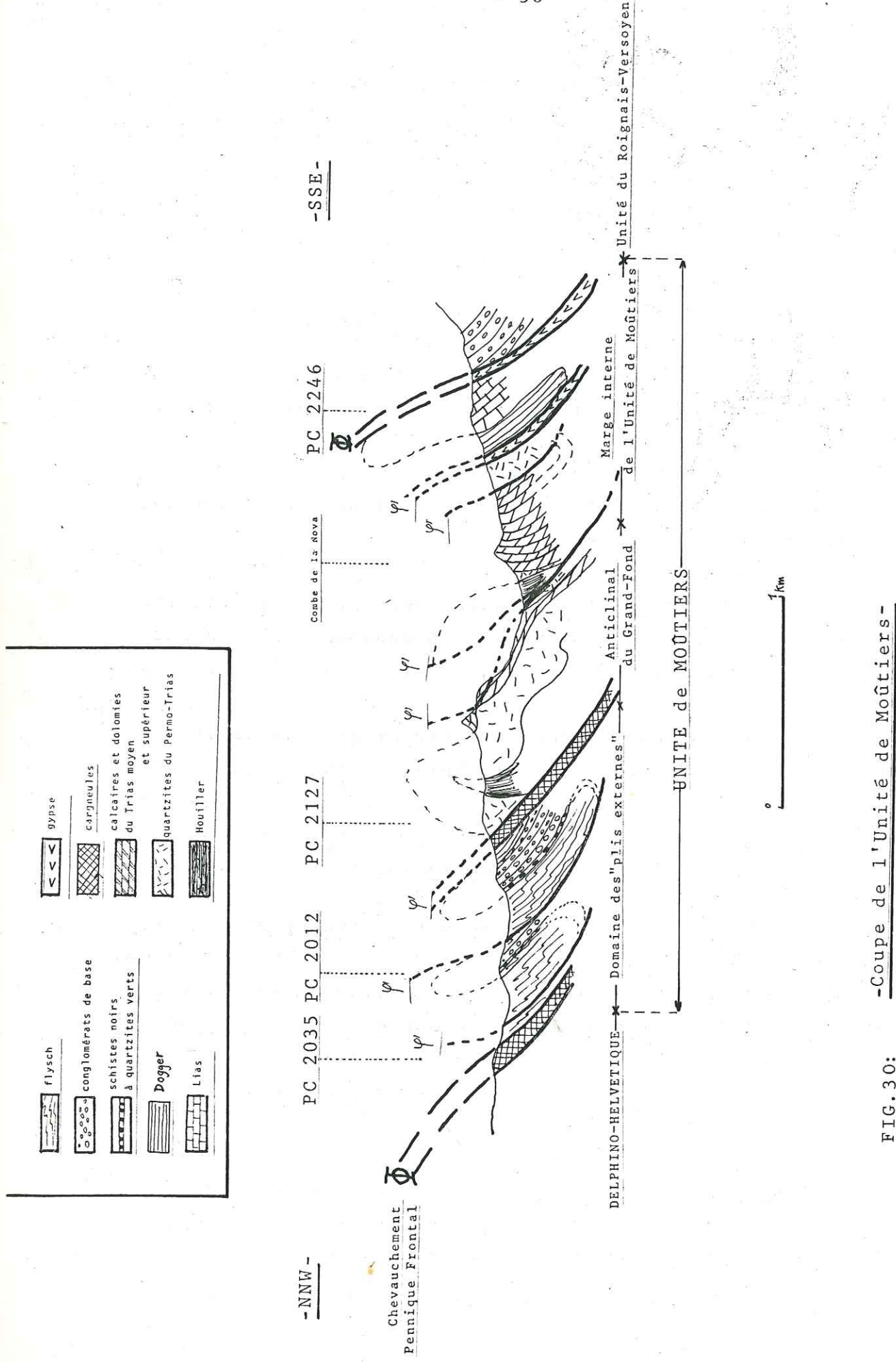
#### A- L'Unité de Moûtiers : fig. 30 :

Au contact avec le "Delphino-Helvétique", on peut la schématiser par trois ensembles parallèles à la chaîne alpine :

- le domaine des "plis externes", présentant une suite de plis très serrés, écaillés, où affleure le "flysch" pour l'esentiel.
- un secteur intermédiaire montrant un anticlinal permotriasique surmonté des Brèches du Grand-Fond, puis d'une épaisse série de "flysch" (s.l.).
- un secteur interne ne montrant que des séries écaillées antérieures au "flysch" (s.l.), bordant l'Unité du Roignais-Versoyen.

#### 1 - Méthode d'étude de cette unité:

L'aspect peu cohérent des structures de cette unité, le grand nombre de fracturations de toutes directions et de tous genres, la chronologie incertaine de ces fracturations, ont fait que sur le terrain l'Unité de Moûtiers a été étudiée en dernier, après que les phases synschisteuses et postérieures aient été définies dans le secteur relativement beaucoup moins tectonisé qu' est l'Unité du Roignais-Versoyen. Pour la clarté de l'exposé je décrirai cependant la Zone des Brèches de Tarentaise des domaines "externes" vers les domaines "internes". Seules quelques structures particulières de l'Unité de Moûtiers seront décrites afin d'en tirer une vue globale de la déformation de cette zone.



## 2 - Le domaine des "plis externes" :

C'est le flysch s.l. qui affleure pour l'essentiel, chevauchant au Nord l'Unité Delphino-helvétique ( "Chevau-chement Pennique Frontal", souligné par des alignements de cargneules).

Une série de mesures a été effectuée dans le flysch p.p.d. entre le Cormet de Roselendet les Chapieux; plusieurs faits en ressortent : fig. 31 :

- tout d'abord la grande dispersion des microstruc-
- Les  $\mathbf{P}_2$  et les  $\mathbf{L}_2$  : ils sont parallèles aux allongements de phase II;

on retrouve une famille de  $L_2 \sim NO35$  à plongement variant du SW au NE : on doit voir là des dispersions sur la  $S_2$  par glissements feuillets sur feuillets, et une famille mal définie  $N \sim 140$  devant correspondre aux séries inverses du flysch.

- Les  $\mathbf{L}_3$  : les linéations  $\mathbf{L}_3$  sont dispersées préférentiellement sur deux plans :

un plan  $\sim$ N010-90, qu'on assimilera à la S $_3$ . un plan  $\sim$ N070-30 SE, qu'on assimilera à la S $_2$ .

- Les  $\mathbf{S}_2$  et les  $\mathbf{S}_3$  semblent dispersées de façon diffuse autour d'un axe N140 à 180 plongeant 30 degrés au sud.
- Certaines microstructures présentent des directions totalement anarchiques.

On retiendra que ce domaines des plis externes est fortement touché par une ou plusieurs phases tardives à la phase III. On observe des rejeux sur la schistosité  $S_2$  et sur la schistosité  $S_3$ , ainsi que des ondulations N140 à N180 intéressant les  $S_2$  et  $S_3$ .

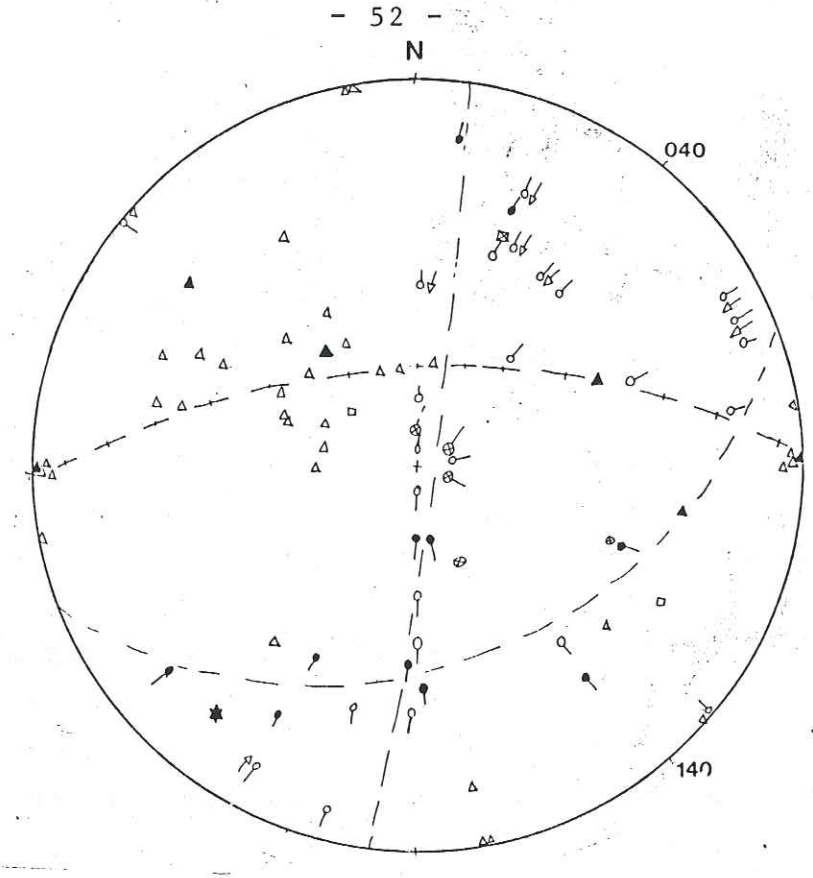
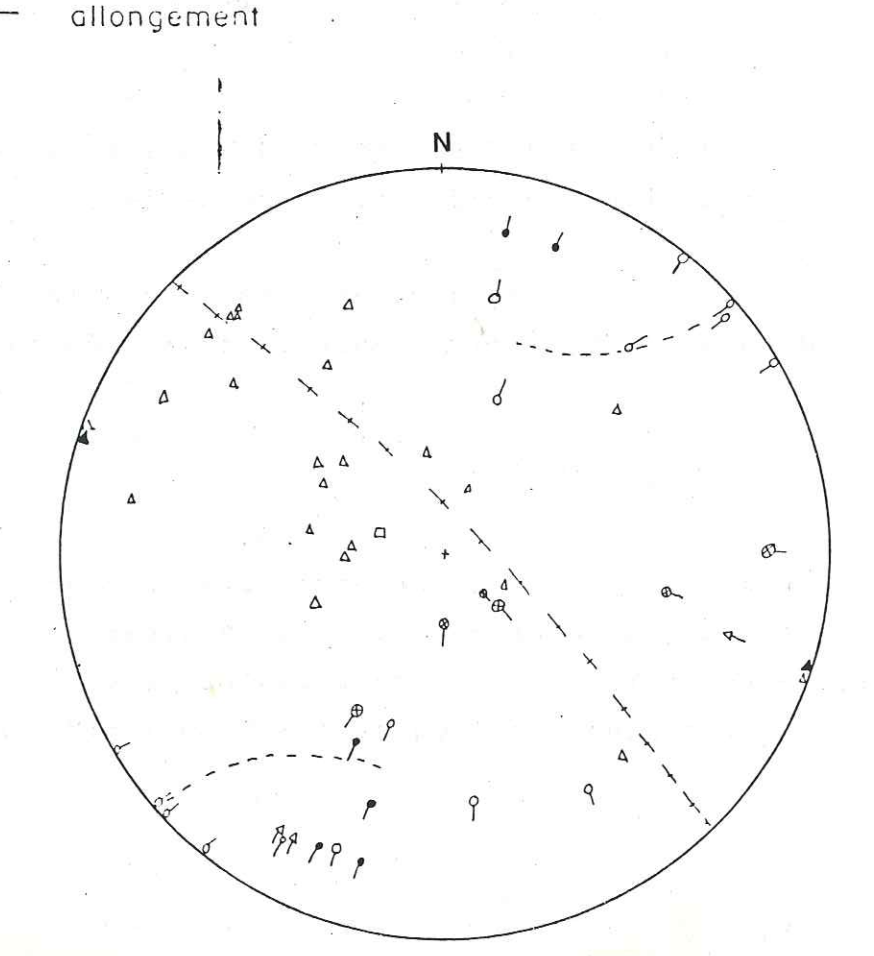


Fig. 32



D'autre part il faut signaler au proche contact avec 1'Unité Delphino-helvétique certaines verticalisations de la schistosité  $S_2$ , ainsi que la présence de petits plis en forme de champignon qui peuvent être expliqués par des torsions de schistosité dans une zone cisaillante.

# 3 - <u>L'anticlinal du Grand Fond (ou domaine Portetta - Grand-Fond</u>):

L'ossature Permo-Triasique du Massif du Grand Fond présente la forme d'un anticlinal de direction NO45 à NO50 dans le secteur étudié. Nous avons vu que cette direction de plissement est typique de la phase II. Les mesures de terrain faites sur le substratum et le flysch sur les deux flancs de l'anticlinal (du Col de Bresson à la terminaison NE du massif) nous porte cependant à envisager une tectonique bien postérieure à la phase II : fig. 32 :

- on voit nettement la schistosité  $\mathbf{S}_2$  dessiner l'anticlinal, donc  $\mathbf{S}_2$  lui est antérieure.
- les linéations  $L_2$  sont assez dispersées en partie par les plis  $P_3$  (petit cercle).
- les  $L_3$  prennent des plongements vers le Nord dans le flanc Nord de l'anticlinal au niveau de l'Aiguille du Grand Fond, semblant ainsi "mouler" la structure.

Ceci nous permet d'attribuer en grande partie tout au moins le plissement de direction ∿NO45 donnant l'anticlinal du Massif du Grand Fond à une phase postérieure à la phase III.

Les linéations  $L_3$  marquent une dispersion tardive très semblable à la dispersion des  $L_2$ . D'autre part l'anticlinal du Grand-Fond n'est qu'un grand bombement NO40 à NO50 à plan axial à peu près vertical qui se pince vers le NE (dans notre région) pour prendre un déversement au Nord-Ouest. Ce style de plissement n'a rien à voir avec le plissement subisoclinal couché de phase II.

## 4 - La marge interne de l'Unité de Moûtiers :

Ce domaine comprend les écailles du Col oriental du Grand Fond, du PC 2275 (dans la Combe de la Nova), du Sud de la Fauge (PC 2053) et de Crêt Baudin. Seul le "substratum" y affleure. Les couches schisto-gréseuses du Houiller jouent un rôle important dans le déplacement de ces écailles. Les microstructures relevées dans chacune de ces écailles sont tout à fait comparables.

Nous étudierons particulièrement "l'écaille de la Fauge", qui présente une disposition en synclinal pincé (fig. 33, photo 19) de direction NO40.

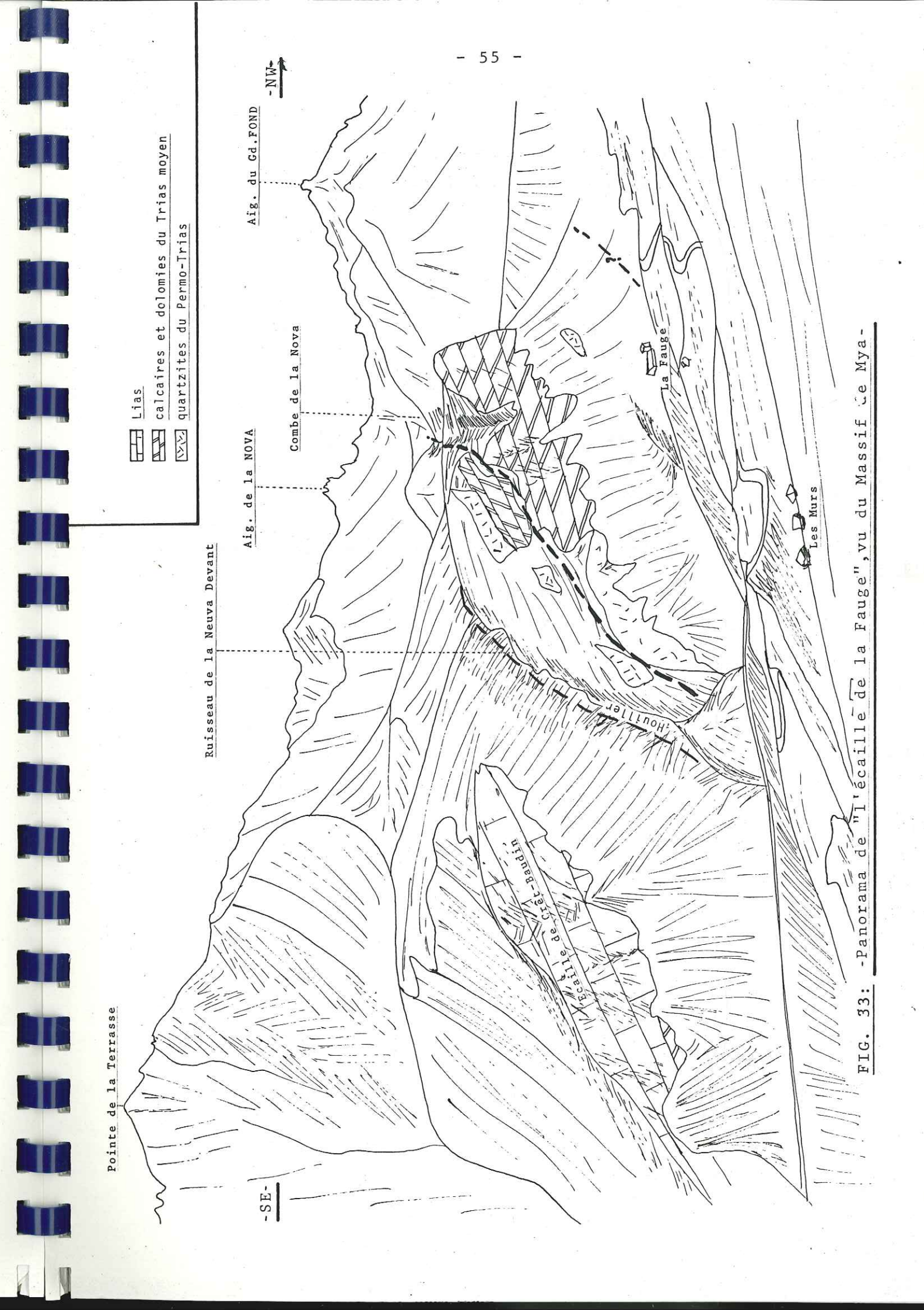
#### H. SCHOELLER y décrit la série suivante :

- les quartzites du Permo-Trias.
- des schistes gris satinés ou verts alternant avec des bancs de dolomies de 2 à 5 cm d'épaisseur, formant les couches de passage aux quartzites.
- des dolomies noires (15m), grises (15m), calcaires et dolomies en très gros bancs, des calcaires finements cristallins semblables à ceux du lias.
- des cargneules terminent la succession.

C'est bien sûr dans les quartzites et les schistes qu'ont été faites les mesures microtectoniques :

## . Flanc normal : fig. 34 A :

- les linéations  $\mathbf{L}_2$  et  $\mathbf{L}_3$  sont dispersées sur la  $\mathbf{S}_2$  moyenne.



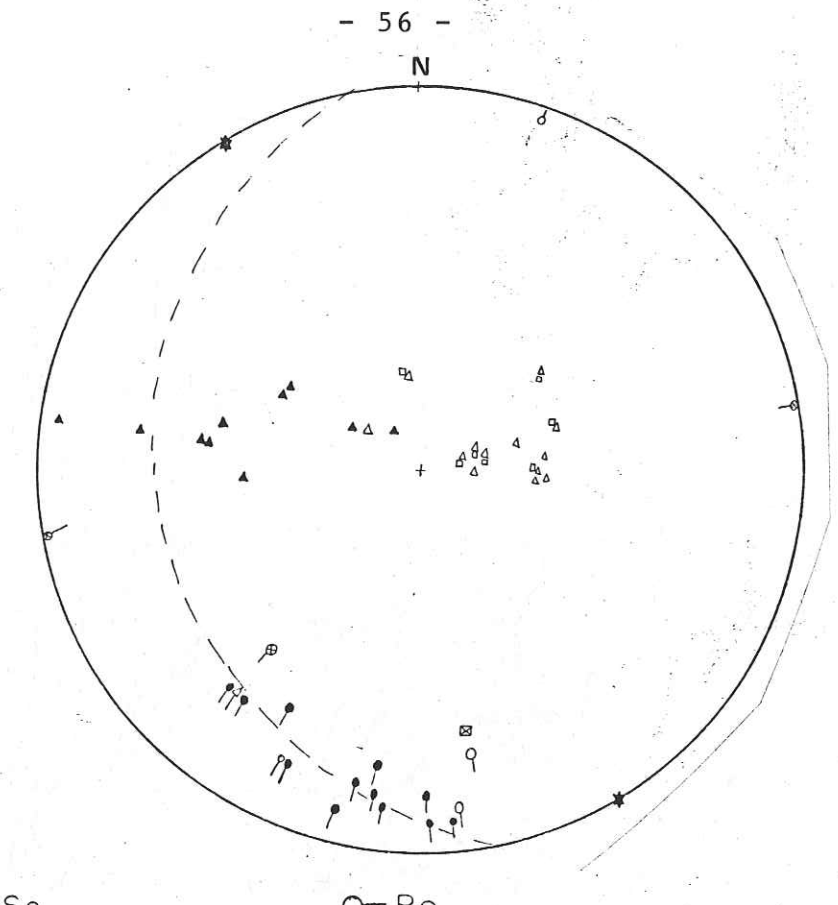


Fig.34 A

0-P2

N SI

P<sub>3</sub>⊗−P<sub>4</sub>

Δ S 2

53

---- Plan de dispersion des linéctions

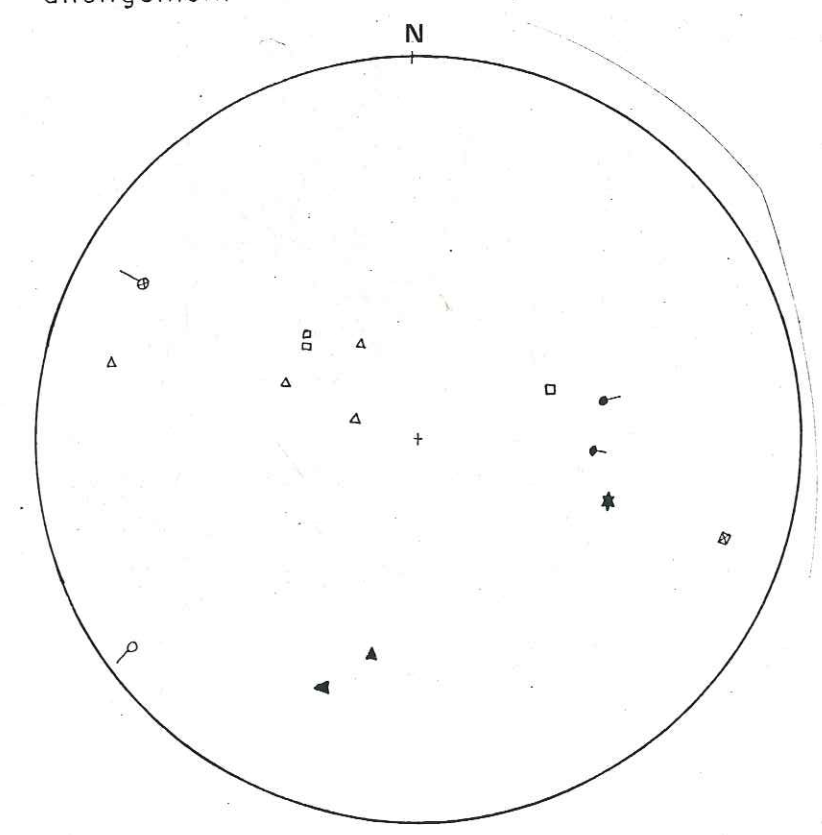
M S4

++++ Plan de dispersion des schistosités

Fente d'extension

Fig.34B

allongement



- les S, sont peu dispersés.
- les  $\mathbf{S}_3$  décrivent les variations de lithologie (réfraction de schitosité) nettes à l'affleurement.

#### . Flanc inverse : fig. 34 B :

- Toutes les microstructures de phase II et III apparaissent tournées en bloc de 70° de façon senestre autour d'un axe N065-40E par rapport aux microstructures de flanc normal.

Cet exemple est d'importance car il marque bien que l'écaillage de type "la Fauge", et sans doute de toute la marge interne de l'Unité de Moûtiers, s'est fait, ou tout au moins à fortement rejoué, postérieurement à la phase III.

#### 5 - Le Massif de la Pointe de MYA:

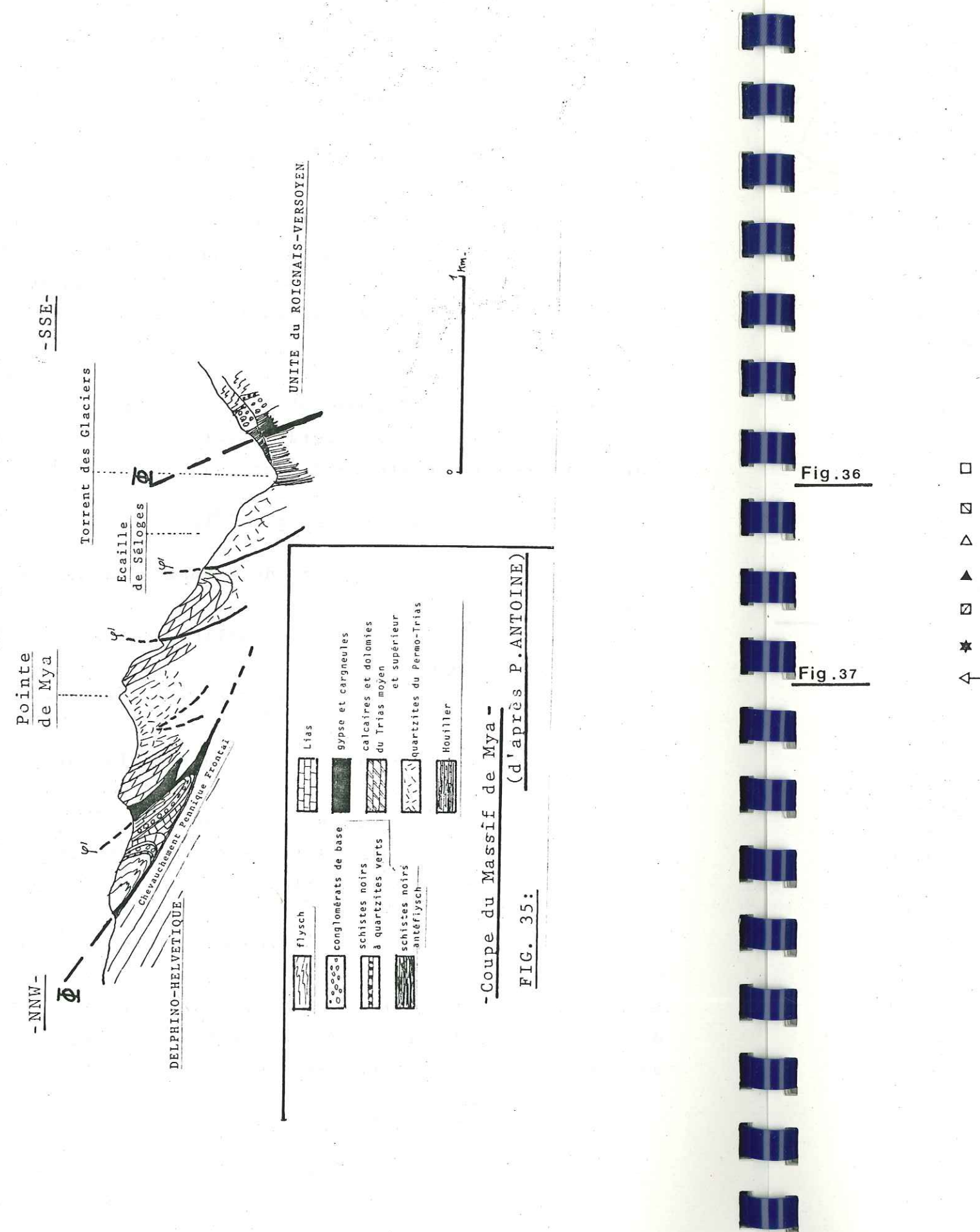
Ce massif comprend deux ensembles structuraux majeurs : fig. 35, photo 14 :

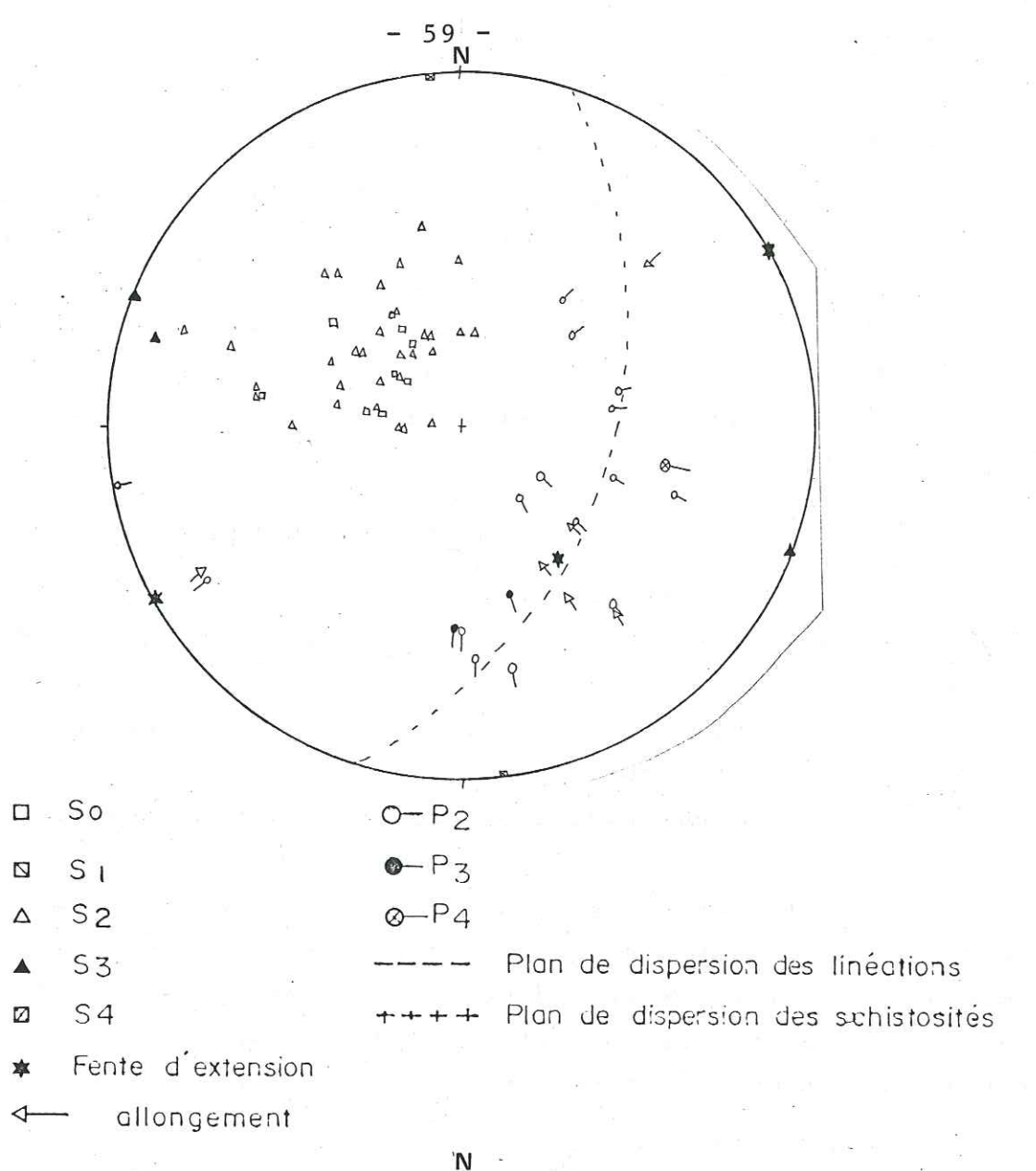
- une zone de plis isoclinaux externes, où la série "flysch" est prépondérante.
- l'écaille de la pointe de MYA permo-triasique et triasique, présentant du NW au SE :
  - · un anticlinal à coeur permotriasique et à enveloppe du Trias moyen.
  - . un synclinal de Trias moyen.
  - une écaille de Permo Trias en position inverse (écaille de Séloges).

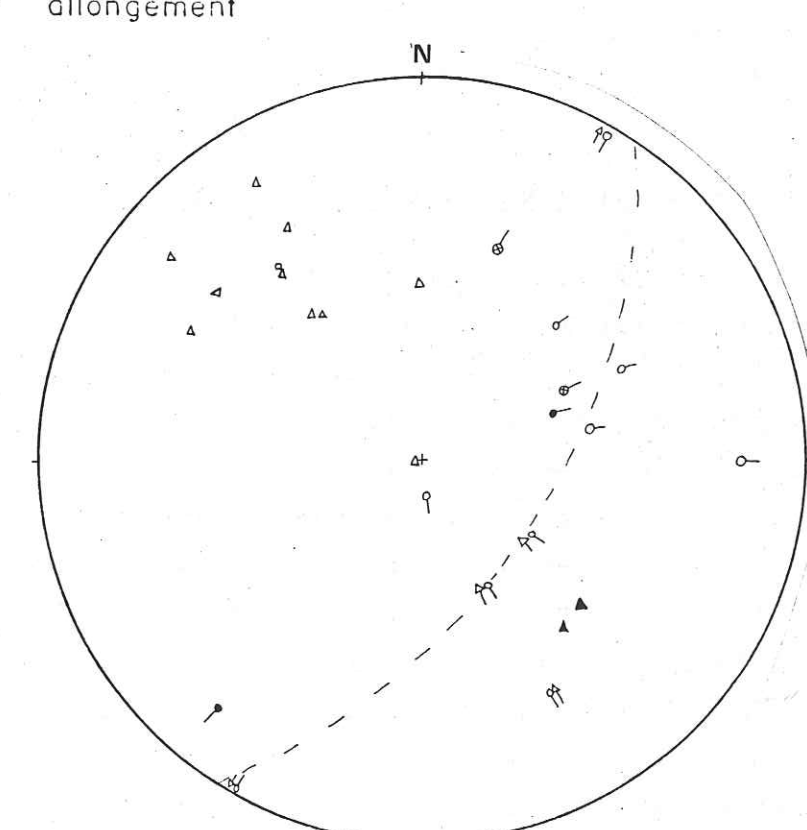
Les différentes séries sont biseautées et se laminent vers le Nord Est. Ce biseautage, et le contact peu penté avec l'Unité Delphino-Helvétique (~ 25 degrés au Sud-Est) font du Massif de la Pointe de Mya une sorte de lambeau de poussée au front de l'Unité du Roignais-Versoyen.

#### Etude microtectonique:

5a - <u>la zone des plis externes</u> : <u>fig. 36</u> :







- on note la faible dispersion des pôles de S2 le plongement étant toujours au Nord-Est;
- les linéations  $L_2$  sont réparties sur la  $S_2$  moyenne.

On doit voir ici essentiellement un rejeu "feuillets sur feuillets" sur la  $\mathbf{S}_2$  syn à post  $\mathbf{S}_2$ , aucun pli  $\mathbf{P}_2$  courbe n'ayant été observé, qui pourrait expliquer la dispersion des linéations  $\mathbf{L}_2$ .

### 5b - <u>l'écaille de la Pointe de MYA</u>: fig. 37:

Les mesures ont été faites essentiellement sur les niveaux permotriasiques de l'anticlinal de la Pointe de MYA et sur l'écaille de Séloges :

- on remarque en particulier les dispersions des microstructures de phase II.
- la schistosité S<sub>3</sub> est en position anormale.

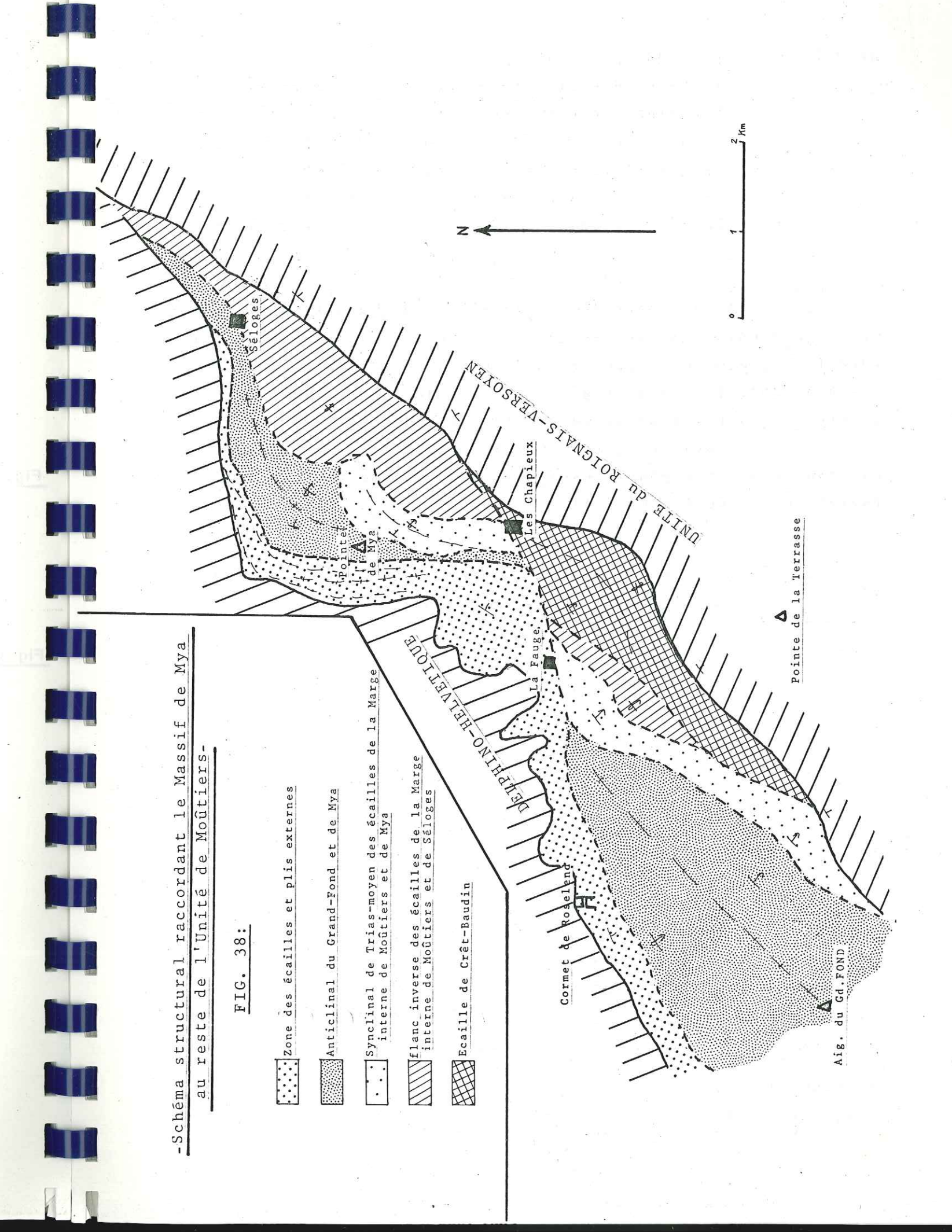
Il ressort de l'étude du Massif de MYA (bien que les résultats ne soient pas très nets) principalement que les directions des microstructures de phase II (linéations  $\mathbf{1}_2$ ) et de phase III ont été fortement perturbées par un rejeu des structures, des plans de schistosité  $\mathbf{S}_2$  en particulier.

## 6 -Conclusion à l'étude de l'Unité de Moûtiers :

Il apparaît que toutes les microstructures de phase Il et III ont fortement été remaniées tardivement :

, els sus processions to a finite leading

- le rejeu se fait en général sur la schistosité  $\mathbf{S}_2$ , qui est approximativement parallèle aux grands contacts tectoniques visibles actuellement.
- une phase de serrage Sud-Est-Nord-Ouest postérieure à la phase III est sans doute en grande partie impliquée dans ces rejeux de la schistosité S<sub>2</sub>, et est certainement directement impliquée dans la genèse de l'anticlinal du Grand-Fond et l'écaillage de la marge interne de l'Unité de Moûtiers.
- on reconnait d'autre part dans le Massif de MYA les sous ensembles structuraux définis dans le reste de l'Unité



de Moûtiers : fig. 38, photo 15.

- . la "zone des plis isoclinaux" correspondant au "domaine des plis externes".
- . l'anticlinal pincé de la Pointe de MYA correspondant à l'anticlinal du Massif du Grand-Fond.
- le synclinal de Trias moyen et l'écaille de Séloges correspondant à la marge interne de l'Unité de Moûtiers.

Il faut voir dans l'écaillage du Massif de MYA l'expression d'un biseautage tectonique tardif de l'Unité de Moûtiers vers le NE, avec des structures de plus en plus pincées du Sud-Ouest au Nord-Est de la région étudiée, jusqu'à disparition de l'Unité de Moûtiers au niveau de la Ville des Glaciers.

La structuration actuelle de l'Unité de Moûtiers est donc rapportée pour l'essentiel à une phase tardive de déformation (notée phase IV A).



## B - L'Unité du Roignais-Versoyen :

La série détritique de Tarentaise y est très bien exprimée; seuls deux bombements anticlinaux tardifs découvrent les séries antérieures; la série du Versoyen (ensemble "antéflysch") affleure largement dans la partie Sud de cette unité.

Nous avons vu avec la carte des linéations et des plis de phase II (fig. 14) l'existence de deux zones dans l'Unité du Roignais-Versoyen montrant des directions de plissementdifférentes (l'une à directions de P2 = N040, l'autre à P2 = N150 à N170). Lorsqu'on compare cette carte de linéations à la carte géologique (fig. 3), il apparait que les directions N150 à 170 semblent associées à la bordure Sud-Est de l'Unité du Roignais-Versoyen, qui montre une série stratigraphique inverse.

On aurait donc schématiquement une masse en position inverse montrant des plis N150 à N170 chevauchant des séries en position normale, avec un contact flysch sur flysch. Ce contact n'est pas exprimé clairement à l'affleurement, de nombreux jeux tardifs qui lui sont parallèles le miment en bien des endroits. Les conditions d'affleurement n'étant d'autre part pas favorables (falaises ou alpages), le meilleur moyen de le mettre en évidence est souvent la carte de linéations.

## 1 - La série en position normale :

la - Les anticlinaux de Crêt Bettex et du PontSt-Antoine, fig. 39 : Ces deux anticlinaux
sont les principaux affleurements du substratum de l'Unité du
Roignais-Versoyen, mais aussi des endroits où la série détritique est assez bien accessible. On y voit la formation basale du
flysch reposer (sans l'intermédiaire de l'ensemble antéflysch)
soit sur le Trias calcaire, soit sur le quartzite Werfénien.

L'axe N010 de ces deux bombements plonge vers le Sud d'environ dix degrés.

## 1a1 - L'anticlinal de Crêt Bettex, fig. 40A:

Les mesures ont été faites sur le flysch s.l. de part et d'autre de la "charnière anticlinale", qui ne s'exprime pas

en projection stéréographique.

On remarque sur le canevas :

- les linéations L2 sont tout à fait de même direction que les L3 et apparemment sont dispersées de la même façon.
- les S2 sont assez peu dispersées par les ondulations molles des plis P3.
- les S3, plan axial des P3, sont un peu dispersées autour d'un axe N020, et semblent aussi subir une légère variation de direction.

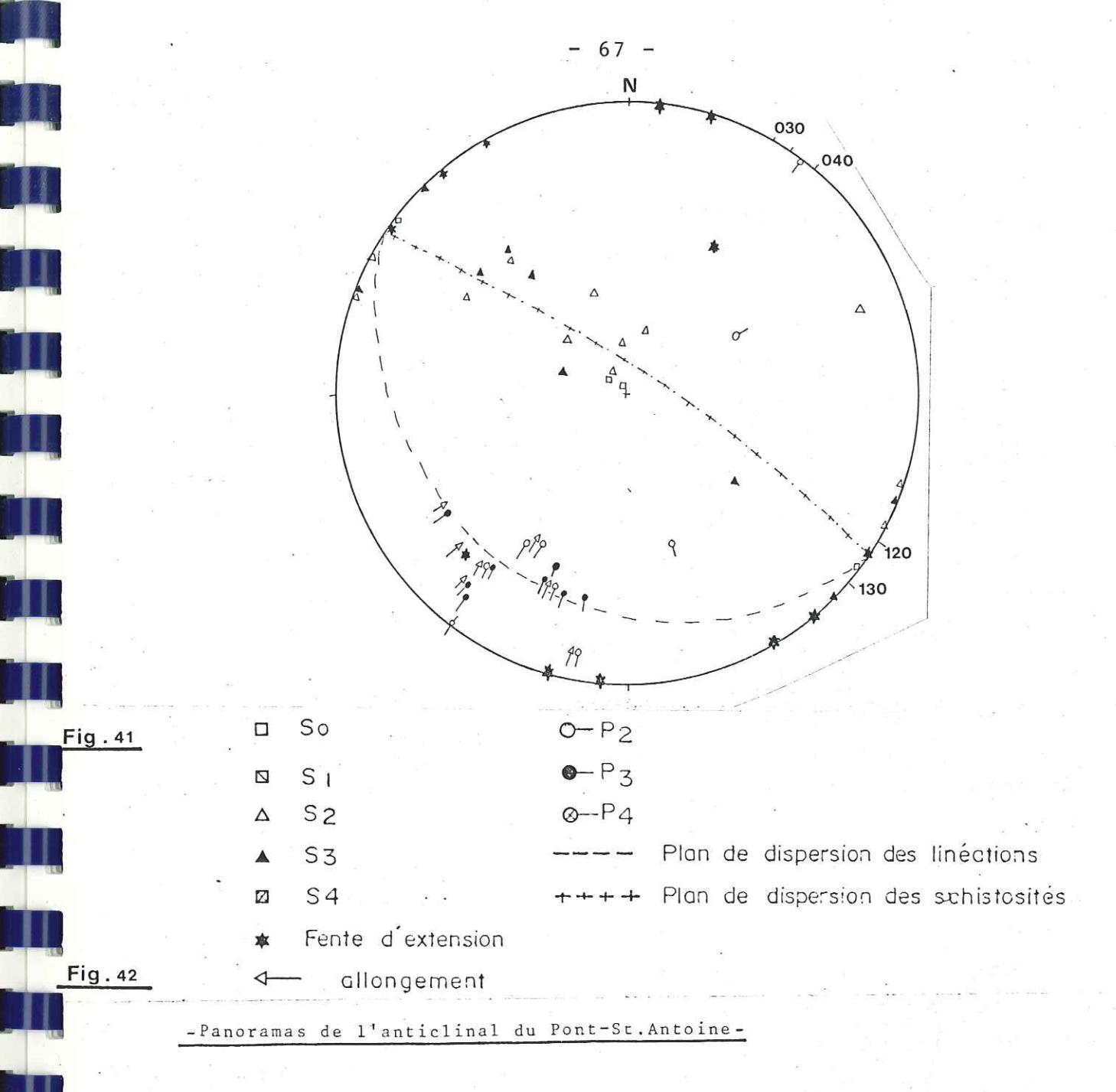
Les variations de direction de la schistosité S3 correspondent assez bien aux dispersions subies par les linéations L2 et L3. On peut voir ici l'expression d'une phase tardive à la phase III, mais on retiendra surtout la relative constance des microstructures relevées.

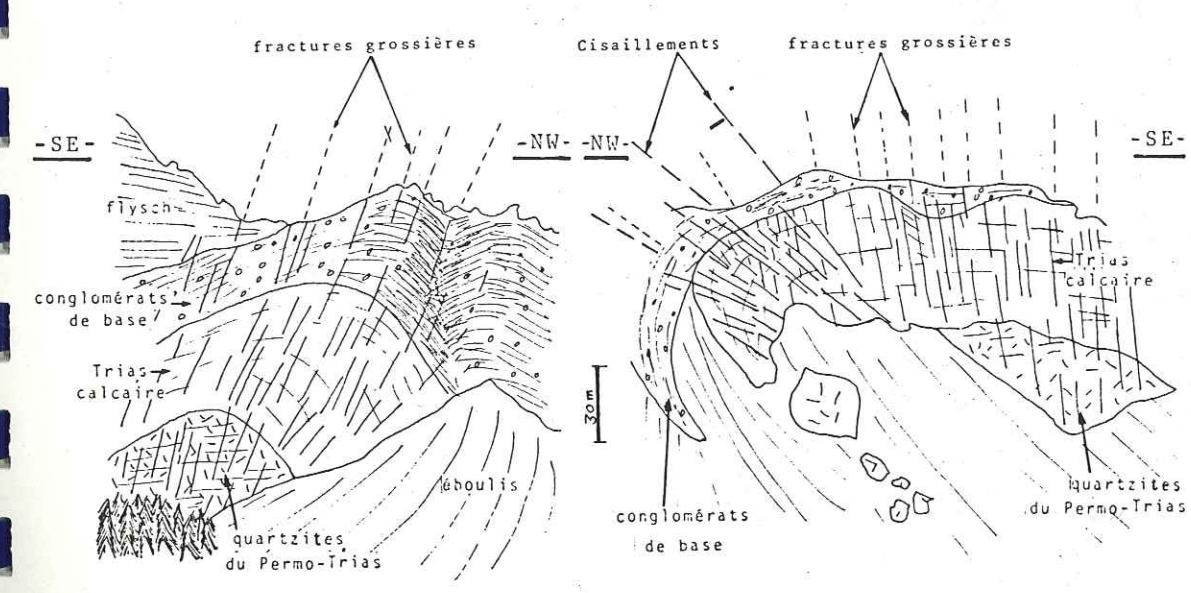
Des mesures sur les schistes noirs de passage des quartzites aux calcaires du Trias montrent des rapports entre les différents éléments mesurés équivalents à ceux trouvés dans le flysch s.l. (fig. 40B). On remarque cependant une rotation dextre en bloc des directions d'une cinquantaine de degrés sur la S2. Il est probable qu'on ait ici l'effet d'un jeu tardif à la phase III, qui induit un mouvement des calcaires du Trias par rapport aux quartzites.

#### la2 - L'anticlinal du Pont-St-Antoine :

Nous rencontrons bien sûr dans l'anticlinal du Pt-St-Antoine les mêmes microstructures qu'à Crêt Bettex, <u>fig. 41</u>; les mesures ont été faites en grande partie dans le substratum, dans les deux flancs du pli.

- Les L2 et L3 ont une même direction
- les schistosités S2 et S3 ainsi que la stratification So sont très dispersées autour d'un axe ≈ NO35-10\$, S2 et So étant verticalisées et S3 rendue horizontale dans le flanc Ouest.
  - de nombreuses fentes d'extension, diaclases et



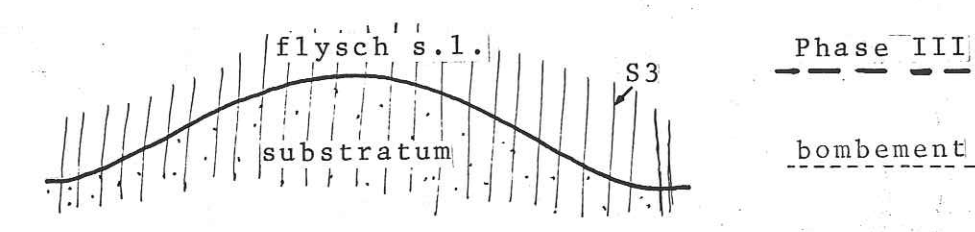


-rive droite.

-rive gauche-

-du Torrent des Glaciers-

- Ouest|- \_\_Est-



fracturation fruste



Phase IV



FIG. 43:
-Schéma interprétatif de l'anticlinal du Pont-St.Antoine-

fractures grossières sont visibles dans le Trias.

L'anticlinal du Pt-St-Antoine n'est donc plus un bombement simple comme à Crêt Bettex : il est nettement déversé à 1'Ouest, avec tendance à l'écrasement de son flanc Ouest (fig. 42, photo 17). La dispersion de la schistosité S3 dans le flanc Ouest du pli, en même temps que la stratification et la schistosité S2, nous oblige à envisager un rejeu tardif, de l'anticlinal provoquant en partie son déversement par un resserrage approximativement ESE-WNW. On peut sans doute lier les fentes à recristallisation de quartz, de direction NO30 à NO60 verticales, dans le Werfénien, à cette phase. Un cisaillement en charnière encore plus tardif de pendage \( \times \) 30 degrés au Sud-Est se dessine sur la coupe rive Gauche du Torrent des Glaciers, accentuant encore le déversement apparent du pli : fig. 43, schéma interprétatif.

On notera aussi l'existence de petites fractures en échelon de direction N100 subverticales associée à une direction de cisaillement N120, ainsi que de nombreuses fractures verticales sans rejeu apparent de direction toujours N120. Sans doute, peut-on associer cette direction de fracture à la direction même de la Vallée des Chapieux (des Chapieux à Bonneval).

## 1b - <u>La haute Vallée du Charbonnet, entre le</u> Chalet de la Combe et les Sapieux :

On ne trouve à l'affleurement que le flysch s.s. . les microstructures sont très peu dispersées, et de même type qu'à Crêt Bettex, fig. 44.

## 1c - La Crête Pointe Noire - Pointe de la Terrasse :

On ne trouve là aussi que le flysch s.s.

Toute la ligne de crête depuis la Pointe Noire jusqu'à la pierrière située au Nord-Ouest de la Pointe de la Terrasse montre des microstructures tout à fait conformes à celles trouvées dans la haute vallée du Charbonnet, fig. 45

Après la lacune d'observation de la pierrière, au niveau de la Pointe de la Terrasse et jusqu'à l'Aiguille de Terras-

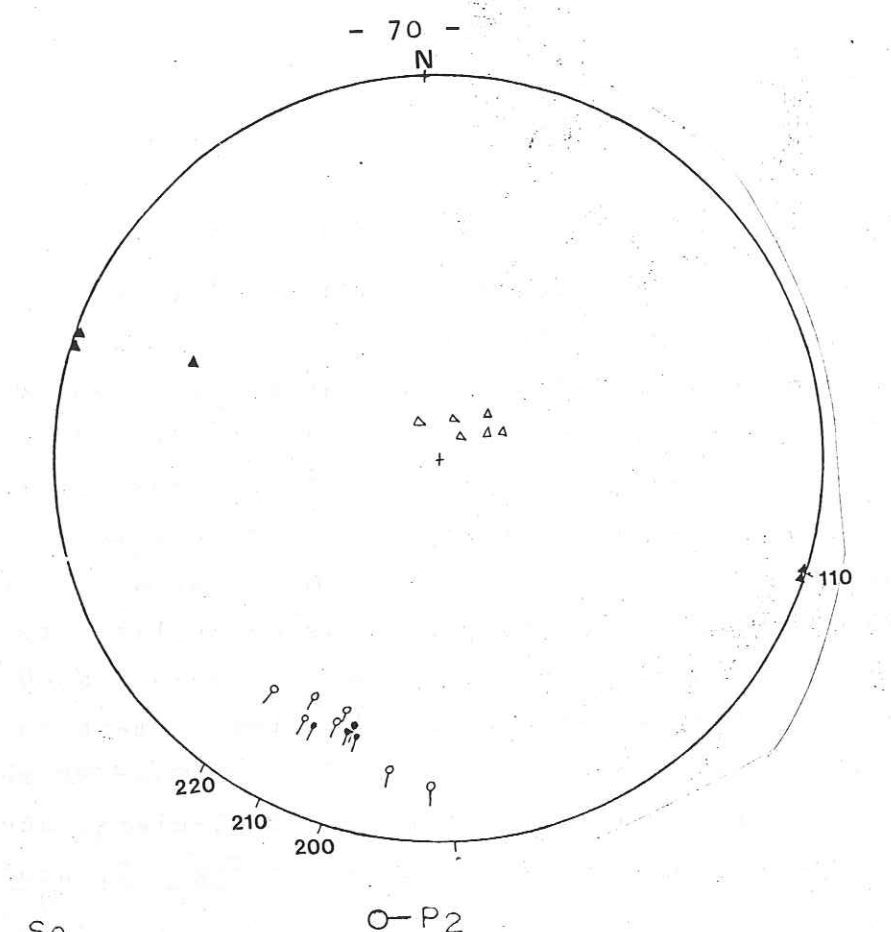


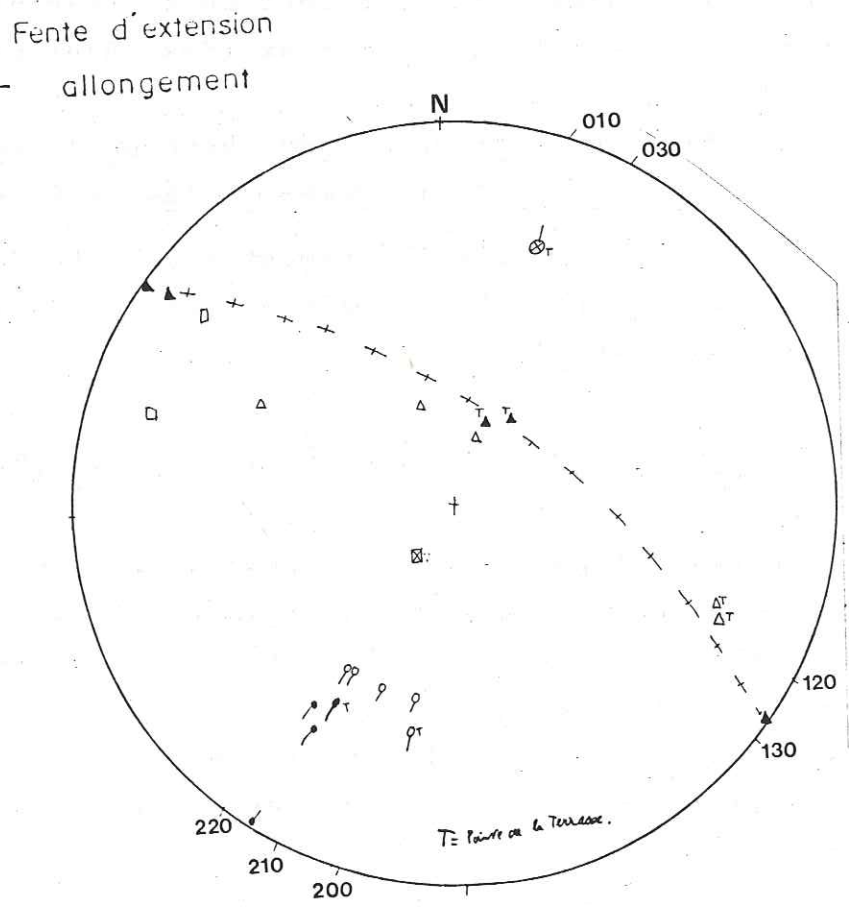
Fig.44

Plan de dispersion des linéations

Plan de dispersion des schistosités

☑ S4

Fig.45



sin, on observe de très jolis plis N030 à N040 de style P2, mais à plans axiaux verticaux. Ces plis métriques à décamétriques, sont très bien visibles depuis le petit plateau de la Torche - Col de Forclaz (au pied de l'Unité de Salins, au-dessus de la Vallée du Charbonnet).

En regardant d'assez près les échantillons on voit bien que ces plis sont de phase II avec S2 plan axiale, et l'on retrouve aussi la schistosité S3 en position subhorizontale, <u>fig.46</u>.

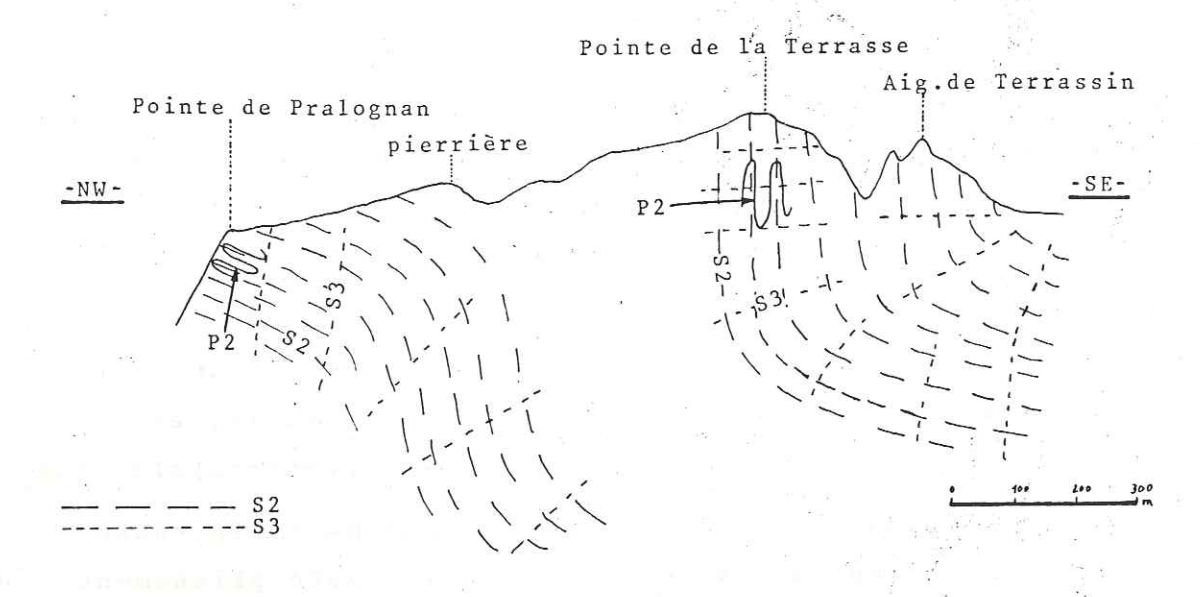
On doit donc admettre que la Pointe de la Terrasse marque une déformation tardive à la phase III, avec plissement des microstrucutres autour d'un axe ~ NO35-30SW. On retrouve d'ailleurs à la verticale de la Pointe de la Terrasse, dans la vallée du Charbonnet, des structures de ce type très mal exprimées.

Un petit plissement assez tardif en kink de direction NO20-70N associé à une schistosité de fracture très fruste N130-70N existe sur la Pointe de la Terrasse. Il semble n'intervenir en rien dans la structure àgrande échelle.

1d - <u>Le Massif du Roignais</u>: seule la base du Massif a été touchée, dans la vallée du Nant-Blanc et de 1'Ormente. Les directions des microstructures sont de type haute vallée du Charbonnet, avec P2 = N040 et S2 = N170-35W.

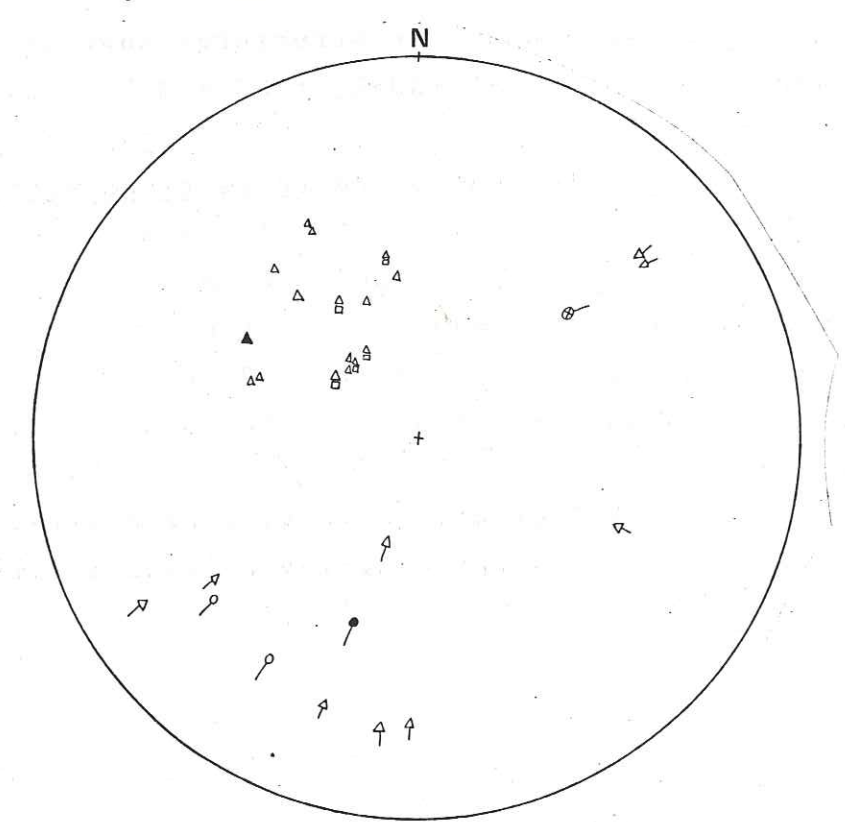
le - La rive gauche du Torrent des Glaciers,
entre la Ville des Glaciers et le Col de
la Seigne: Depuis le Houiller jusqu'au

flysch de base, on ne trouve pas de variation sensible dans le
plongement de la schistosité principale S2. Les différentes
séries schisteuses plongent au Sud-Est, les schistosités S1 et
S3 sont difficiles à mettre en évidence. On remarquera cependant
la dispersion des linéations d'intersection et d'allongement sur
la S2, phénomène assez fréquent dans les niveaux à dominante
schisteuse, fig. 47.



## -Schéma interprétatif du Massif de la Terrasse

Fig. 46	D 50	0-P <sub>2</sub>
	SI SEE SEE	<b>0</b> −P <sub>3</sub>
	Δ \$2	⊗-P4
	. A S3	Plan de dispersion des linéations
	<b>Z</b> S4	++++ Plan de dispersion des schistosités
	★ Fente d'extension	amatak ebi ing selatah di
Fig. 47	→ allongement	The second secon



## 1f - Conclusion

La phase II s'exprime de façon assez constante sur cette partie de l'Unité du Roignais-Versoyen :

- les plis P2 sont ~ N040-30SW
- les linéations L3 et plis P3 sont subparallèles aux linéations L2 et plis P2.
- On note qu'une dispersion assez notable des linéations sur la schistosité S2 se fait postérieurement à la phase III.
- On peut associer ces dispersions au serrage tardif des structures, donnant naissance à la verticalisation de la schistosité S2 à la Pointe de la Terrasse, et accentuant les bombements de Crêt-Bettex et surtout du Pont-St-Antoine.

## 2 - La série en position inverse :

2a - La synforme du Passage de la Brebis :

2a1 - Description de la synforme, fig. 48
photo 20:

Lorsqu'on se trouve sur la route menant de Bourg-St-Maurice aux Chapieux, à Crêt-Bettex par exemple, une magnifique synforme de près de deux kilomètres de flèche déversée à l'Ouest apparait sur la falaise rive droite de la Vallée du Torrent des Glaciers.

Vue l'inaccessibilité de la paroi abrupte, l'étude en est possible uniquement par la Crête Pointe de la Terrasse -Aiguille de Prainan, ou de tout le versant en pente plus douce de la Vallée du Charbonnet.

- 2a2 <u>Description sommaire de la coupe relevée</u>

  <u>sur la crête Pointe de la Terrasse</u> 
  <u>Aiguille de Prainan, fig. 49, photo 18,</u>

  <u>soit du NW au SE:</u>
- le flysch de la Terrasse
- les calcaires microbréchoïdes en gros bancs

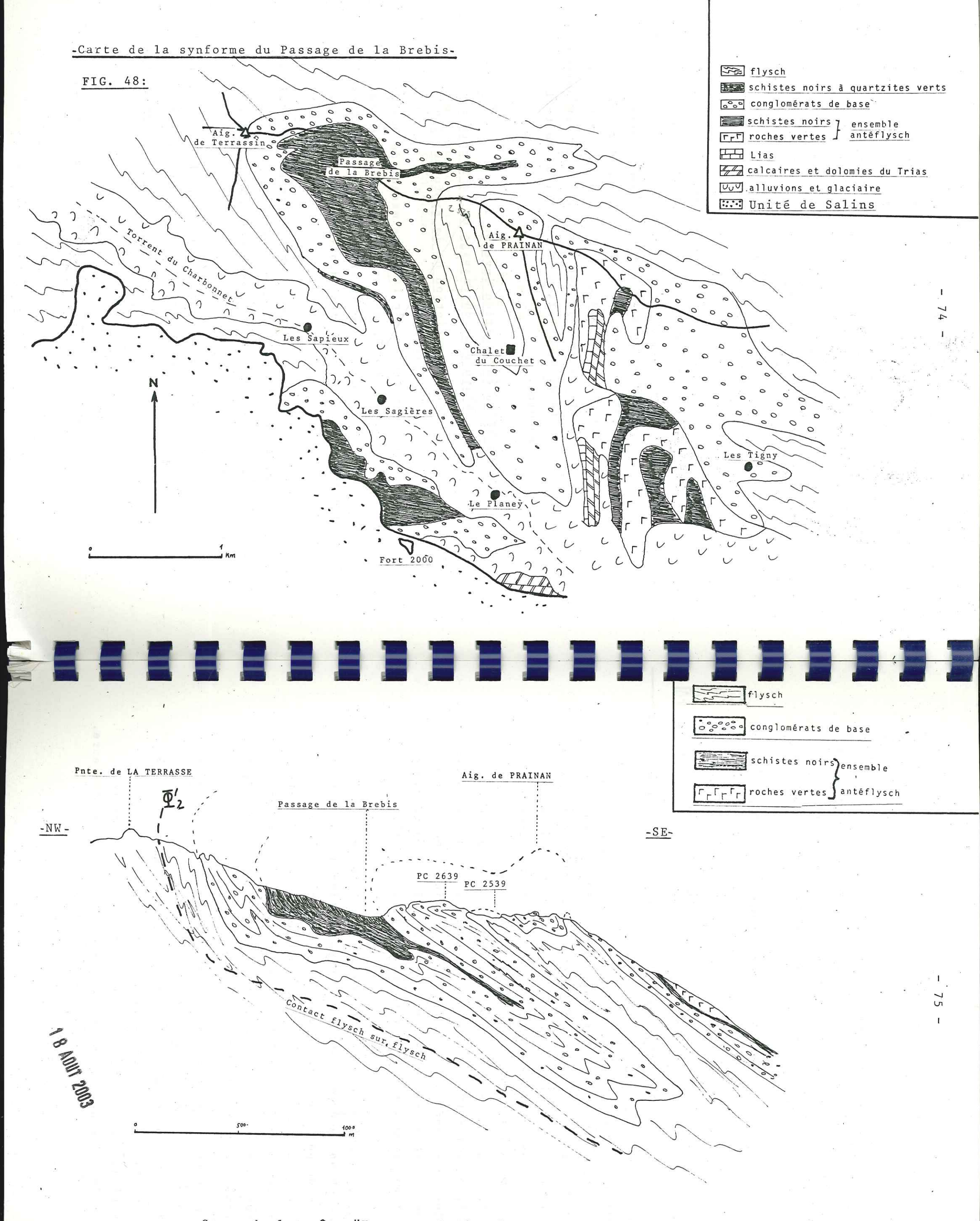


FIG. 49: -Coupe de la crête "Terrasse-Prainan".

de la formation détritique basale

- des schistes noirs sur près de 600m forment l'ensellement du Passage de la Brebis
- à nouveau la formation détritique basale au PC 2639
- puis un petit ensellement de flysch s.s. au PC 2539
- enfin les calcaires de la formation détritique basale de l'Aiguille de Prainan.

2a3 - <u>Interprétation de la synforme</u>: l'argument majeur pour la compréhension de cette synforme fut la place dans la série stratigraphique des schistes noirs du Passage de la Brebis.

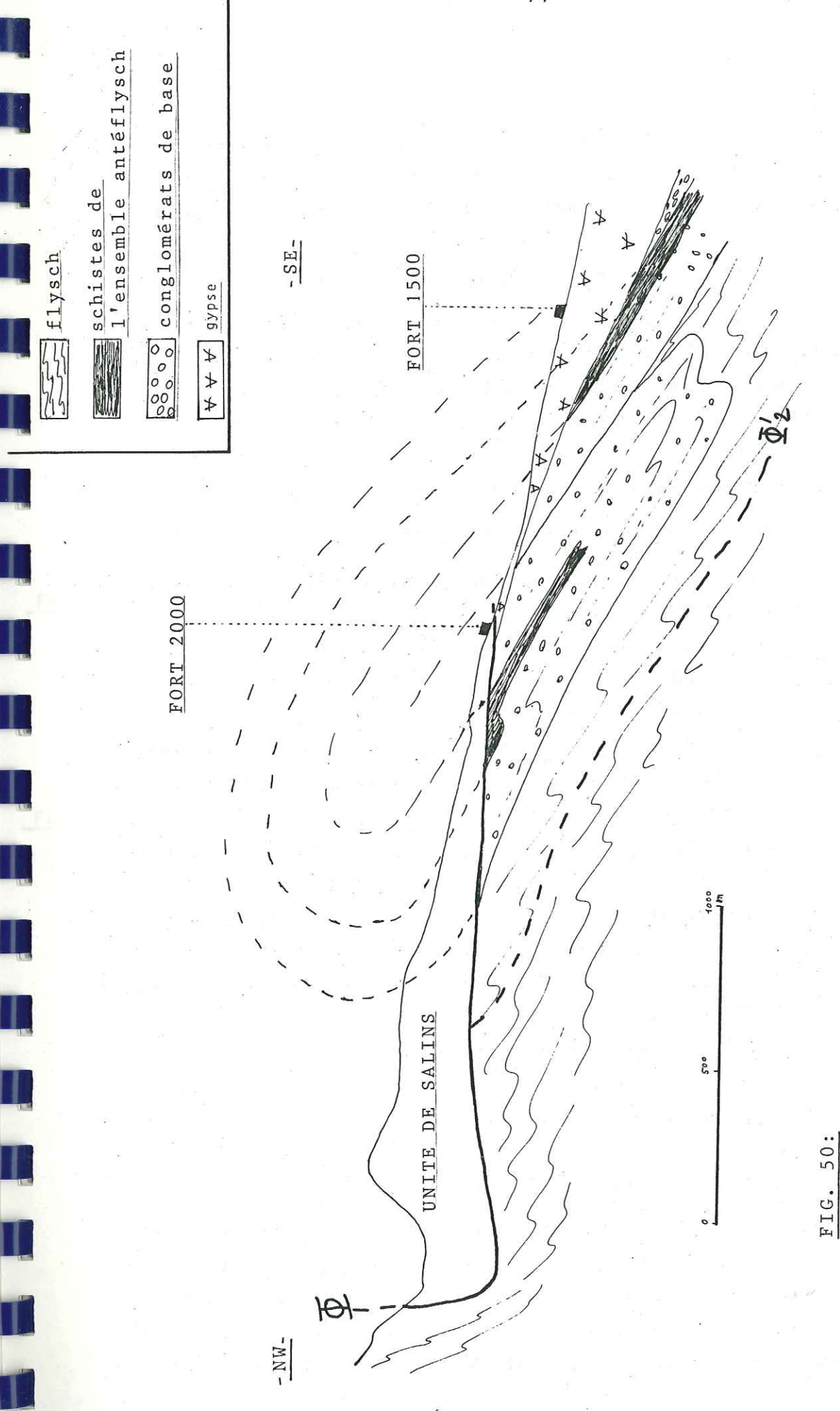
H. SCHOELLER, dans son mémoire en 1929, en faisait du flysch s.s. écrasé au coeur d'un synclinal, ce synclinal appartenant à une nappe décollée à la base de la formation détritique basale, et chevauchant le "synclinal de flysch de Tarentaise".

P. ANTOINE (1971) montre que ces schistes noirs sont comparables aux schistes noirs associés aux roches vertes de l'ensemble antéflysch", la synforme du Passage de la Brebis devient alors une synforme anticlinale; il explique cette structure comme un mégaanticlinal couché de direction N040 repris par un anticlinal N000 à schistosité plan axiale verticale.

2a4 - Les données nouvelles sur la synforme:

Nous avons vu lors de la présentation de la carte de
linéations de phase II, et en comparant celle-ci à la carte géologique, que le contact entre la série renversée, dont fait
partie la synforme, et la série en position normale, se fait
flysch sur flysch, et non à la base de la formation détritique
basale comme le suggérait H. SCHOELLER.

Lors de la présentation de la phase III, nous avons associé des plis P3 à faible convexité à la schistosité S3 subverticale. On ne peut donc en aucun cas associer cette phase à la mise en place de la synforme anticlinale, le plan axial de celle-ci plongeant au Sud d'une trentaine de degrés seulement avec'fort déversement à l'Ouest. La phase III lui est postérieure.



Charbonnet

D'autre part, la schistosité Slest nettement antérieure à cette structure; nous sommes donc obligé d'admettre la mise en place de la synforme anticlinale durant la phase II.

#### 2a5 - Coupe rive droite du Torrent du Charbonnet :

A partir de la description de la Crête Terrasse-Prainan, nous pouvons interpréter la coupe rive droite du Torrent Charbonnet, même si l'Unité de Salins vient tronquer en grande partie les affleurements, fig. 50.

## 2b - Etude microtectonique de la synforme :

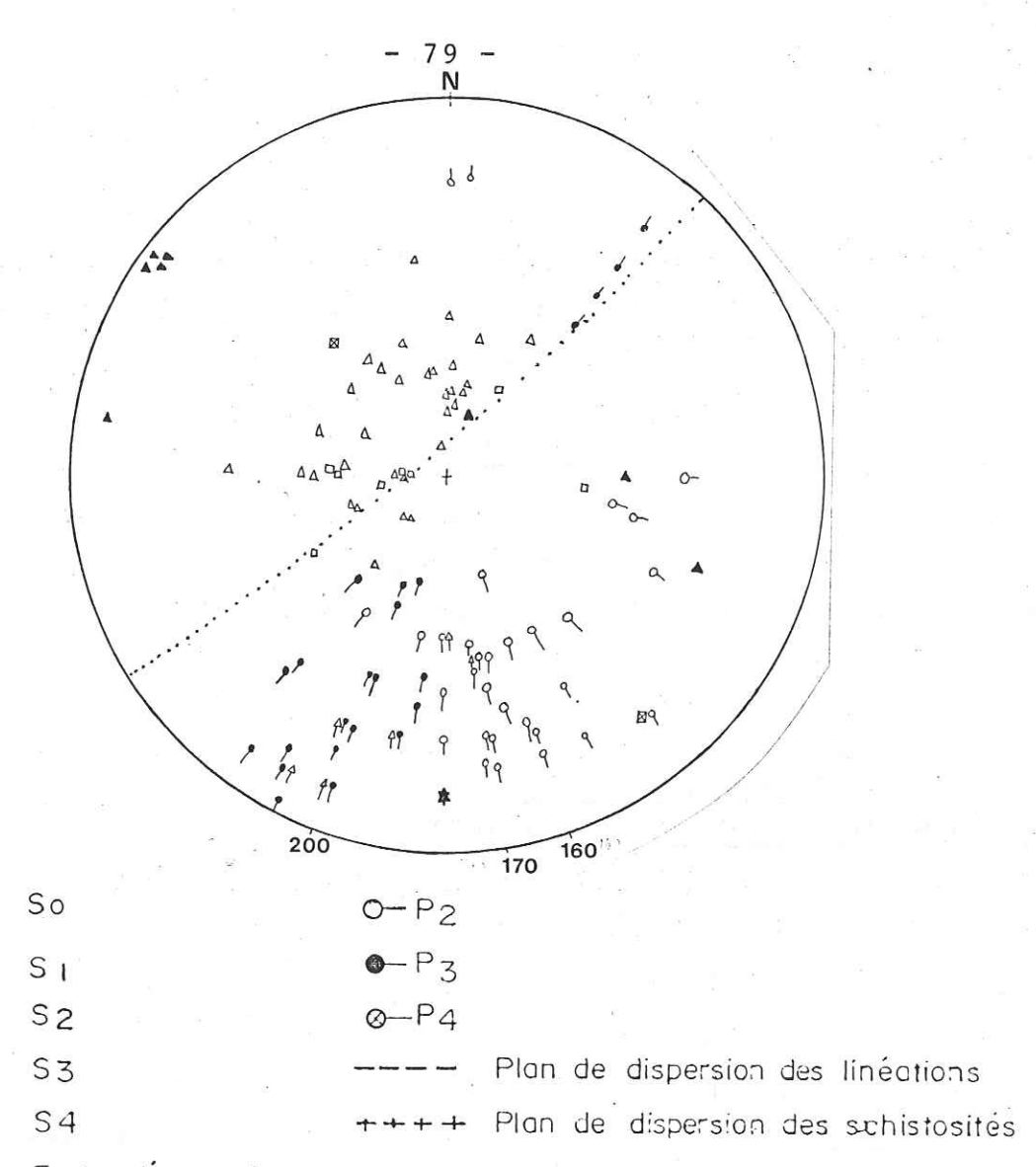
## 2b1 - Données d'ensemble, fig. 51:

Bien qu'assez dispersées en projection, les mesures indiquent certaines tendances :

- . Les L2 sont contenues dans le quart Sud-Est
- . Les L3 dans la partie Sud-Sud-Ouest sont bien distinctes des L2
- . Les S2 sont assez regroupées, et correspondent à la pente herbeuse qui descend du Massif de Prainan.
- . Les S3, en général, mal exprimées à l'affleurement, sont très constantes (NO30-90).
- . La stratification est assez bien dispersée autour d'un axe N150 à N170 - 10 à 20 Sud.
- . Les allongements phylliteux sont parallèles aux L2 ou L3
- . une fracturation grossière associée à des recristallisations de calcite est généralisée, et perpendiculaire aux L2.

## 2b2 - Les plis P2 du type "Les Tigny":

Sur le le chemin qui mène des Echines-Dessus (au Nord de Bourg-St-Maurice), au lieu dit Les Tigny (à la cote 1470 environ), après un très bel affleurement de roches vertes du Versoyen, affleurent des calcaires de la formation basale du flysch qui montrent un style de plissement particulier. On reconnait en



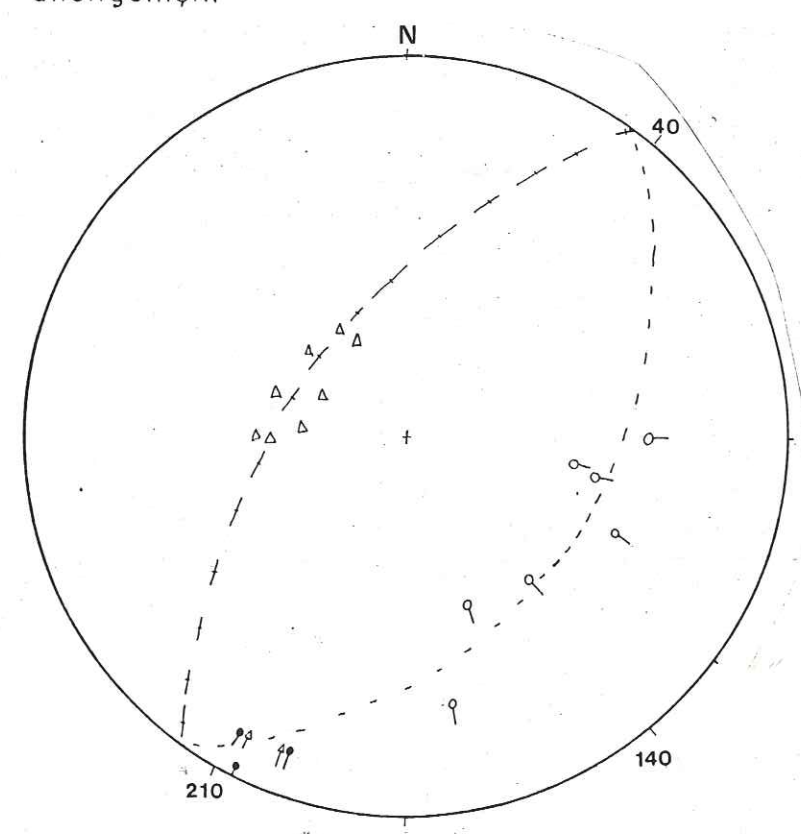
□ So D SI Δ S2

Fente d'extension

allongement

Fig.51

Fig . 55



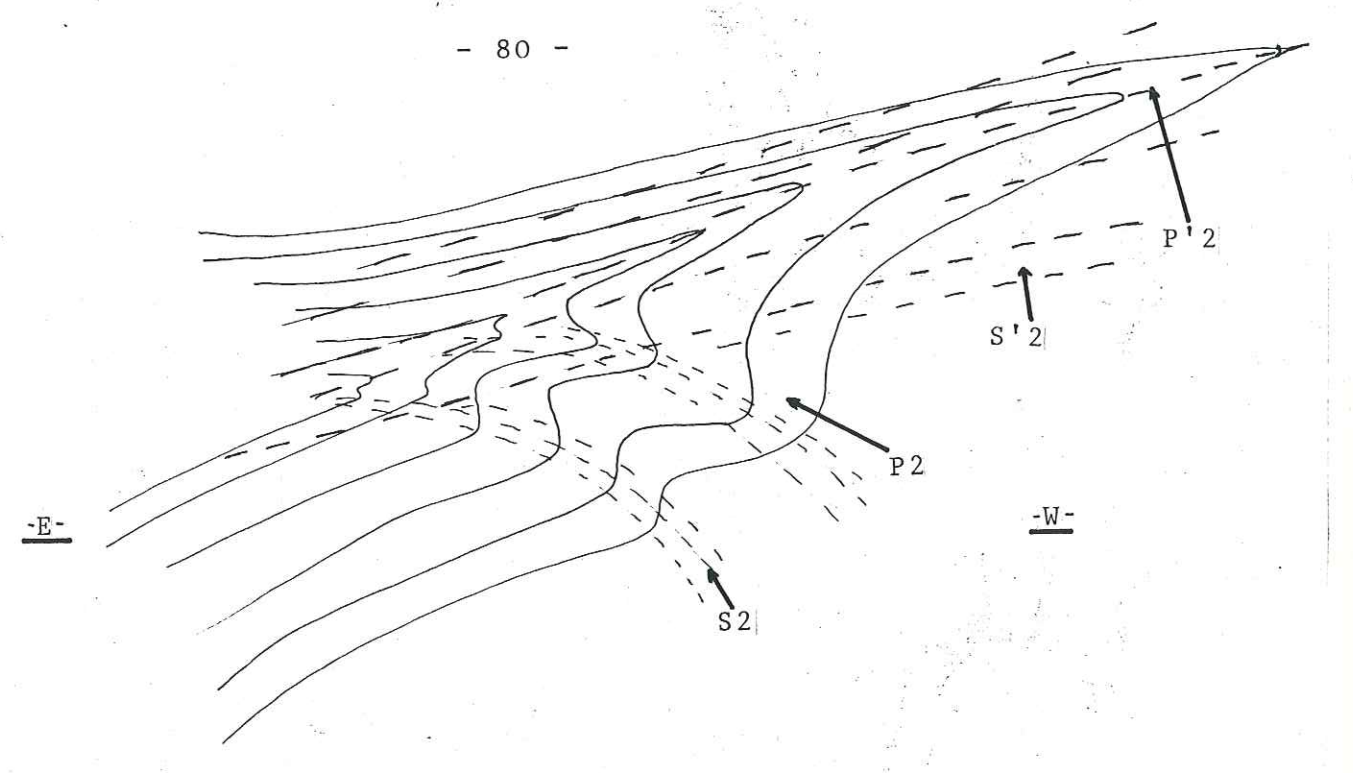


FIG. 52: -Plis P'2 des Tigny(structures en "aile d'oiseau")

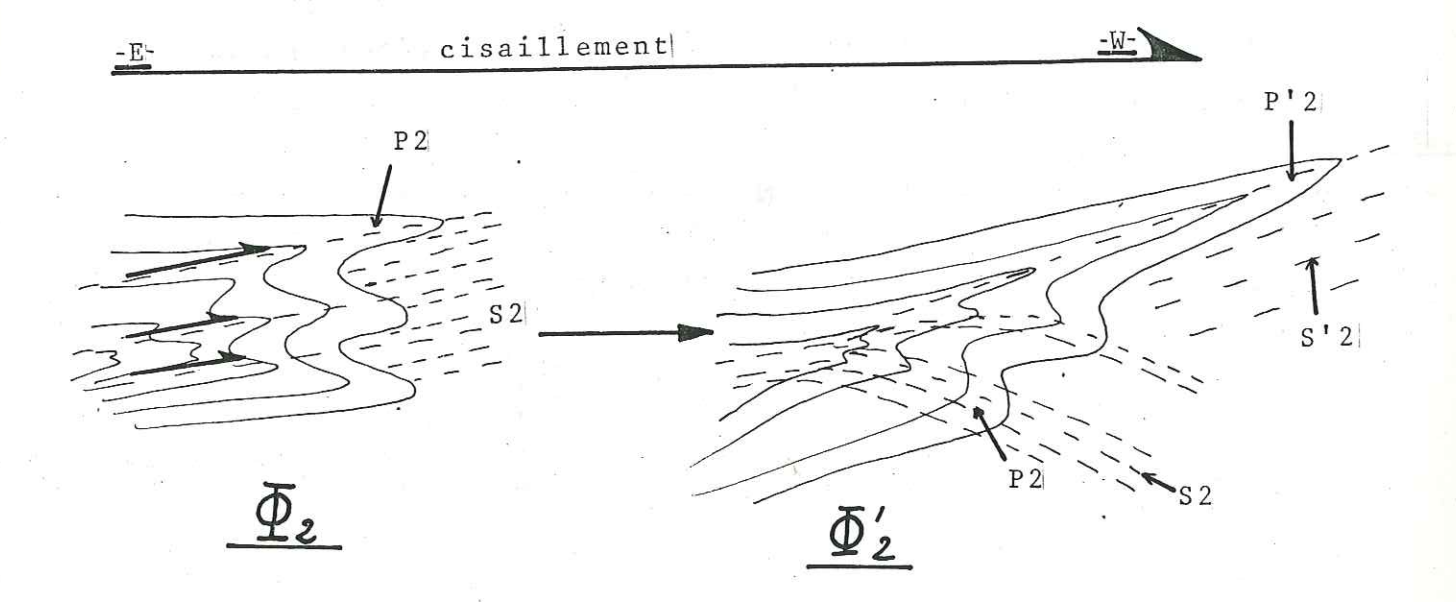


FIG. 53:
-Schéma interprétatif des plis P'2-

effet sur cet affleurement des plis P2 de direction N170, mais qui s'agencent en section perpendiculaire à leurs axes en sorte d'aile d'oiseau d'environ 3m. En regardant plus attentivement ces figures, on note l'existence de deux schistosités de type S2 (de crénulation): fig. 52, photos 10 et 11. On peut ici voir l'expression de l'évolution de la phase II, avec reprise de plis P2 par des plis P'2 associés à uns schistoisté S'2 (fig. 53).

On notera que les plis P2 et P'2 sont "scellés" par la schistosité S3.

De telles figures ne sont pas limitées à l'affleurement des Tigny . On les retrouve en effet à une échelle beaucoup plus grande (hectométrique) sur la falaise de flysch rive droite de la vallée du Charbonnet, ainsi que dans le flysch rive gauche du Versoyen, sous le Massif du Clapey.

2b3 - <u>L'ensellement flysch à l'Ouest de l'Aiguille</u>
<u>de Prainan</u>: Au PC 2539 affleure le flysch
s.s. au coeur d'un bombement antiforme (<u>fig. 49, photo 18</u>).
Lorsqu'on va vers l'Est ou l'Ouest en suivant la crête, on est
arrêté par les niveaux gréseux qui passent à la formation détritique de base de l'Aiguille de Prainan et du PC 2639.

L'étude des microstructures y est particulièrement intéressante, car elle montre quelques "anomalies" par rapport au reste de la synforme, fig.54 A.

Les S2 dans le flysch gréseux sont parfaitement bien réglées, plongeant à l'Est vers Prainan, au Sud Ouest vers le PC 2639. On a donc ici un bombement postérieur à la phase II. Au niveau de l'ensellement, dans le flysch p.p.d., les S2 montrent un léger plongement anormal au NE.

. Les L2 (linéations d'intersection, et plis P2 décimétriques à métriques) ont une direction N150 à N170 dans le flysch gréseux, et sont dispersées sur S2 dans le flysch p.p.d.

. Les L3 sont aussi dispersées sur la S3 au niveau de l'ensellement.

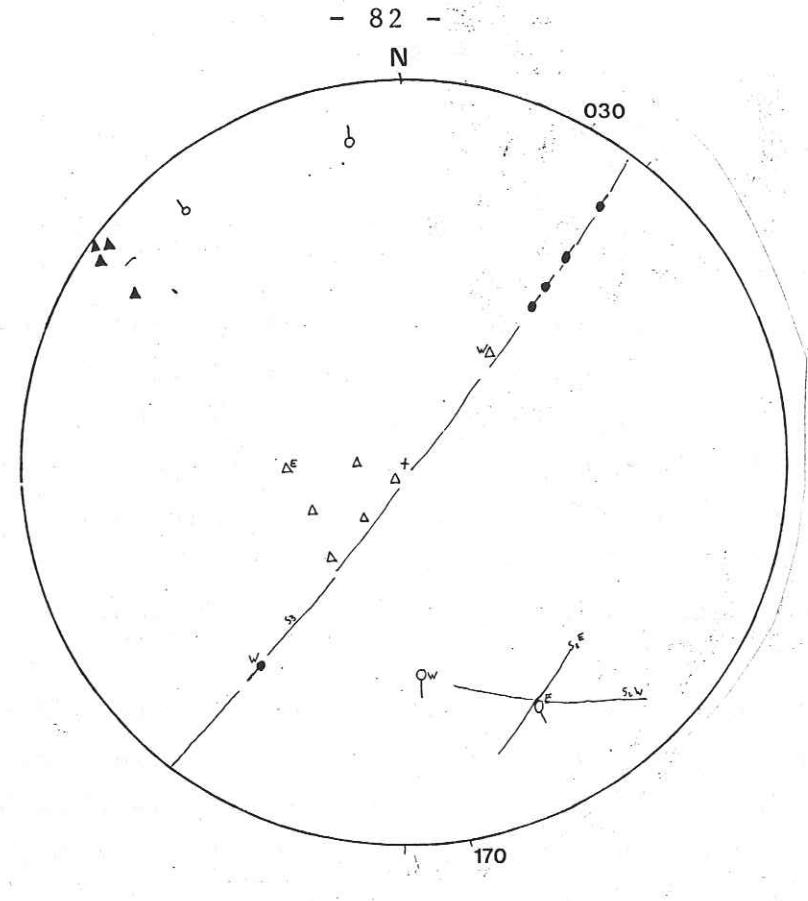
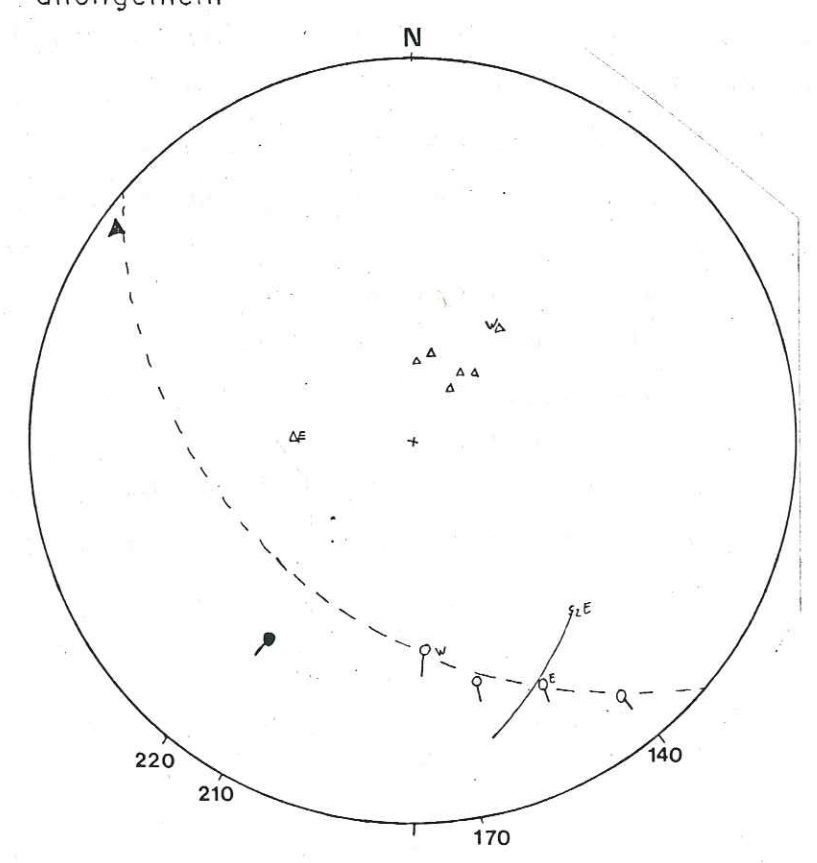


Fig.54 B

→ allongement



On va donc s'intéresser particulièrement aux microstructures de l'ensellement, étant les seules apparemment à avoir marqué des déformations "anormales".

Si l'on ramène les L3 du flysch s.s. en position des L3 du flysch gréseux, on s'aperçoit de la chose suivante, <u>fig.</u> 54B.

. Les S2 se regroupent vers les S2 reconnues dans le flysch gréseux à la base du PC 2639.

. Les L2 restent dispersées sur la S2 moyenne. On peut donc déduire deux phases "non schisteuses":

. une phase de dispersion des L2 sur S2, sans doute par rotation feuillets sur feuillets, attribuable à une phase II, puisque antérieure à la phase III.

. une phase post-phase III s'exprime aussi par des rotations sur la S3 feuillets sur feuillets, qui peut-être interprétée comme un serrage tardif ~ E-W mieux exprimé dans les niveaux assez schisteux comme le flysch s.s.

## 2b4 - Les schistes antéflysch du Chalet de Prainan (au Nord des Echines-Dessus), fig. 49 et 55:

"L'anomalie"essentielle de cet affleurement est la grande dispersion des L2 sur la S2, les L3 étant très peu dispersées. On peut voir ici à nouveau l'expression de la phase II par rotation feuillet sur feuillet de la S2. Les allongements de phyllites parallèles aux L3 sont sans doute réorientés.

#### 2b5 - La Vallée du Versoyen:

Une série de mesures dans le flysch entre Versoyeles-Granges et les Crottes, ainsi que sur l'Aiguille du Clapey et l'Aiguille de Beaupré, a donné des directions de microstructures tout à fait comparables à celles de la synforme du Passage de la Brebis :

- S2 ~ NO60 à N100-25S
- $L2 \simeq N160 \text{ à } N180-25S$
- L3 = NO10, avec S3 subverticale

- 85 -

D'autre part, de grands plis (hectométriques) couchés sont visibles dans les falaises situées rive gauche du Torrent du Versoyen.

Certains d'entre eux ont la forme en "aile d'oiseau" décrite pour les plis P'2.

# 2c - Conclusion à l'étude de la série en position inverse:

La différence marquante sur le terrain entre la série en position inverse et la série en position normale de l'Unité du Roignais-Versoyen est la position des linéations L2 par rapport aux linéations L3: ces deux linéations sont en effet très bien distinguables l'une de l'autre dans la série en position inverse; les linéations L3 ayant la même direction que dans la série normale, seule les linéations L2 marquent le changement entre les deux sous-unités.

Les plis P2 ont cependant toujours le même style que dans la série en position normale, et on voit apparaître des structures marquant l'évolution de la phase II (plis P'2 en "aile d'oiseau").

Nous avons par ailleurs mis en évidence l'importance des rejeux de schistosité, tant sur la schistosité S2 avant la phase III, que sur la S3. Ces rejeux sont limités apparemment à quelques affleurements, et sont sans doute liés à des réajustements locaux.

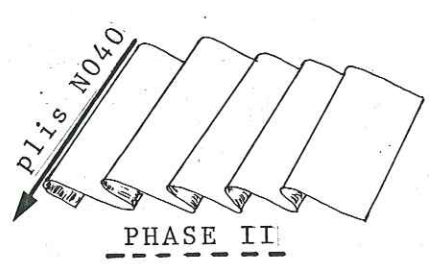
## 3 - Interprétation des grandes structures de l'Unité :

Nous avons vu que l'Unité du Roignais-Versoyen est dissociable en deux sous-unités, montrant chacune des déformations semblables, mais de direction différente à la phase II. La schistosité S3 traverse toutes ces structures de phase II (dont la synforme de la Brehis). Il nous faut alors envisager un modèle d'évolution qui mette en place ces deux sous-unités entre la phase I et la phase III.

## - Premier modèle, fig. 56A:

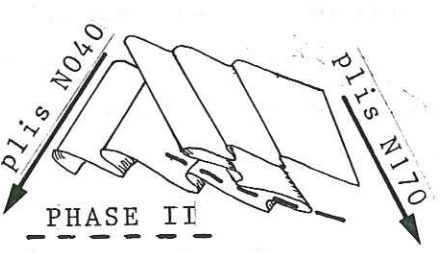
On peut envisager une première période de plissement de

FIG. 56: Modèles d'évolution de l'Unité du Roignais-Versoyen:



PHASE II' plissement N105

FIG. 56 A: Premier modèle:



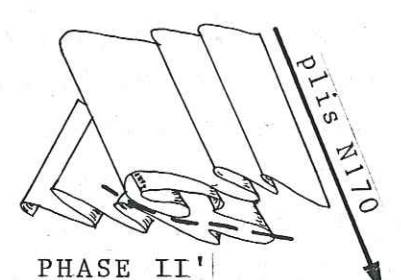
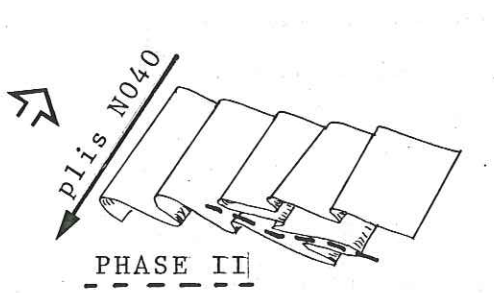
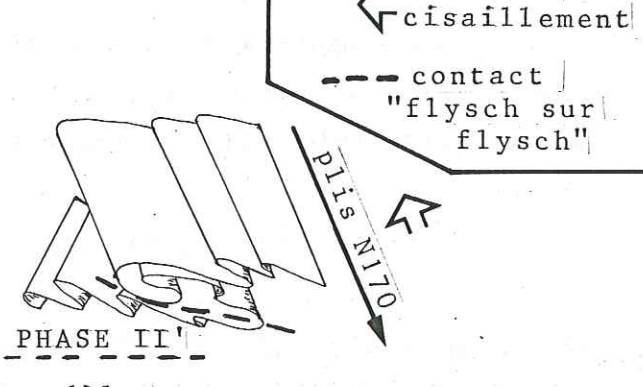


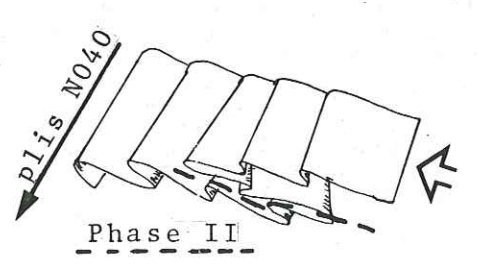
FIG. 56 B: Deuxième modèle:





L sens de

FIG. 56 C: Troisième modèle:



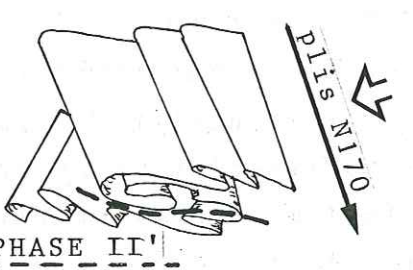
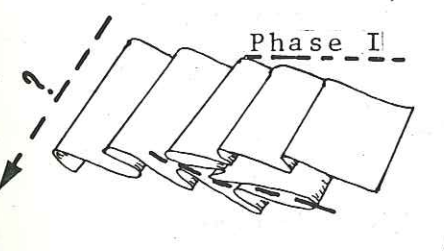
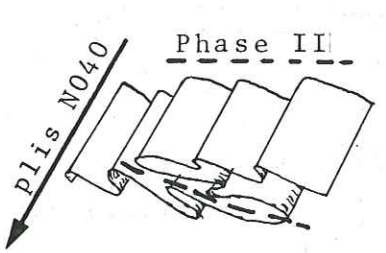


FIG. 56 D: Quatrième modèle:





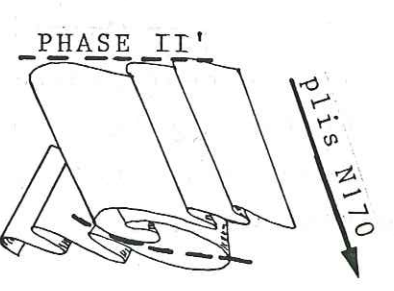


FIG. 56 E: Cinquième modèle:

direction NO40, sur toute l'Unité du Roignais-Versoyen, et une deuxième associée à un mégapli de direction N105 renversant les séries de la zone interne et amenant les plis NO40 à une direction N170. On ne trouve cependant jamais de microstructures N105 de phase II sur le terrain; en outre les structures de la série inverse seraient déversées à l'Est, ce qui n'est pas le cas.

### - Deuxième modèle, fig. 56B:

On peut supposer que les plis N170 dans la zone interne de l'Unité du Roignais-Versoyen sont acquis dès la première période de déformation de phase II, en même temps que le renversement de la série. Une deuxième période de déformation (phase II') aurait pour effet la mise en forme actuelle de la synforme du Passage de la Brebis, par accentuation des structures, ainsi que les structures II' en "ailes d'oiseau".

Ce modèle sous entend donc un style de déformation complexe pour la phase II : plissement NO40 pour une zone externe, plissement N170 pour la zone interne, <u>fig. 56B</u>.

## - Troisième modèle, fig. 56C:

Nous avons vu que les galets du conglomérat de base marquent des allongements très intenses. On pourrait alors penser que la direction de cisaillement était parallèle à ces allongements. Ceci nous oblige à créer les plis P2 parallèlement à la direction de cisaillement: on aurait une phase II avec un cisaillement N040 créant les plis et les allongements N040; les plis et allongements N150 à N170 seraient dus à un cisaillement vers le Nord durant la phase II. L'objection majeure à ce modèle est la difficulté de créer des plis couchés à forte flèche (plurikilométrique) parallèlement à des directions de cisaillement.

## - Quatrième modèle, fig. 56D

On peut proposer une première période de phase II intérressant toute l'Unité du Roignais-Versoyen, donnant des plis et des allongements NO40 par une déformation "en rouleaux", avec une direction de cisaillement approximativement Sud-Est - Nord-Ouest.

A cette première période on associera le renversement de la zone înterne du Roignais-Versoyen.

Un deuxième épisode de la phase II intéresserait principalement la série renversée de la zone interne de l'Unité du Roignais-Versoyen. Le cisaillement serait Est-Ouest, et dans le même style de déformation "en rouleaux" se formeraient des plis P'2 N170 et une réorientation des plis P2 se produirait, d'où les plis "en aile d'oiseau"; la synforme du Passage de la Brebis serait, dans ce modèle, attribuée à la phase II' par replissement d'un anticlinal de phase II.

## - Cinquième modèle, fig. 56E:

On aurait pu attribuer le renversement de la partie interne de l'Unité du Roignais-Versoyen à la phase I, sans définir la direction des plis qui lui sont associés; la charnière de la synforme du Passage de la Brebis serait donc la charnière d'un anticlinal de phase I.

Comme dans le quatrième modèle, la phase II donnerait les plis et l'allongement NO40, la phase II', n'intéressant que la partie interne de l'Unité du Roignais-Versoyen donnerait les plis et allongements N170.

Si on essaie dans ce modèle d'expliquer la structure de la synforme du Passage de la Brebis, on voit qu'on a accordé une très grande importance aux déformations de phase I (un mégapli et renversement de la partie interne de l'Unité du Roignais-Versoyen), ainsi qu'une grande importance à la phase II' pour la mise en place des structures N170. La phase II ne devrait alors n'être exprimée que par de petites structures. Or il s'avère, et surtout plus au Sud de la région étudiée (J. COLLART, 1973), qu'il existe de très grandes structures couchées N040 attribuables à la phase II (torsion de schistosité SI et S2 plan axialede ces structures). On doit donc admettre l'importance des déformations de la phase II donnant ces structures N040, et y associer le renversement de la zone înterne de l'Unité du Roignais-Versoyen.

On retiendra le quatrième modèle comme base de travail, car il répond le mieux aux observations de terrain, et il est mécaniquement le plus réalisable.

## 4 - Conclusion à l'étude de l'Unité du Roignais-Versoyen:

Ш

Un contact tectonique flysch sur flysch a été mis en évidence séparant :

. une zone externe marquée durant la phase II par des plis P2 N040;

une phase II, qui s'exprime par des plis P2 N170 à N150 associés à des structures particulières en "aile d'oiseau", ou de type synforme anticlinale du Passage de la Brebis. La S'2 bien visible à l'affleurement n'a pas été clairement distinguée en lame mince; on reconnait cependant que dans la zone où s'expriment ces "plis en aile d'oiseau" la S2 devient un peu plus grossière. L'intensité de la schistosité de crénulation principale ne permet pas ici autre chose que des suppositions. On ne retiendra donc de ces structures en "ailes d'oiseau" que l'expression de l'évolution de la phase II.

L'explication avancée pour la synforme anticlinale du Passage de la Brebis, ainsi que pour toutes les structures transversales à la chaîne dans l'Unité du Roignais-Versoyen est donc l'évolution de la phase II : le cisaillement subhorizontal vers le Nord-Ouest évolue en cisaillement vers l'Ouest, cette deuxième période II' de la phase II n'étant bien exprimée que dans la partie interne de l'Unité du Roignais-Versoyen, et, comme nous le verrons aussi plus loin, dans l'Unité du Petit St-Bernard.

- l'étirement marqué par les conglomérats et les phyllites est parallèle aux axes de plis et est interprété par des déformations "en rouleaux" (fig. 19) avec constriction perpendiculaire aux plis et aux grandes structures de la région.
- Un rejeu sur la schistosité S2 antérieure à la phase III, et postérieur à la phase II' a été mis en évidence à l'en-

sellement de flysch à l'Ouest de l'Aiguille de Prainan; ce rejeu peut être interprété comme l'expression du passage du style de déformation de phase II au style de la phase III.

- On retrouve la phase de plissement tardive déjà décrite dans l'Unité de Moûtiers, qui s'exprime ici principalement par des rejeux de schistosité S2 et S3.

## C - L'Unité du Petit Saint-Bernard:

Coincée entre l'Unité du Roignais-Versoyen et le "Briançonnais", elle reste une unité assez peu connue.

Sur le versant français, l'étude n'est pas facile en raison des recouvrements quaternaires. D'autre part seuls les termes supérieurs de la série affleurent , les coupes les plus complètes ayant été effectuées dans le secteur italien.

L'Unité du Petit-St-Bernard se présente sur la zone étudiée sous forme de flanc normal d'une structure synclinale (P. ANTOINE, 1971); elle est au Nord en contact avec l'ensemble antéflysch de l'Unité du Versoyen; au Sud elle est chevauchée par le Houiller briançonnais, <u>fig. 57</u>.

l- Les microstructures sont souvent très mal exprimées, on reconnait pourtant sur certains affleurements une phase I, une phase II et une phase III de même style que dans l'Unité du Roignais - Versoyen, avec quelques particularités :

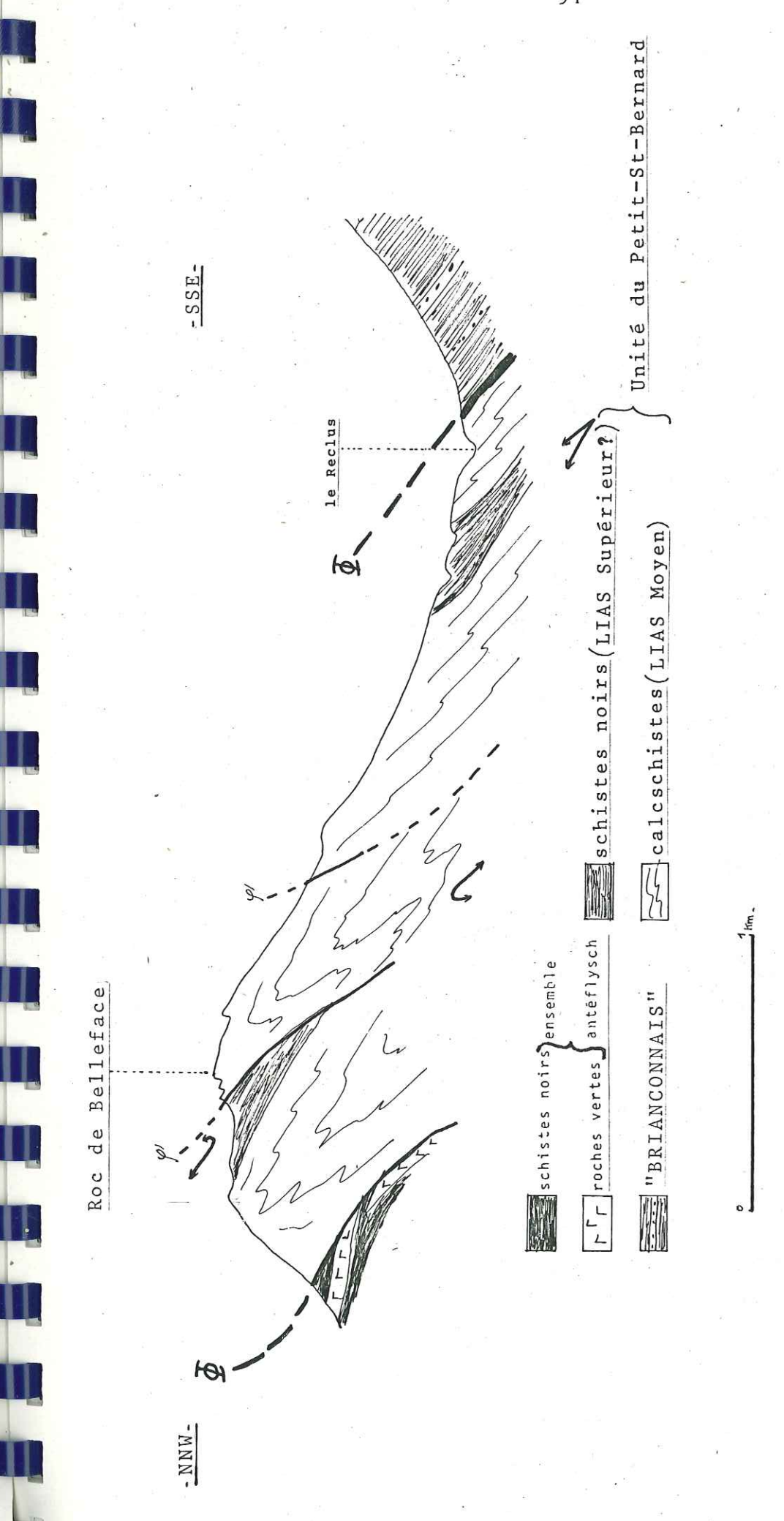
- l'allongement des phyllites de phase II est généralement NO40, alors que les plis P2 et linéations d'intersections semblent plutôt N150.
- les plis P3 ne sont pas exprimés clairement
- une phase tardive de plissement (non synschisteuse) est de direction N130 à N150.

## la - <u>Versant Sud de la Pointe du Clapey</u>:

Une première série de mesures faites sur le versant Sud de la Pointe du Clapey nous montre clairement des microstructures semblables à celles rencontrées dans la partie interne de l'Unité du Roignais-Versoyen. On notera la tendance des S2 à être dispersées autour d'un axe  $\simeq$  N150 - 45S, <u>fig. 58A</u>.

1b - <u>L'affleurement du Châtelard</u>: (au Nord de Bourg-St-Maurice).

Il présente des microstructures tout à fait identiques (fig.58B).



Coupe de l'Unité du Petit-St.Bernard au niveau du Roc

Belleface

d e

FIG. 57:

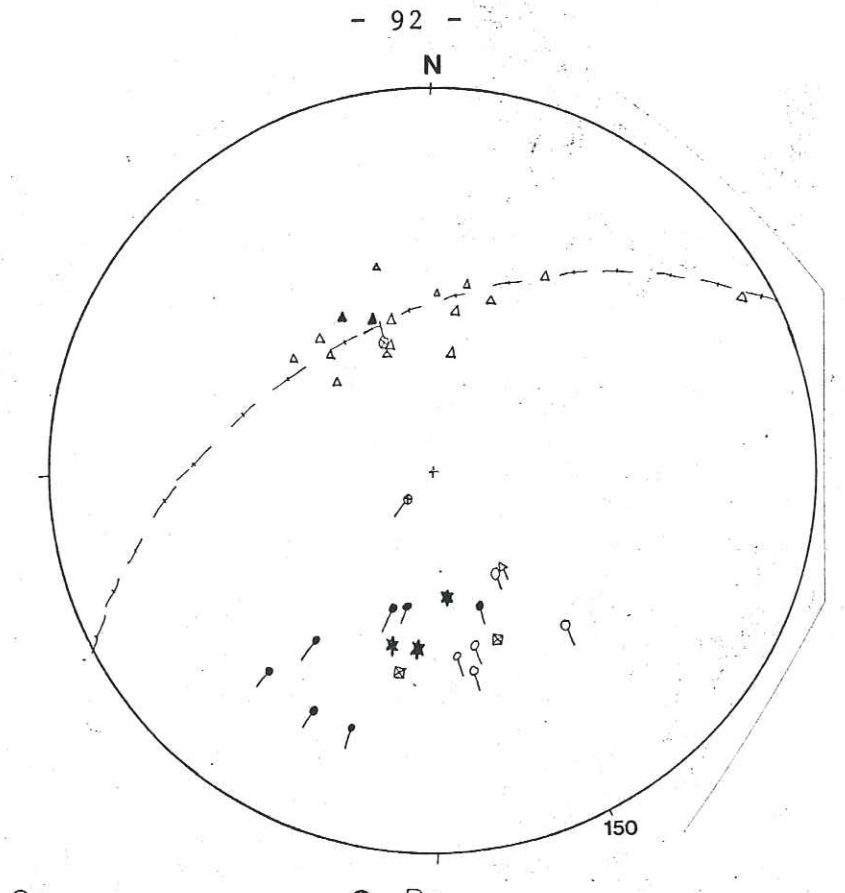


Fig. 58A

□ So

0-P2

D S1

0-P3

Δ S2

Ø-P4

**▲** S3

---- Plan de dispersion des linéations

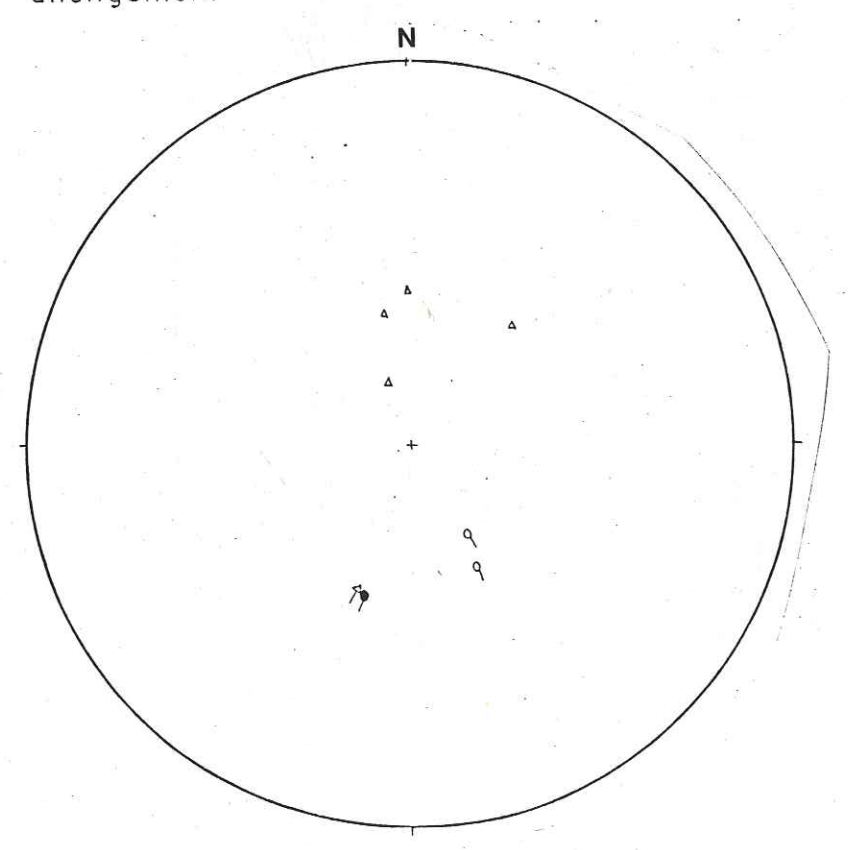
**Ø** S4

++++ Plan de dispersion des schistosités

★ Fente d'extension

Fig.58B

- allongement



#### 1c - Le Massif de Lancebranlette :

Une coupe effectuée sur ce Massif depuis l'ancien hospice du Petit-St-Bernard, montre dans les schistes noirs les linéations  $L2 \simeq N150$  et un allongement très fort (marqué par les phyllites)  $\simeq N040$ , fig. 59; les linéations L3 sont peut-être masquées par les phyllites; des kinks N150 tardifs à l'allongement sont visibles dans cette série.

1d - <u>L'affleurement du PC 1330</u>: Cet affleurement, à l'Est de St-Germain, est essentiellement constitué d'un anticlinal N130 subhorizontal, bien décrit par la S2 et la stratification. Les linéations fortement masquées par l'allongement sont sans doute des L3: fig. 60.

The - Les Combettes d'en Haut : Sous les

Combettes d'en Haut (au Sud-Ouest de l'Aiguille du Clapey),

de magnifiques plis de style P2 ont une direction N150 à N160,

mais des plans axiaux verticaux. On voit bien en lame mince que

les plans'axiaux de ces plis sont une S2, et on distingue une

S3 qui lui est perpendiculaire. Il semble qu'on se trouve ici

devant une rotation de l'ensemble de 90 degrés autour d'un axe

parallèle aux plis P2, par une phase tardive à la phase III.

Il apparait aussi une ondulation autour d'un axe ~ N070 qui cor
respond assez au phénomène décrit par P. ANTOINE au voisinage

du contact avec l'Unité du Roignais-Versoyen : comment ne pas voir

ici une phase tardive donnant des plis N040 (à N070?), similaire à

celle rencontrée dans la zone des Brèches de Tarentaise : fig. 61.

## 2 - Conclusion à l'étude de l'Unité du Petit-

<u>St-Bernard</u>: Nous retrouvons dans cette unité les trois phases synschisteuses décrites dans la partie interne de l'Unité du Roignais-Versoyen:

- la schistosité S1 correspond à une foliation subparallèle à la stratification.

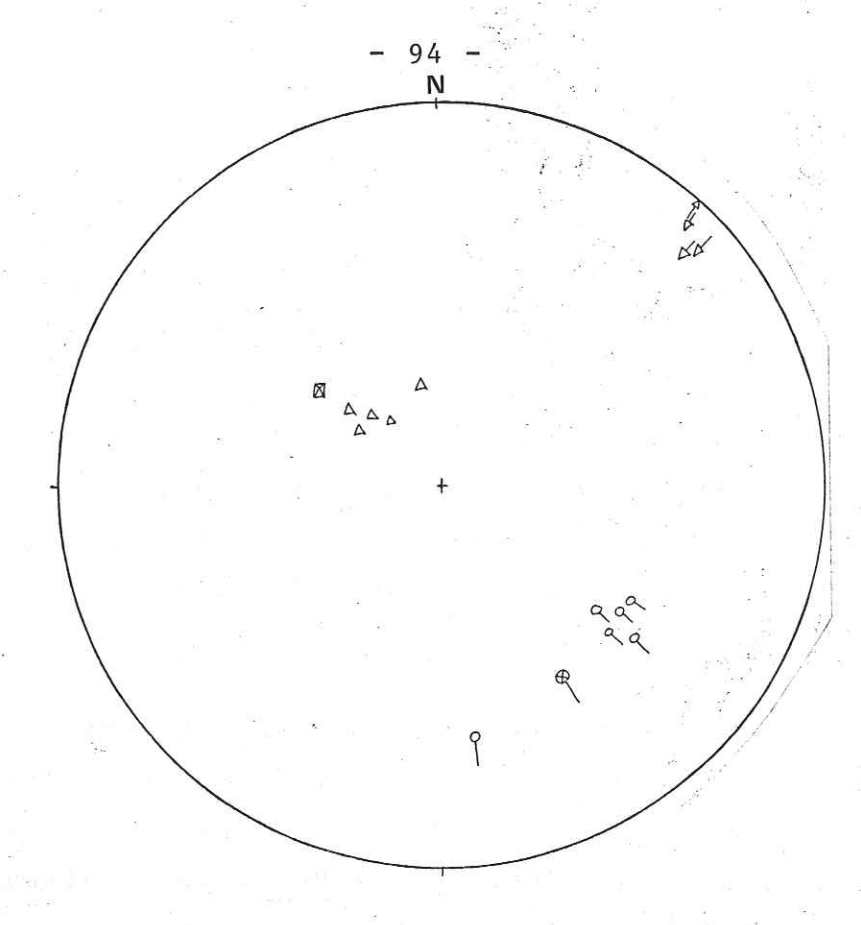


Fig. 59

□ So

0-P2

⊠ Sı

**6**-P3

S2

⊗-P4

**S**3

---- Plan de dispersion des linéations

**Z** S4

++++ Plan de dispersion des schistosités

Fente d'extension

Fig. 60

allongement N

- la S2 est plan axial de plis P2 N150 à N170 plongeant au Sud-Est de 30 à 40 degrés.

Ces plis P 2, assez bien visibles dans la partie Ouest de l'unité, le sont bien moins vers la frontière italienne. Les allongements sont parallèles aux plis P 2 sur certains affleurements proches de Bourg-St-Maurice, vers l'Est où ces plis ne sont plus distinguables, ces allongements sont très nettement NO40. Le passage de l'une à l'autre des directions n'est pas visible à l'affleurement en raison de la couverture quaternaire.

Nous avons là l'indice d'une complication tectonique à l'intérieur du niveau calcschisteux, qui n'apparait pas clairement en cartographie.

Nous pouvons cependant avancer que le plissement de cette unité s'est effectué de la même façon durant la phase II que dans la partie interne de l'Unité du Roignais-Versoyen, et, dans le modèle choisi, que la mise en place sur la série du Versoyen s'est effectuée pendant le renversement de la partie interne de l'Unité du Roignais-Versoyen, avant l'évolution de la phase II qui réoriente les plis N040 en plis N170. L'allongement N170 associé aux plis N170 indiquent donc le même "climat tectonique" pour les deux unités, avec soit une réorientation d'une partie des linéations de l'Unité du Petit-St-Bernard, soit des structures non déterminées au sein même de l'unité, expliquant les allongements N040.

- il existe plusieurs phases post-schisteuses :
  - un plissement (ondulation) N040 à N070 bien exprimé au proche contact avec la série du Versoyen.
  - . un plissement de direction N150
  - . une phase en distension, exprimée surtout par des fentes de distension NO70-50N, ou par des fentes en échelon qui marquent des rejeux de S2 en faille normale.
  - de nombreuses diaclases et fractures
     sans rejet apparent de direction
     ≈ N140-90.

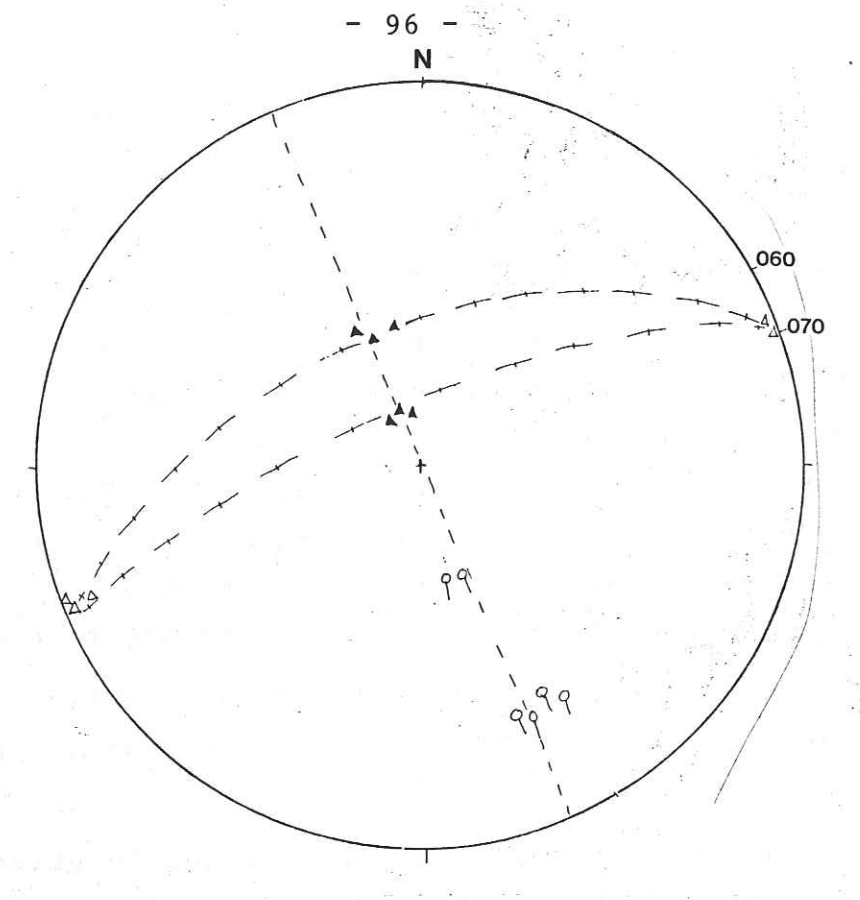


Fig.61

□ So

0-P2

S SI

**9**-P3

Δ S2

Ø-P4

**▲** S3

---- Plan de dispersion des linéations

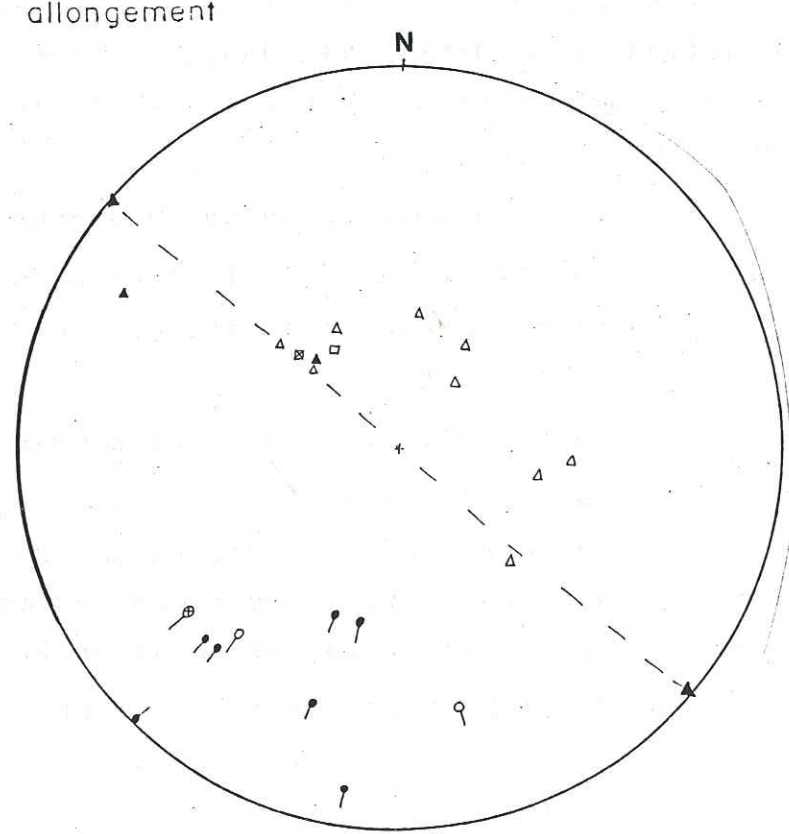
**Ø** S4

++++ Plan de dispersion des schistosités

Fente d'extension

Fig .62

→ allongement



## D - L'Unité de Salins :

Elle prend le relais vers le Sud-Ouest de l'Unité du Petit-St-Bernard.

De l'Unité de Salins décrite plus au Sud (vers Moûtiers) par R. BARBIER (1948), il ne reste dans la région étudiée qu'une véritable nappe de recouvrement horizontale, qui disparait au niveau de Bourg-St-Maurice.

Cette unité tronque nettement les séries plissées du Roignais-Versoyen (ceci est bien visible sous le Fort 2000, de la vallée du Charbonnet), et on saura donc interpréter sa mise en place comme postérieure aux grandes structures de phase II.Les terrains qui nousinteresseront particulièrement seront ceux du Houiller, la couverture mesozoïque étant principalement calcaire et de toutes façons décollée et traînée en lambeaux de couverture sur le paléozoïque (P. ANTOINE, 1971) : fig. 6 A.

1 - <u>Etude des microstructures relevées</u>: Les schistes du Houiller se prêtent en général assez mal à une ana-lyse microtectonique, ne serait-ce que par la présence des micas détritiques qui perturbent les linéations. D'autre part, les affleurements sont noyés dans le quaternaire, et il devient très difficile de distinguer ce qui est en place.

Nous nous retrouvons donc avec bien peu de données concernant cette unité, qui sans doute est plus propice à l'analyse dans des secteurs situés beaucoup plus au Sud de la région présentée.

Nous retiendrons cependant : fig. 62 :

- les trois phases synschisteuses existent dans cette unité, et s'expriment de façon semblable au reste de la Zone des Brèches de Tarentaise.
- On peut déceler une sorte de bombement de la semelle houillère en avant de l'unité, au proche contact avec le flysch, la schistosité S3 étant portée en position horizontale alors que la schistosité S2 est verticalisée. Ce basculement se ferait autour d'un axe ~ NO50-10S.

- les linéations L2 et L3 ne peuvent rien apporter, on notera de plis P2 subisoclinaux.

#### 2 - Conclusion à l'étude de l'Unité de Salins :

L'Unité de Salins présente les phases de déformations reconnues précédemment avec les microstructures de même type. Sa mise en place peut être rapportée comme postérieure à la phase II (elle n'est pas impliquée dans les grandes structures de phase II de l'Unité du Roignais-Versoyen) et sans doute aussi à la phase III, qui représente plutôt une phase de blocage des déplacements de couverture (S3 verticale). On attribuera donc la mise en place de l'Unité de Salins dans notre région à la phase IVA.

### E - Les unités bordières de la région étudiée :

#### 1 - L'Unité Delphino-Helvétique:

Au proche contact avec le Chevauchement Pennique frontal, les niveaux tertiaires et des replis du Jurassique supérieur y sont représentés.

On reconnait dans ces niveaux les mêmes phases tectoniques que dans la Zone des Brèches de Tarentaise :

- les trois phases synschisteuses
- les phases tardives, dont les phases donnant les plis N150 et les plis N040 (à N090), et la phase en distension.
- la Les schistes à niveaux de calcaires gréseux du Jurassique moyen (P. LANDRY), au contact avec le Chevauchement Pennique frontal:
- lal Le ruisseau de la Raja , du col de la Croix du Bonhomme au Chalet de la Raja : fig. 63 :
- on voit la dispersion des L2 sur la S2 moyenne; les L3 (mal visibles) semblent suivre les L2.
- les S2 sont bombées autour d'un axe NO45-25E.
- de nombreuses diaclases N120-50N sont visibles
- des ondulations tardives métriques N120 à N150 sont visibles à certains endroits.
- 1a2 Chemin menant du Cormet de Roselend aux Chalets du Truc: fig. 64:
- on retrouve le bombement ≃N035-40S ici exprimé sur les S2, et associé à des ondulations métriques.
- les L2 sont toujours dispersées sur une S2 moyenne
- des alignements de queues de pyrites tournent en même temps que les L2 sur la S2, sur certains

Ш

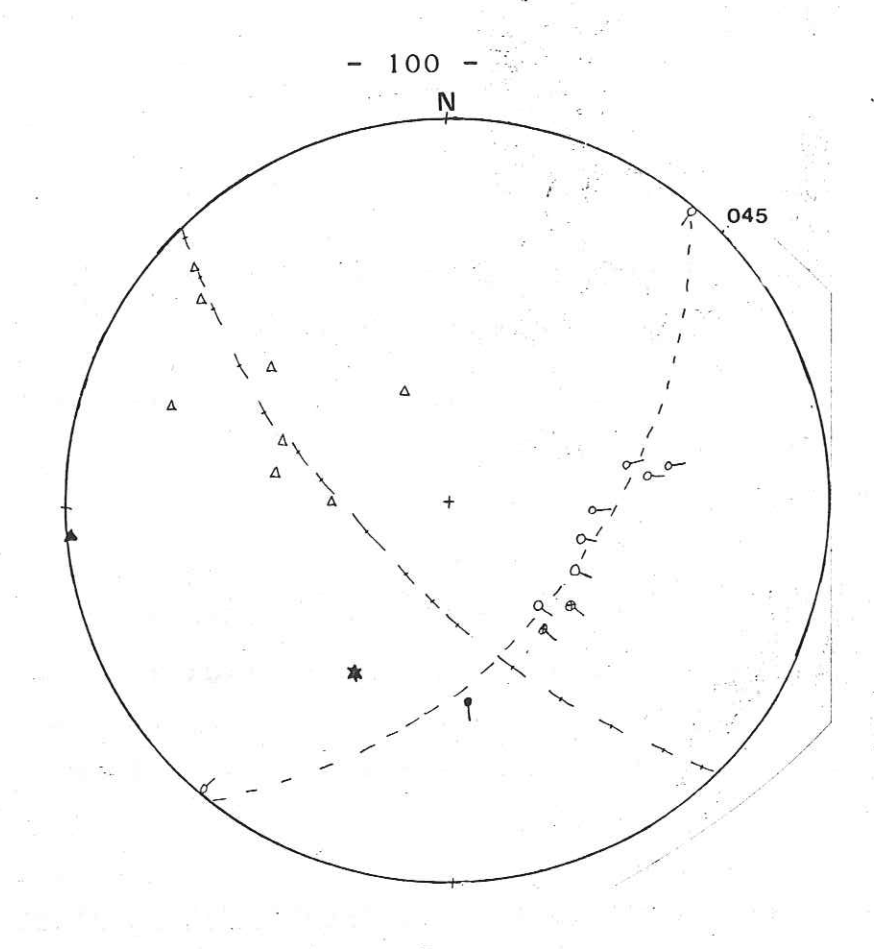


Fig.63 □ So O-P2

S S I ←P3

A S 2 ←P4

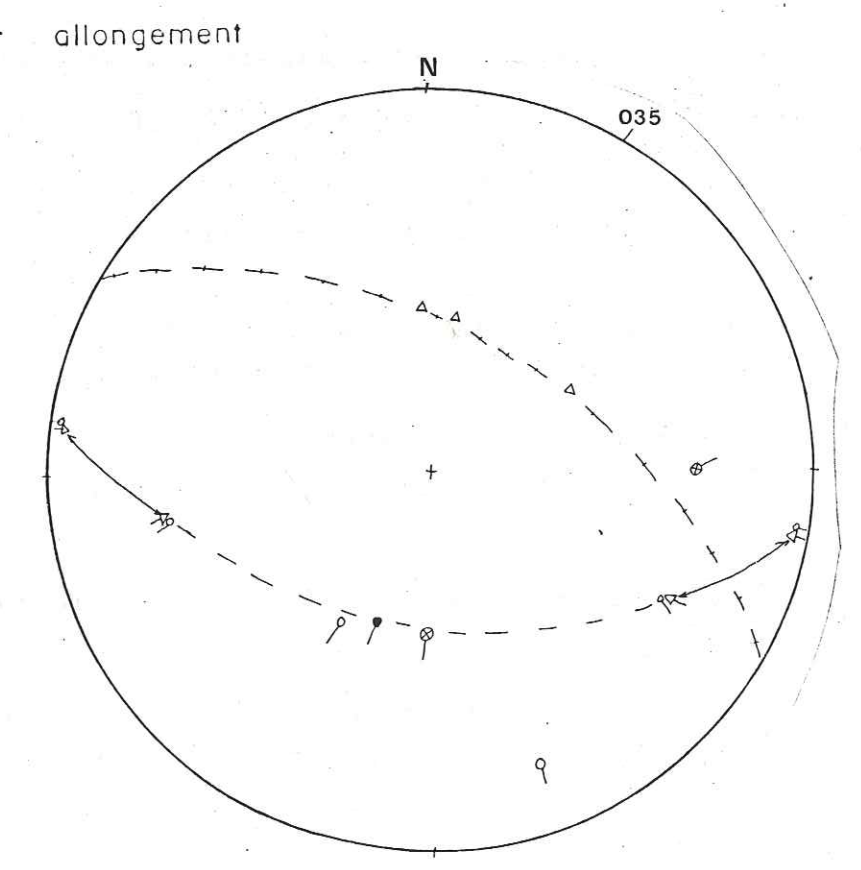
S 3 ←P4

Plan de dispersion des linéations

Z S 4 ++++ Plan de dispersion des schistosités

\* Fente d'extension

Fig. 64



#### affleurements: fig. 65:

- . j'attribuerai ces pyrites à une phase syn à post phase II, les queues tournent en effet avec les L2 et les L3.
- . l'arrangement des queues de pyrites est certainement dû à des glissements différentiels feuillets sur feuillets de S2 postérieurs à leur mise en place, et serait donc lié à une phase tardive montrant un étirement des structures ≃ N-S.

On se rend compte alors qu'il faudra être prudent dans l'étude des allongements, un tel mécanisme pouvant intervenir à plus grande échelle, et ainsi une même linéation sur un même niveau pourra prendre des directions tout à fait aléatoires.

1a3 - Les schistes à l'Ouest du Cormet de Roselend:

fig. 66 : Les affleurements rencontrés mon
trent une parfaite dispersion des microstructures. Les exemples
précédents nous permettent d'en imaginer la cause.

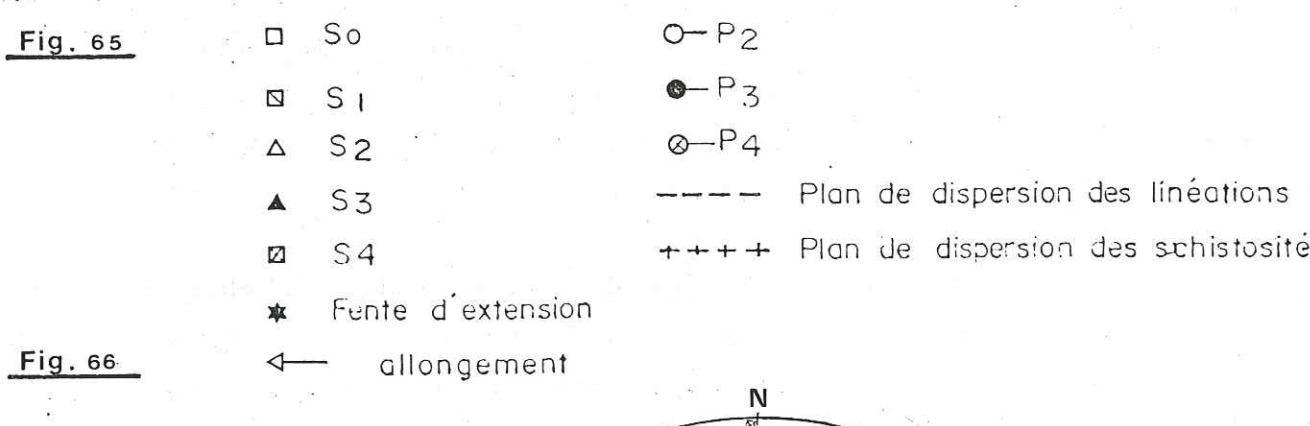
la4 - Conclusion à l'étude des terrains delphinohelvétiques proches du contact avec l'Unité de Moûtiers: Le style de déformation est semblable à celui que nous avons trouvé dans l'Unité de Moûtiers, en particulier les glissements tardifs sur les plans de schistosité S2 sont très bien marqués.

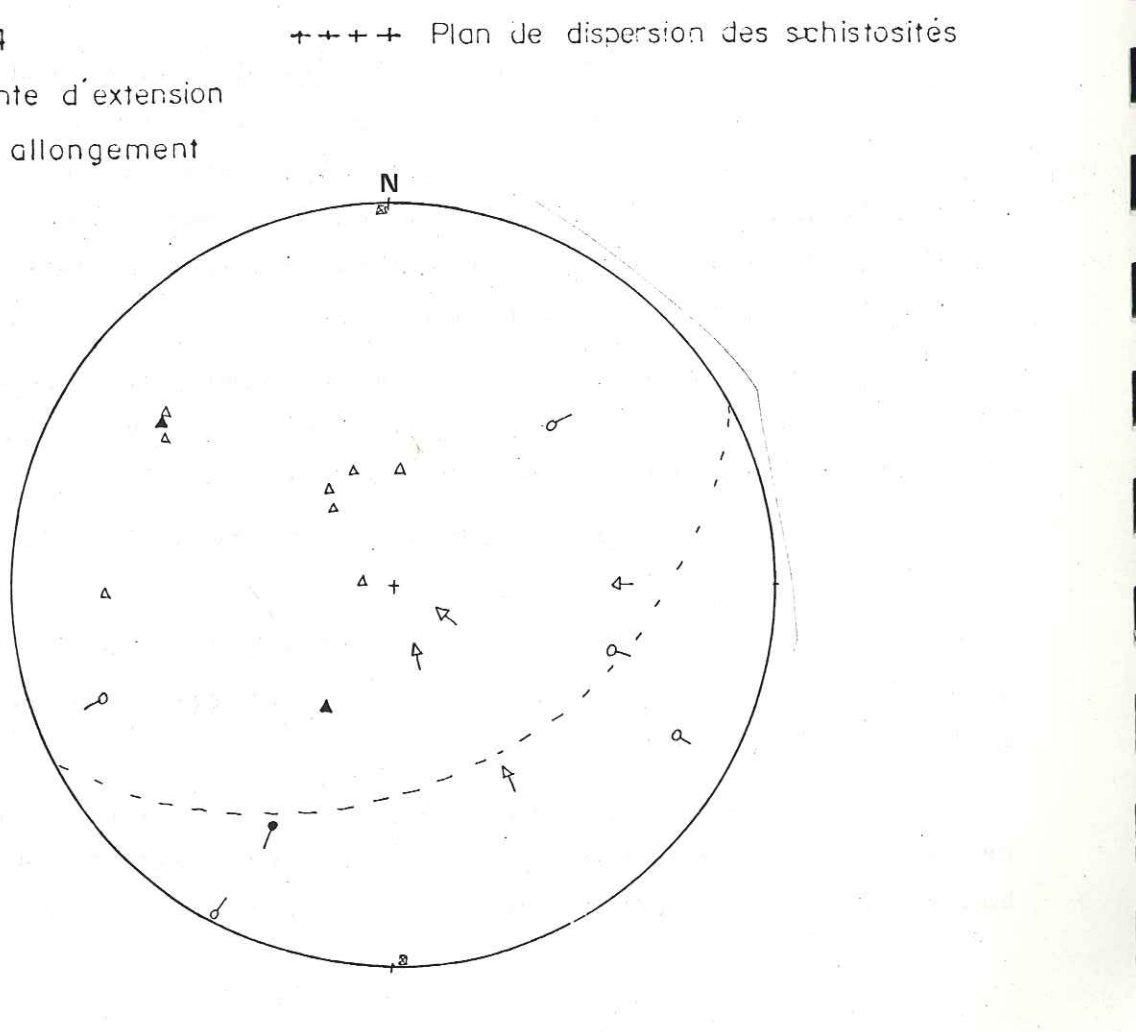
On retrouve le plissement tardif NO40 bien défini dans l'Unité du Roignais-Versoyen, ainsi que la phase en extension marquée ici par des torsions de linéations sur S2.

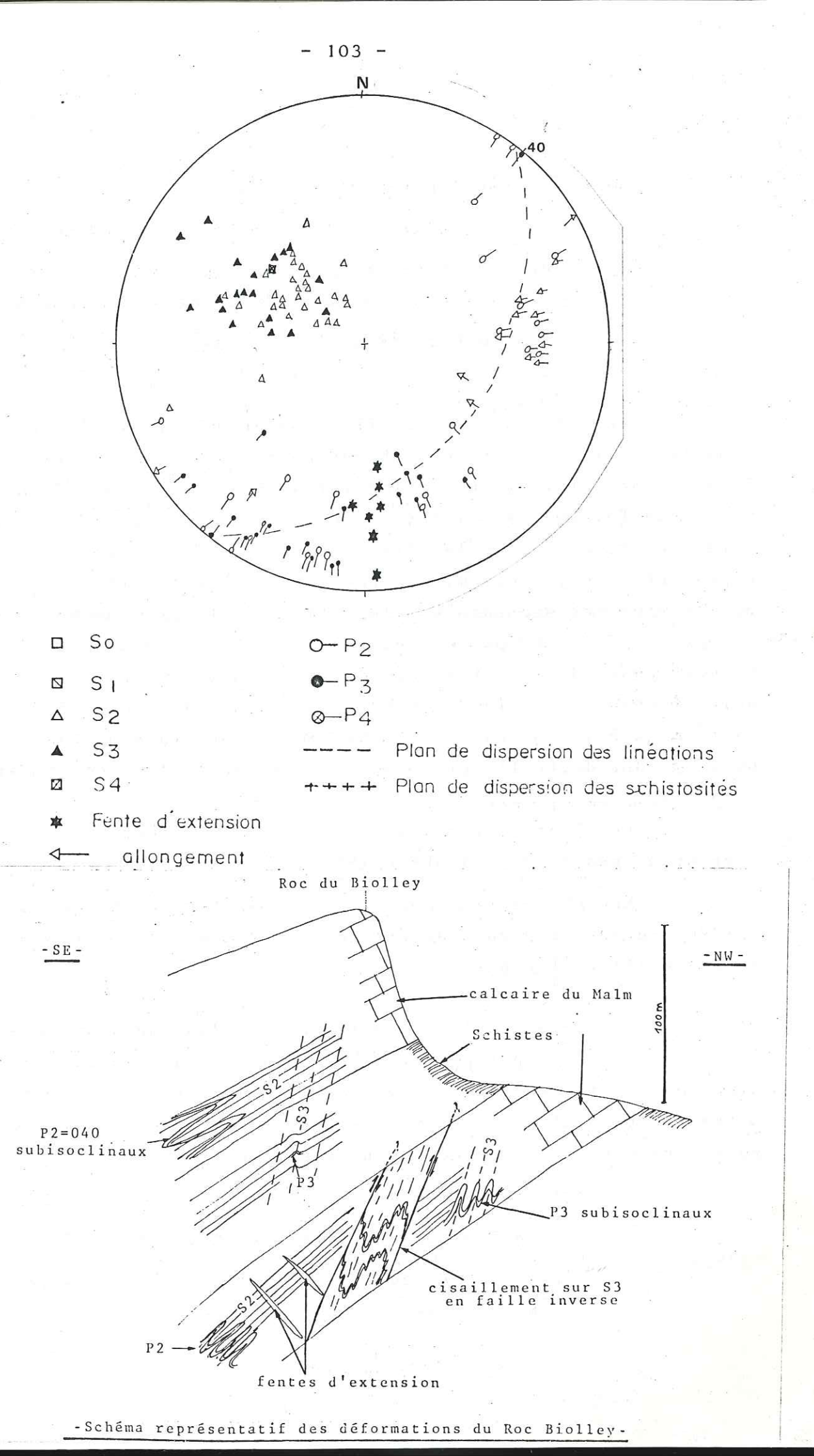
#### 1b - Le Roc Biolley.fig. 67:

Au Sud du Rocher du Vent (à 1'Est du Cormet de Roselend) la route qui mène du lac de Roselend aux Chapieux entaille plusieurs barres calcaires qui montrent des replis enchevêtrés tout à fait spectaculaires.

Nous nous intéresserons particulièrement aux deux barres supérieures attribuées au Malm (P. LANDRY), dont la plus haute constitue le Roc Biolley : fig. 68.







Les directions principales donnent :

- une dispersion des L2 et L3 sur la S2 moyenne.
- une concentration des allongements marqués par des queues de pyrites dans les directions NO90.
- des fentes E-W subverticales

Ce qui donne à cet affleurement un aspect d'anarchie dans le plissement est qu'à chaque phase il y a une recristallisation de calcite, en particulier dans les schistosités nouvellement formées. Ainsi chaque phase verra ses filons de calcite "interférer" avec les filons des phases précédentes.
Cependant le style des microstructures est tout à fait semblable à celui des secteurs voisins, les plis P3 très pincés dans
la barre inférieure pouvant être confondus avec des plis P2.
On voit aussi dans la barre inférieure des fentes sigmoides
qui affectent des plis P2 et P3, associées à des zones de cisaillement à jeu en faille inverse empruntant la schistosité S3.
On a là sans doute l'expression de la phase IV A en compression
(fig. 19).

tree Blad halffell we grately the figure 6 4

Des fentes de tension plongeant fortement au Nord peuvent être associées à la phase IVC.

Les queues d'allongement des pyrites de direction ~ N090 peuvent être considérées comme de phase II, reprises par la phase III et les phases tardives.

lc - <u>Conclusion à l'étude du domaine delphino-helvétique</u>: Les déformations décrites semblent en continuité avec celles décrites dans l'Unité de Moûtiers.

Cette remarque n'est évidemment valable que pour la très petite zone située près du Chevauchement Pennique Frontal.

On retiendra ainsi:

- la présence des trois schistosités S1, S2, S3
- les plis P2 subisoclinaux à isoclinaux sont de direction NO40 (Roc Biolley).

- les plis P3 tendent à prendre un style subisoclinal de type P2 (Roc Bioiley)
- il existe des rejeux sur les schistosités S2 et S3, ainsi que des ondulations N040 et des cisaillements sur la S3.
- on retrouve aussi la phase distensive créant les fentes d'extension subverticales du Roc Biolley.

## 2 - Le Houiller "brianconnais" :

111

11

Limite Sud de la région d'étude, la nappe du "Briançonnais"chevauche les Unités de Salins et du Petit-St-Bernard par l'intermédiaire d'une semelle gypseuse.

Les affleurements proches du secteur étudié sont rares et toujours dispersés au milieu du quaternaire. Les glissements de pentes de ces terrains sont fréquents, aussi les observations sont-elles souvent sujettes à caution.

- 2a <u>Les terrains du Briançonnais entre l'Unité de</u>

  <u>Salins et l'Isère</u>: Un très petit nombre de

  mesures a été fait, cependant on constate:
- 1es S3 sont très dispersées autour d'un axe ≈ N040-00, de même que les S2, entraînant les L2; les S3 se trouvent souvent en position subhorizontale.
- des fentes d'extension N130-85N sont perpendiculaires à cet axe de dispersion.
  - 2b Entre Séez et le Col du Petit St-Bernard : fig. 70 :

Les affleurements sont en général très peu sûrs; on ne retiendra que la dispersion des L3 sur une S2 moyenne, et un plongement très faible des S3.

> 2c - La Crête des Embrasures au Col de la Traversette (Sud du Col du Petit-St-Bernard) : fig. 71 :

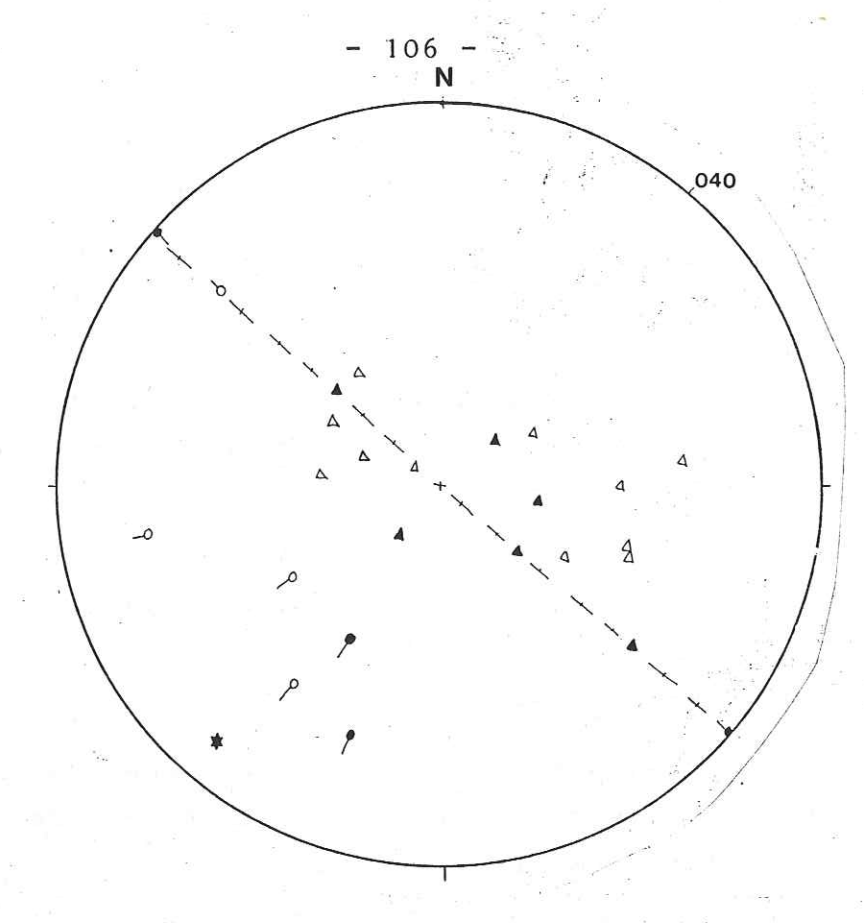


Fig. 69

□ So

0-P2

D SI

**6**−P3

Δ S2

Ø-P4

**▲** S3

---- Plan de dispersion des linéations

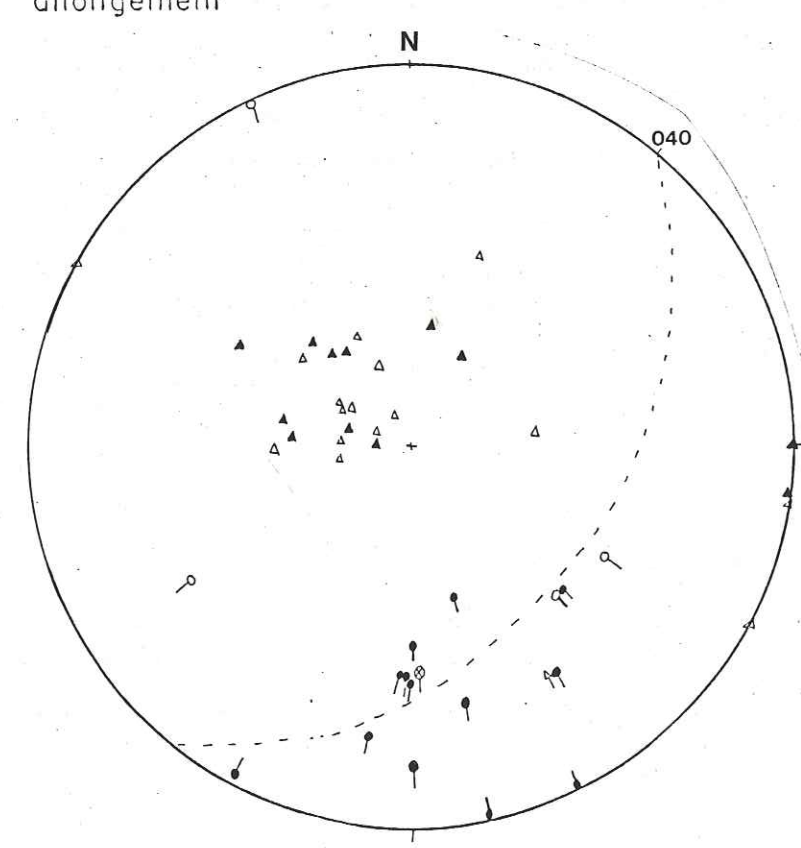
**2** 54

++++ Plan de dispersion des schistosités

Fente d'extension

Fig.70

**d** allongement



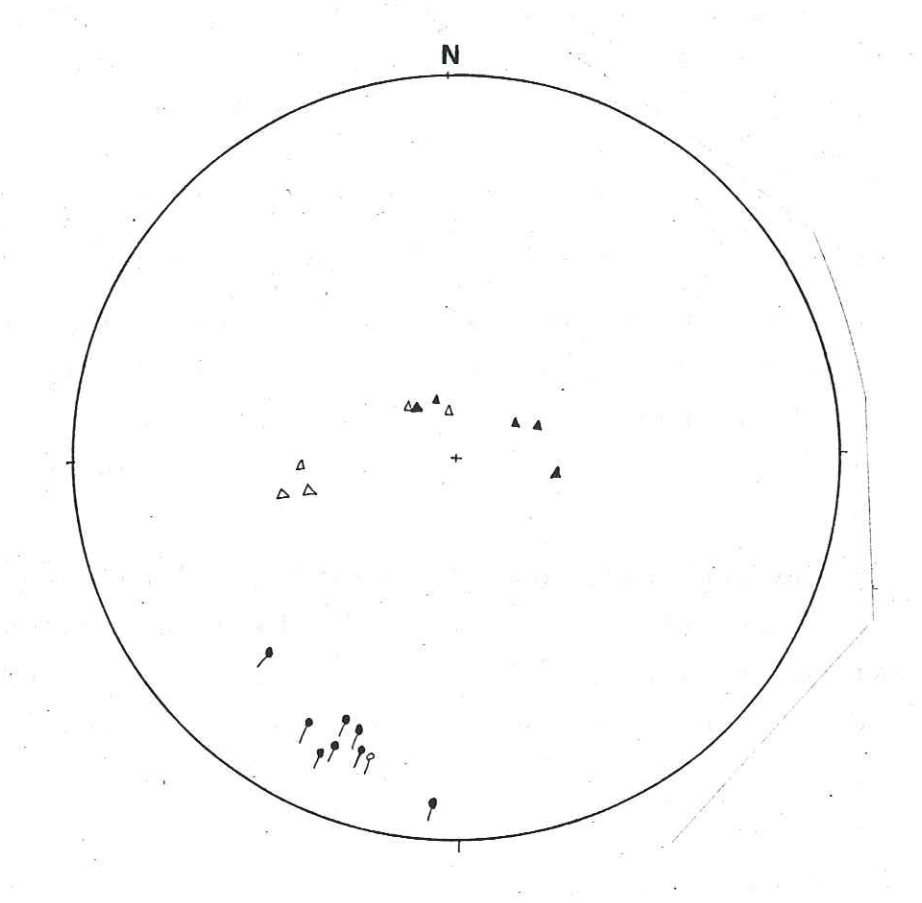


Fig .71

□ So

0−P2 •−P3

Δ 52

Ø-P4

▲ S3 Ø S4 ---- Plan de dispersion des linéations ++++ Plan de dispersion des schistosités

★ Fente d'extension

→ allongement

Sur cette crête la phase III est exprimée de façon très intense, au point que les plis P3 ressemblent fortement à des plis P2. La schistosité S3 est très peu pentée vers le Sud, et transpose presque la S2, au point que les linéations L2 ne sont plus discernables.

#### 2d-Conclusions sur le Houiller briançonnais :

Les niveaux schisteux proches du contact avec la Zone des Brèches de Tarentaise se prêtent peu à une étude microtectonique. Il faudrait pour une meilleure compréhension de cette zone, étendre le terrain d'étude, et notamment dans des régions plus internes.

On ne retiendra que l'expression forte de la phase III exprimée par ses plis P3 assez pincés (bien que toujours concentriques), et la schistosité S3 subhorizontale en bien des endroits, sans doute en raison des déformations tardives.

#### IV-CONCLUSION GENERALE:

Après un rappel des structures étudiées dans les différentes unités, nous tenterons de relier entre elles les principales déformations reconnues afin de définir l'évolution de la région.

coupes sériées : fig. 74.

## 1 - Les phases "antéschisteuses" ou "anté"flysch"":

Des mouvements verticaux de socle sont admis pour ces phases, reconnaissables actuellement par la seule étude stratigraphique et cartographique.

Le plissement à vergence SE qui a été décrit dans le Trias de Crêt Bettex révèle des déformations précoces de style assez souple, mais en raison de l'unicité de cette observation, on ne peut lui donner une portée générale.

## 2 - Les phases synschisteuses ::

 $\underline{Phase}$  I : Elle est surtout exprimée par une foliation contemporaine des plis isoclinaux très étirés, dont la direction n'est pas déterminable.

 $\underline{\text{Phase}}\ 2 : \text{Elle est présente partout et est marquée par une schistosité S}_2 \text{ de crénulation fine, plan axiale de plis P2 subisoclinaux NO40 à déversement vers le Nord-Ouest.}$  Les grands contacts anormaux sont sans doute apparus au cours de cette phase II.

<u>Phase II'</u>: Elle est bien exprimée dans la partie interne de l'Unité du Roignais-Versoyen et dans l'Unité du Petit-St-Bernard, par des plis N170 déversés à l'Ouest, et par une schistosité plan axiale de même type que la schistosité S<sub>2</sub>.

Les phases synschisteuses I, II et II' sont dues à des déformations tangentielles donnant naissance à des schistosités subhorizontales (à pendage vers le Sud-Est accentué lors des phases tardives) et à des plis de style souple. Les allongements parallèles aux axes de plis P2 ont été interprétés par une déformation "en rouleaux", avec constriction perpendiculaire à la chaîne alpine. La phase II', avec les directions de plis P'2 N150 à N170 est la plus délicate à expliquer : elle possède, là où on peut la mettre en évidence, les mêmes caractéristiques microstructurales que la phase II, et elle s'est produite probablement en continuité avec celle-ci. Cette phase

- 111 - FIG. 72: Tableau récapitulatif des différentes phases de déformation:

)

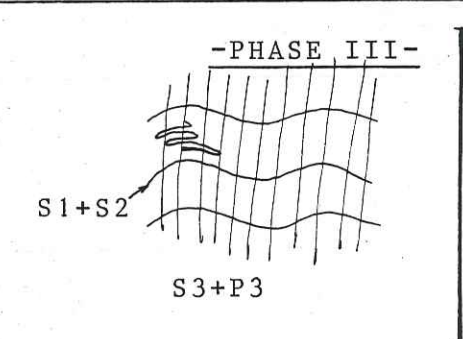
		S			
PHASE	STYLE	ECHELLE	DIRECTION	VERGENCE	EXTENSION
nté-S1	plis concentr.?	décam.à	?	SE?	tt.la région
2 H	je de soudet .			77 *	e >
	foliation S1		?	?	}
I	Pl isocl.couchés	+ décim.	?	?	tt.la région
ì	S2 de crénulation		~N040-30SE	SE	}
II	P2 subisoc1.	mm.à km.	NO40	สพ	No.
	allongement		N040	SW	tt.la région
=	chevauchements	km.	≃N040 30SE	SE	}
-				9 9	
II'	S'2 de crénulat.		≃N100-30S	S	) partie intern ) du Roign.Vers
	P'2 subisoc1.	m.àkm.	N170	S	et U.Pit.St.B
° =		1 1/2	15 " 18	S ( )	
III	S3 de crénulation		≃N020-90		}
	P3 ondulations	mm.à km.	N020		tt.la région
	ondulations	m.à.km.	N050		}
IVA	rejeux sur S2	3	×		) } *** 1
	chevauchements	m.à km.			tt.la région
		531		4.5	
TVR	ondulations et	2		10.	
	kinks	3 m.à décam.	N150	S	tt.la région
IVC	fentes	cm.à hm.	N080-80S	N	tt. la région
	boudins		= 24c <sub>1</sub>		
	*	A	2	F T 1 1 1 1	
2 2	fract.sans	12 10 10	. =		
IVD		m.à km.	N120-90		tt. la région
	rejet		1		



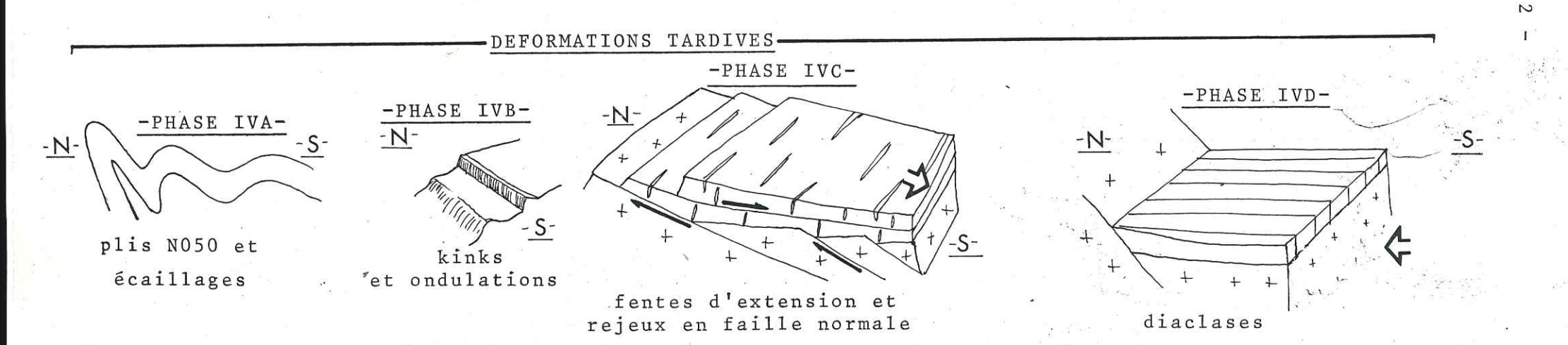
S1+P1

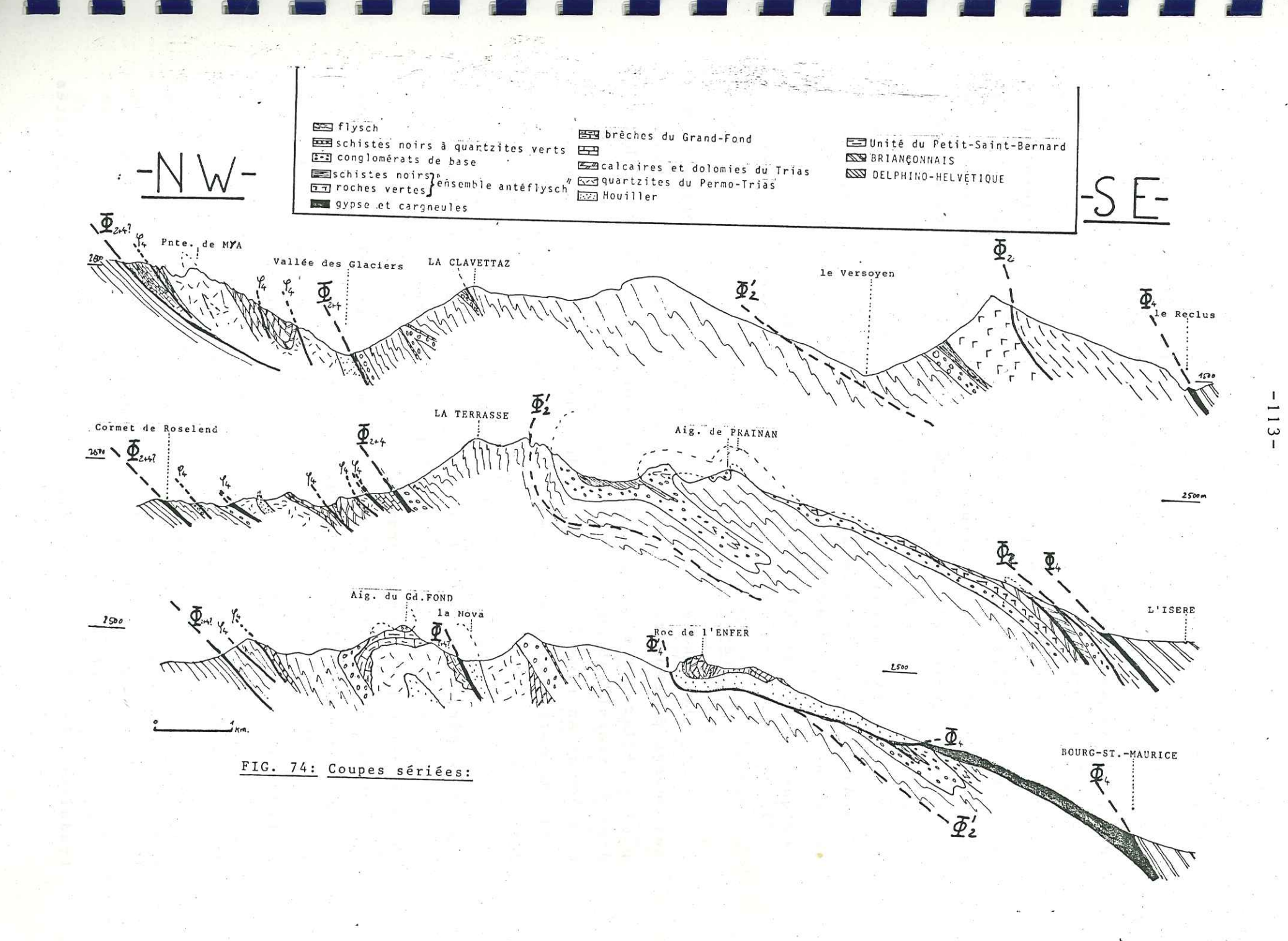


S2+P2 (et S'2+P'2)



DEFORMATIONS SYNSCHISTEUSES





II' est expliquée par un cisaillement vers l'Ouest.

La mise en place de l'Unité du Petit-St-Bernard a été reconnue de phase II, cette unité étant affectée par la phase II' de la même façon que la partie interne de l'Unité du Roignais-Versoyen.

Phase\_III : Elle se marque par des ondulations NO20 qui sont associées à une schistosité de fracture S3 assez fruste et subverticale. Les anticlinaux de Crêt Bettex et du Pont-St-Antoine sont attribuables à cette phase. Le style de déformation marque un changement dans le comportement des matériaux : on passe de la déformation souple des phases I, IÍ et II' à une déformation de style plus superficiel. La phase III s'exprime comme un "gaufrage" de la région par un serrage ~ E-W. On a en quelques sortes un "blocage" des mouvements de nappes.

#### 3 - Les phases tardives :

Les phases tardives correspondent à la continuation des phases précédentes, avec un style de déformation de plus en plus superficiel; elles peuvent cependant être très rapprochées dans le temps ("subcomporaine"), leur distinction est faite uniquement en fonction des types de structures; compte tenu du style de celles-ci, les attributions chronologiques sont très délicates.

Phase IVA: Elle correspond à des ondulations amples de direction NO40 àNO50 (de type "anticlinal du Grand-Fond") présentes dans toute la région; ces ondulations évoluent en plis-fracture vers le Nord-Est, jusqu'à un biseautage des séries (Massif de Mya); de nombreuses fractures et rejeux de grands contacts de phase II sont imputables à cette phase. La mise en place de l'Unité de Salins dans notre région est sans doute aussi de phase IVA (troncature des structures de phase II').

<u>Phase IVB:</u> Surtout évidente dans l'Unité du Petit-St.Bernard par des ondulations et plis de direction N150; on doit aussi y associer les plis en chevrons et les kinks visibles dans toutes les unités.

Phase IVC: On peut rendre compte de cette phase par la surrection des massifs cristallins externes, se traduisant dans la région étudiée par des rejeux de discontinuités

en failles normales (rejeux sur la S2 en général), et aussi des fentes d'extension de direction ENE-WSW à fort pendages.

Phase IVD: Un réseau de fractures sans rejet apparent, de direction N110 àN130, hache la région étudiée. On interprétera dans un premier temps ces fractures comme l'équivalent d'un diaclasage sous l'effet d'un serrage perpendiculaire à la chaine.

#### B-Les secteurs voisins de la région étudiée:

L'étude microtectonique dans les secteurs proches de la région étudiée a été jusqu'à présent assez succincte. Les problèmes stratigraphiques nombreux ont fait l'objet d'incessantes recherches; l'évolution tectonique de cette partie des Alpes était déduite de l'évolution paléogéographique.

On retiendra cependant les travaux récents de J.P.GRATIER, B.LEJEUNE, J.L.LAVERGNE (1973), et de B. PIJOLAT (1978), pour l'étude des déformations dans la Zone delphino-helvétique:

-la schistosité S1 est mal définie par ces auteurs.

-la schistosité S2 est plan axiale de plis subisoclinaux N040.

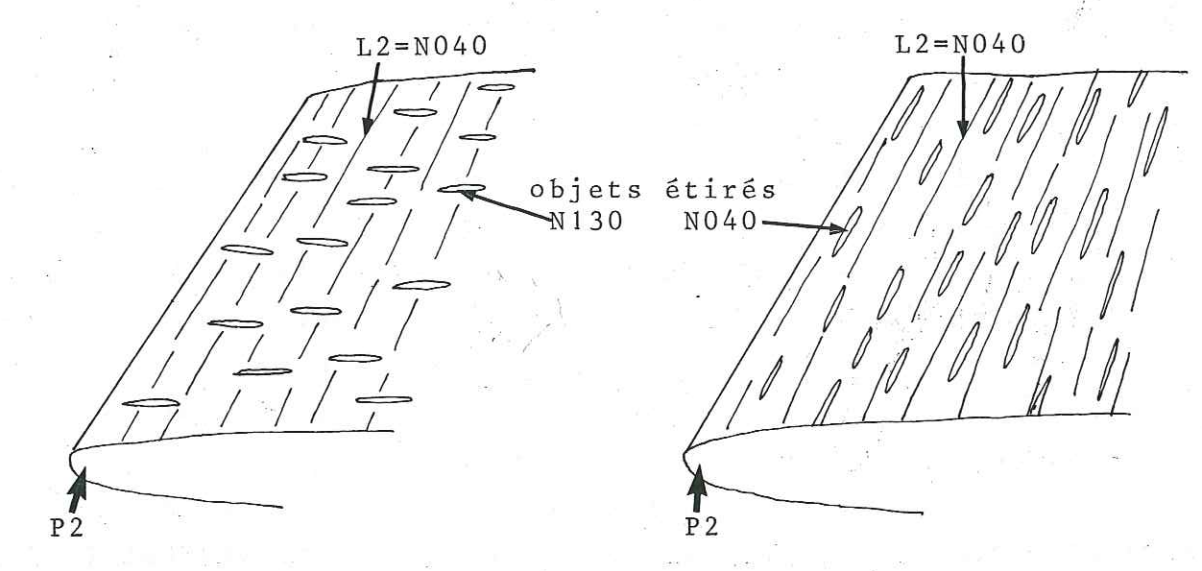
-les allongements attribuables à la phase II sont décrits en général N120 (soit perpendiculaire aux axes de plis P2), avec parfois des directions d'étirement parallèles aux axes de plis qui ne sont pas discutés (fig.75A).

-il existe une phase III de même type que dans la Zone des Brèches de Tarentaise.

 $-\mbox{les}$  structures tardives sont comparables à celles que nous avons reconnues.

Ces différents auteurs décrivent un sens de cisaillement parallèle aux étirements (perpendiculaire aux axes de plis P2). Nous voyons là une différence essentielle dans le comportement des matériaux de deux régions voisines, et donc une différence notable des climats tectoniques lors de la phase II (fig. 75A). Nous ne pouvons donc pas admettre que le contact entre l'Unité delphino-helvétique et la Zone des Brèches de Tarentaise est de phase II, à moins de remettre en cause la valeur des observations effectuées dans les secteurs delphino-helvétiques: l'importance des phases tardives y a peut-être été sous estimée, et les plis

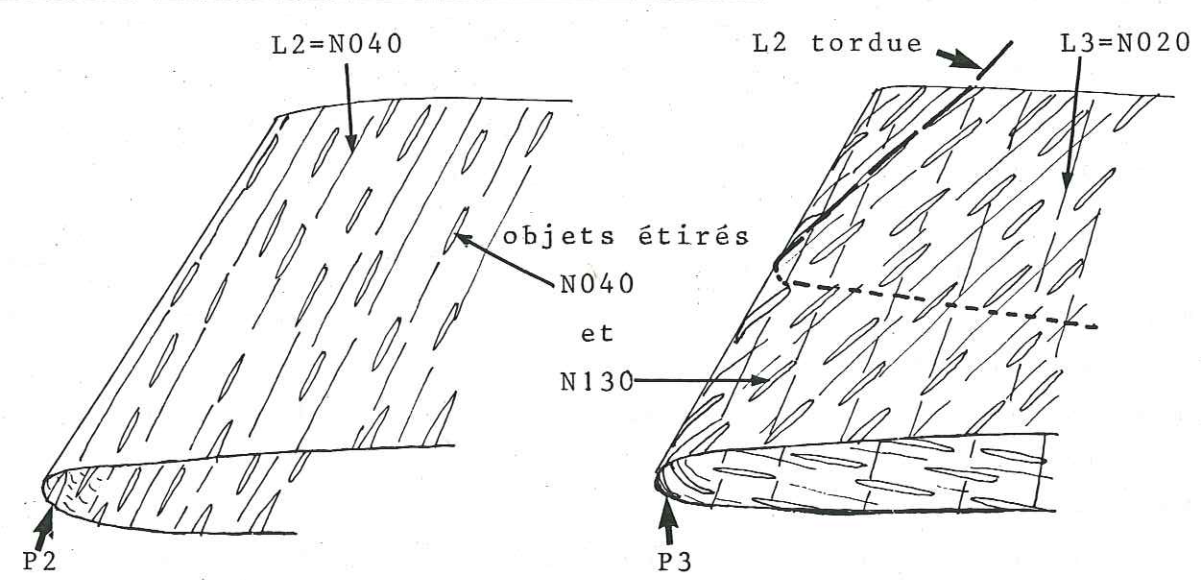
## FIG. 75A: Comparaison du style de déformation entre la Zone delphino-helvétique et la Zone des Brèches de Tarentaise:



Zone\_delphino-helvétique\_

Zone des Brèches de Tarentaise\_

## FIG. 75B: Linéations de phase II et pli P3 subisoclinal:



pli P2 et déformation "en rouleau" pli P3 et linéations et allongements de phase II tordus par déformation hétérogène P3, qui peuvent être très évolués (voire plis P3 subisoclinaux du Roc Biolley), peuvent être une cause de réorientations des allongements de phase II (fig. 75B) parallèlement à un sens de cisaillement, par déformation hétérogène sur la S3.

## - 118 - C-Chronologie des phases tectoniques:

Nous n'avons jusqu'à présent donné qu'une chronologie relative des déformations.

Les terrains les plus récents dans la Zone des Brèches de Tarentaise sont ceux du flysch s.s., qui n'est pas daté avec certitude (Crétacé supérieur-Eocène ?), et qui est affecté par la phase I. Il est donc impossible de donner une chronologie absolue des déformations observées.

Différents auteurs, pour des régions différentes, ont tenté de cerner chronologiquement la tectonique des Alpes franco-italiennes:

/ P.TRICART, J.M.CARON, M.GAY et P.VIALON (1977), sur une transversale du Pelvoux, proposent des âges "compatibles avec des données radiométriques":

°Eocène supérieur-Oligocène pour la phase I.

 $\Pi$ 

 $\mathbf{\Pi}$ 

°Oligocène supérieur ? pour la phase II.

°Néogène ? pour la phase III.

/ J.M.CARON (1977) pour les schistes lustrés piémontais attribue:

°la phase I au Sénonien;

°la phase II à la limite Eocène-Oligocène.

/ J.P.GRATIER, B.LEJEUNE et J.L.VERGNE (1973)
proposent pour la Zone delphino-helvétique:

°Crétacé supérieur pour la phase I.

°Priabonien-Oligocène pour la phase II.

°Miocène-Pliocène pour la phase III.

Nous relèverons cependant qu'une barre (au moins) de calcaire nummulitique à été décrite (G.MENNESSIER (1965), P.LANDRY (1976)) dans la coupe du Rocher du Vent, au proche contact avec la Zone des Brèches de Tarentaise. Cette barre, datée plus précisement du Priabonien par P.LANDRY, est impliquée dans de grandes structures isoclinales attribuables à la phase II, mais le fait important est que la phase I y semble aussi exprimée. On aurait là la preuve que la phase I dans cette région est nettement post-Priabonienne, ce qui remet en question la datation des différentes phases tectoniques pour notre secteur d'étude.

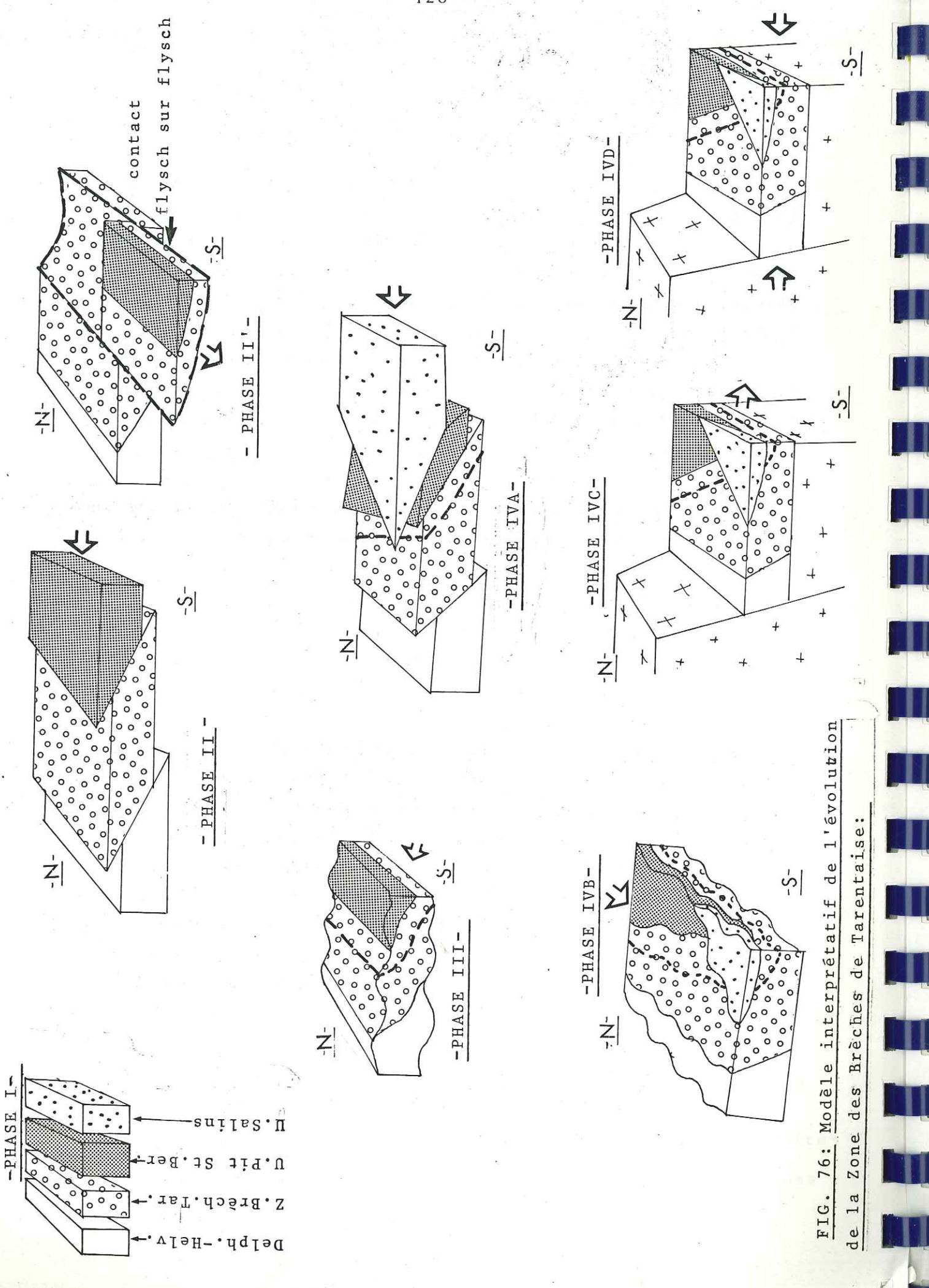
## D-Essai de modélisation de l'évolution tectonique dans la Zone des Brèches de Tarentaise: fig. 76:

Nous pouvons schématiser l'évolution tectonique de la région étudiée par deux périodes de déformation:

-Première période: déformations plastiques des phases I, II et II', avec mise en place de l'Unité du Petit-St.Ber-nard, peut-être aussi de l'Unité de Moûtiers sur le Delphino--Helvétique.

-Deuxième période: style superficiel et déformations cassantes des phases tardives; on a reconnu la possibilité de jeux cisaillants subhorizontaux avec le chevauchement de l'Unité de Salins.

La phase III servirait de transition entre ces deux périodes, avec le blocage des mouvements de nappes.



#### E-Conclusion:

Le présent travail a permis d'éclaircir la tectonique de la Zone des Brèches de Tarentaise, au Nord de Bourg-Saint--Maurice:

- les phases synschisteuses ont été individualisées.
- -1'importance des déformations tardives a été soulignée.

Il serait hâtif de vouloir tirer de cette étude restreinte en surface des conclusions sur la genèse des Alpes. Tout au plus pouvons-nous nous faire une idée du type d'évolution de la zone comprise entre le Domaine delphino-helvétique et le Domaine briançonnais; la phase III marquerait la transition entre les déformations souples et les déformations de style plus superficiel.

La phase II, en particulier, permet de supposer que le système de contrainte a changé de direction dans le temps: nous devons en effet invoquer des cisaillements horizontaux Est-Ouest pour expliquer les plissements et les structures associées N170, et non pas uniquement et invariablement des cisaillements horizontaux vers le Nord-Ouest ou le Nord-Nous avons là l'indice d'une évolution complexe de la chaîne alpine, dans laquelle les déformations de couverture, liées à des mouvements de nappes, interfèrent sans doute avec des mouvements synchrones de blocs de socle.

La chronologie absolue des différentes phases n'a pu être établie par manque de séries "post-tectoniques";la phase I cependant doit être considérée comme post-priabonienne.

#### BIBLIOGRAPHIE.

- M.d'ALBISSIN(1963)-Traces de la déformation dans les roches calcaires Rev.Géogr. phys. dynam.,fasc. suppl.1963.
- A.AMSTUTZ(1975)-Structures alpines entre Tessin et Grisons.

  <u>Arch.des Sci. vol.28, fasc.1, pp.25 à 40.</u>
- A.AMSTUTZ(1977)-Subductions cisaillantes et création de nappes sans racine dès l'origine. C.R.Acad. Sci. Paris, t. 283.
- A.AMSTUTZ(1975)-Formation des Alpes entre Ivrée et Genève. C.R.Acad. Sci. Paris, t. 284.
- J.ANDRIEUX(1970)-La structure du Rif central. Thèse Montpellier.
- P.ANTOINE(1968)-Sur la position structurale de la "Zone du Versoyen".

  <u>Geol. alpine,t.44.</u>
- P.ANTOINE(1971)-La Zone des Brèches de Tarentaise entre Bourg-St-Maurice et la frontière italo-suisse. Thèse Grenoble.
- P.ANTOINE, R.BARBIER, J.COLLART (1973) Mise en évidence d'un pli couché kilométrique dans la Zone des Brèches de Tarentaise au Nord-Ouest d'Aime (Savoie) et ses conséquences structurales.

  Geol. alpine, t. 49.
- F.ANTOINE, J.L. PAIRIS, B. PAIRIS (1975) Quelques observations nouvelles sur la structure de la couverture sédimentaire interne du massif du Mont Blanc entre le col Ferret et la Tête des Fours. Geol. alpine, t.51.
- P.ANTOINE, P.LANDRY (1976) Précisions nouvelles sur l'extension du domaine helvétique en Savoie, à l'arrière de l'axe cristallin Belledonne-Mont Blanc. Eclogae geol. Hel., 69/2.
- J.AUBOUIN (1977)-Méditerranée orientale et Méditerranée occidentale: esquisse d'une comparaison du cadre alpin. <u>Bull. Soc. geol.Fr.</u>, (7),t.24,n.3,p.421.
- A.AUTRAN, M. FONTEILLES, J. GOGUEL, G. GUITARD (1972) Sur l'origine de la schistosité. C.R. Acad. Sci. Paris, t. 274, série D, p. 1889.
- S.N.AYRTON (1972)-Prolongement de la nappe de Morcles en France. Eclogae geol.Hel.,2,1972.

- S.N.AYRTON, J.G.RAMSAY (1974) Tectonic and metamorphic events in the Alps. Schweiz.mineral. petrogr. Mitt., Schweiz, (1974), 54, N°2-3.
- H.BADOUX(1963)-Les unités ultrahelvétiques de la zone des cols. Eclogae geol.Hel.,56,1.
- J.C.BARFETY(1976)-Données nouvelles sur les traits fondamentaux de la structure de la zone dauphinoise au Nord du massif du Pelvoux. C.R.Acad. Sci.Paris, t. 283.
- J.M.BERTRAN (1968) Etude structurale du versant occidental du massif du Grand Paradis. Geol. alpine, t. 44.
- J.BIENFAIT (1976) -La schistosité du Mésozoique et du Carbonifère dans le massif des A-guilles Rouges et la zone sédimentaire de Chamonix. D.E.A. Montpellier.
- J.BOCQUET(1974)-Le socle briançonnais: arguments en faveur de son polymétamorphisme. C.R.Acad. Sci. Paris, t. 278, série D, p. 2601.
- C.BORDET (1961)-Recherches géologiques sur la partie septentrionale de Belledonne. Thèse Paris.
- J.L.BOUCHEZ(1971)-Exemples de traitement automatique des données numériques en géologie structurale et en pétrologie. Thèse Nantes.
- M.BRUNEL, J. GEYSSANT (1978) Mise en évidence d'une déformation rotationnelle Est-Ouest par l'orientation optique du quartz dans la fenêtre des Tauern (Alpes orientales). Rev. Geogr. phys. et Geol. dynam., (2), vol. 20; fasc. 4, p. 335.
- R.CABY (1968)-Contribution à l'étude structurale des Alges occidentales; , sbdivisions stratigraphiques et structure de la zone Grand-St-Bernard dans la partie Sud du Val d'Aoste. Geol.alpine, t. 44.
- R.CABY (1973)-Plis transversaux dans les Alpes occidentales pour la génèse de la chaîne alpine.Soc. Geol.France,xv,p.624.
- R.CABY, J.R.KIENAST, P.SALIOT (1976) Modèle d'évolution des Alpes occidentales. Contrib.C.G.G. n.225.
- R.CABY, J.R.KIENAST, P.SALIOT (1978) Structure métamorphique et modèle d'évolution tectonique des Alpes occidentales. Rev. Geogr. Phys. (2), vol. XX, fasc. 4, p. 307, Paris.
- E.CARFANTAN (1973)-La bordure sédimentaire du massif de Belledonne entre la vallée de l'Arc et Albertville. Ann.C. Univ. Savoie.
- Y.CARISTAN(1975)-La déformation plastique des lherzolites de l'étang de Lers. Thèse Paris.
- F.CARME (1970)-Caractères fondamentaux de l'architecture d'ensemble des chaînes de Belledonne et des Aiguilles Rouges. <u>C.R.Acad.Sci. Paris</u> t.271.

- F.CARME (1971) Des phases successives de déformation continue dans l'ensemble Belledonne-Aiguilles Rouges. C.R. Acad. Sci. Paris, t. 273.
- J.M.CARON (1971)-Contributional'étude lithostratigraphique et structurale de la région de Sestrière (Alpes cottiennes Italie).

  Geol.alpine, t. 47.
- J.M.CARON, F. SCHUMACHER, P. TRICART (1973) Chronologie et évolution des structures dans les schistes lustrés piémontais des Alpes cottiennes (France et Italie). Sci. Geol. Bull., 26, 2-3.
- J.M.CARON (1973)-Les glissements synschisteux dans les schistes lustrés piémontais; leur liaison avec les rétrocharriages. Sci. Geol. Bull., 26, 2-3.
- J.M.CARON (1974)—Les gissements synschisteux, reflets dans les schistes lustrés de mouvements de socle? Geol. alpine, t.50.
- J.M.CARON (1974)-Rapports entre diverses "générations" de lawsonite et les déformations dans les schistes lustrés des Alpes cottiennes septentrionales. B.S.G.F., XVI, n.3.
- J.M.CARON (1977)-Lithostratigraphie et tectonique des schistes lustrés dans les Alpes cottiennes septentrionales et en Corse orientale. Thèse Strasbourg.
- P.CHOUKROUNE (1968) Un exemple d'anamyse microtectonique d'une série calcaire affectée de plis isopaques. Tectonophysics, 7(1), p.57.
- P.CHOUKROUNE (1971)-Contribution à l'étude des mécanismes de la déformation avec schistosité grâce aux cristallisations syncinématiques dans les "zones abritées". B.S.G.F., (7), XIII, n.3-4, p.257.
- P.CHOUKROUNE (1972)-Relations entre tec-onique et métamorphisme dans les terrains secondaires dans la zone nord-pyrénenne centrale et orietale. B.S.G.F.(7),t.XIV,P.3.
- J.COLLART (1973)-La Zone des Brèches de Tarentaise entre Montgirod et le vallon du Cormet d'Arêches (Savoie). Thèse Grenoble.
- J.DEBELMAS, M.LEMOINE (1964) -Lastructure tectonique et l'évolution paléogéographique de la chaîne alpine d'après les travaux récents. Extrait de l'inform.sci. N°1.
- J.DEBELMAS (1970)-Alpes: Savoie et Dauphiné. Guide géologique régional.
- J.DEBELMAS (1974)-Les chaînes plissées du cycle alpin et leur avant pays. Geol.de la France, vol.II.
- J.DEBELMAS (1975)-Les Alpes et la théorie des plaques. Rev. Geogr. Phys. (2),vol.XVII,fasc.3,p.195,Paris.
- M.E.DENAEYER (1945)-Essai d'une théorie mécanique de la structure cone-in-cone.B.S.G.F.; 15, 1945, p. 141.
- F.ELLENBERGER (1958)-Etude du pays de Vanoise. Thèse Paris.

- P.ELTER (1954)-Etudes géologiques dans le Val Veni et le Vallon du Breuil Thèse Genève.
- G.etP.ELTER (1965)-Carta geologica della regioe del Piccolo San Bernardo.

  Publ.du centre pour l'étude géologique et pétrographique des

  Alpes, XXXV.
- G.ELTER (1971)-Schistes lustrés et ophiolites de la zone piémontaise entre Orco et Doire Baltée: hypothèses sur l'origine des ophiolites. Geol.alpine, t.47.
- D.FABRE, J.P.ROBERT (1975) Analyse expérimentale des ruptures de la couverture liées à un mouvement décrochant du socle et application. Ann. Soc.Geol., XCV, 3.
- D.FABRE (1976)-Quelques observations sur la déformation et la fragilité des argiles et des roches. Thèse Grenoble.
- S.FUDRAL (1973)-Contribution à l'étude de Moûtiers entre le torrent du Cormet d'Arêches et le hameau des Chapieux. Thèse Grenoble.
- G.GAND (1973)-Contribution à l'étude géologique des déformations permo-triasiques de la partie septentrionale de Belledonne de la vallée de l'Arly au lac de la Girotte. Thèse Grenoble.
- M.GAY (1972)-Le Massif d'Ambin et son cadre de schistes lustrés. Arch. Sci. Genève, vol. 25; fasc. 2, p. 165.
- J.GOGUEL (1945)-Sur l'origine mécanique de la schistosité. B.S.G.F.(5), N.15, p.509.
- GRATIER, LEJEUNE, VERGNE (1973)-Etude des déformations de la couverture et des bordures sédimentaires des massifs cristallins externes de Belledonne, du Pelvoux, des Grandes Rousses. Thèse Grenoble.
- Y.GROS (1974)-Etude pétrologique et structurale du Beatfortin. Thèse Grenoble.
- J.L.LAGARDE (1978)-La déformation des roches dans les domaines à schistosité subhorizontale. <u>Thèse Rennes.</u>
- P.LANDRY (1976)-Contribution à l'étude géologique de la région de Roselend. Thèse Grenoble.
- J.L.LASSERRE, C.LAVERNE (1976)-Levolcanisme thléitique de la Zone du Versoyen (Alpes franco-italiennes). Thèse Grenoble.
- P.LAURENT, A.ETCHECOPAR (1976)-Mise en évidence à 1' aide de la fabrique du quartz d'un cisaillement simple à déversement Ouest dans le Massif de Doara Maira. Bull.Soc.geol., (7), t.XVIII; n.6, p.1387.
- M.MATTAUER, F.PROUST (1976)-La Corse alpine: modèle de génèse du métamorphisme haute pression par subduction de croute continentale sous du matériel océanique. C.R.Acad.Sci. Paris, t. 282, série D, p. 1249.

- G.MENNESSIER (1965)-Sur la présence des nummulites dans de Roselend. C.R. Soc. Geol, France, 4, p. 133.
- A.PARIS (1969)-Relationentre la déformation et la fracturation des roches en Provence occidentale. Thèse Grenoble.
- B.PAIRIS (1975)-Contribution à l'étude stratigraphique, tectonique et métamorphique du Massif de Platé(Haute Savoie). Thèse Grenoble.
- B.PIJOLAT (1978)-Les déformations des terrains secondaires de la région de Megève: mise en évidence d'une zone de cisaillement dans un plan horizontal. Thèse Lyon.
- G.POUPINET (1976)-Sur l'existence d'un manteau à très faible vitesse sous les Alpes occidentales et ses implications tectoniques. B.S.G.F.,t.XVIII,N°5,p.1073.
- J.G.RAMSAY (1963)-Stratigraphy structure and metamorphism in the western Alps. Proc. Geol. Assoc., vol. 74, part 3.
- J.REAU (1977)-Les zones briançonnaise et subbriançonnaise dans le Vallone dell'Arma, province de Cuneo (Italie). Thèse Grenoble.
- D.ROBERT (1976)-Points de vue nouveaux sur la structure des klippes de Savoie. D.E.A. Paris .
- J.P.ROBERT (1976)-Les décrochements: fracturation et mouvements de blocs associés; exemples des massifs subalpins dauphinois. Thèse Grenoble.
- J.P.ROBERT, P.VIALON (1976) Déformation interne et aux limites dans un assemblage de blocs découpés par un cisaillement. B.S.G.F., t.XVIII, N°6, p.1599.
- J.ROSSET (1968)-Points de vue nouveaux sur la structure des klippes de Savoie. Geol.alpine, t. 44.
- C.SAINT LEU, J.LERAU, P.SIRIES (1978) Mécanismes de rupture des schistes de Lacaune (Tarn). Influence de la pression isotrope.

  Bull. Min., 101, p. 437.
- P.TAPPONNIER (1977)-Evolution tectonique du système alpin en Méditerranée:poinçonnement et écrasement rigide-plastique. B.S.G.F., (7), t.XIX, N°3, p.437.
- P.TRICART, J.M. CARON, M. GAY, P. VIALON (1977) Relais de schistosité, structures en éventail et discontinuités majeures sur la transversale du Pelvoux.Bull.Soc.Geol. France, (7), t.XIX, N°4, p.873.
- R.TRÜMPY (1963)-Sur les racines des nappes helvétiques. <u>Livre à la</u> mémoire du Professeur P.Fallot.
- J.VERNET (1977)-La "boucle sialique" et la structure en arc des Alpes occidentales.C.R.Acad. Sci. Paris, t. 284.

- P.VIALON (1966)-Etude géologique du massif cristallin de Dora Maira Alpes cottiennes internes ,Italie. <u>Thèse Grenoble.</u>
- P.VIALON (1973)-Les déformations "synschisteuses" superposées en Dauphiné; leur place dans la collision des éléments du socle préalpin. Conséquences pétrostructurales.
- P.VIALON, M.RUHLAND, J.GROLIER (1976) Eléments de tectonique analytique. Ed. Masson.
- P.VIALON, J.BOUDON, J.F. GAMOND, P.PLOTTO, J.P.ROBERT (1976) L'arc des Alpes occidentales: une zone de "transformation continentale" par glissement senestre? Présentation d'un modèle des déformations. In: 4, réun. annu. Sci.Terre; Paris; 1976, Paris, Soc.géol.Fr., (1976).

#### LEGENDE DES PHOTOGRAPHIES.

- Photo 1: Linéations de crénulation NO20 et linéations d'intersection S2-S0 N170, dans le flysch (Vallée du Charbonnet).
- Photo 2: Schistosité S2, plis P3 et linéations de crénulation L3 (schistes houillers de l'Unité de Salins).
- Photo 3: Figures de distension dans le "flysch" sur plis P2 N170 rive gauche du Torrent du Charbonnet.
- Photo 4: Plis P2 N170 dans le "flysch", rive droite du Torrent du Charbonnet.
- Photo 5: Schistosités S1 et S2 dans le flysch (lumière naturelle, X 800).
- Photo 6: Schistosité de crénulation S2 dans les schistes noirs de l'"ensemble anté-flysch"(lumière naturelle, X 25).
- Photos 7et 8: Rapports de S1-S2-S3 (1umière naturelle, X 25).
- Photo 9: Tourmaline détrique dans le flysch (lumière naturelle, X 800).
- Photo 10 et 11: Plis P2 N170 "en ailes d'oiseau" des Tigny.
- Photo 12: "Roche verte" de l'"ensemble anté-flysch":inclusions hélicitiques dans l'albite et amphibole marquant la S2 (lumière naturelle, X 800).
- Photo 13: Amande de quartz du Permo-Trias affectée par S2 (lumière pôlarisée, X 25).
- Photo 14: Vue du Massif de Mya depuis l'entrée de la Combe de la Nova.

- Photo 15: Vue de l'alignement des écailles triasiques de la Combe de la Nova.
- Photo 16: Affleurement de l'Orgière vu du re gard E.D.F..
- Photo 17: L'anticlinal du Pont-St. Antoine, rive gauche du Torrent des Glaciers.
- Photo 18: Panorama de la crête Pointe de la Terrasse-Aiguille de Praine; vue depuis le Fort 2000.
- Photo 19: Le débouché de la Combe de la Nova, et l'écaille de la Fauge; vue depuis le Torrent de la Raja.

